الجمهورية الجزائرية الديمقراطية الشعبية République Algérienne Démocratique et Populaire وزارة التعليم العالي والبحث العلمي Ministère de l'Enseignement Supérieur et de la Recherche Scientifique

Centre Universitaire Abdelhafid Boussouf -Mila

Institut des Sciences et de Technologie Département de génie civil et d'hydraulique



TO.	D 0				
No	Ref	•			
1.4	111		 	 	

Projet de Fin d'Etude préparé En vue de l'obtention du diplôme de MASTER

Spécialité: Génie Civil Option: Structure

Conception et étude d'un bâtiment de R+5 étages à usage multiple.

Réalisé par :

- BENMESSIOUD SIHEM
- BENMOUSSA RIMA

Soutenu devant le jury :

Dr. KITCHAH Fethi Dr. TIOUA Tahar Dr. BRAHIMI Abdelkader Président Examinateur Promoteur

Année universitaire: 2023/2024



Dédicace

♣ بسم الله الرحمان الرحيم والصلاة والسلام على أشــرف المرسلين محمــد صلــــى الله عليــــه وسلـــم

(وَمَا تَوْفِيقِي إِلَّا بِاللَّهِ عَلَيْهِ تَوَكَّلْتُ وَإِلَيْهِ أُنِيبُ)

- ♣ قبل كل شيء أحمد الله عز وجل الذي أنعم على بنعمة العلم والنجاح.
 - 🚣 الحمد لله والشكر لله الذي أكرمني ووفقني في إكمال دراستي.
 - 🖊 كل الحمد وكل الشكر لك يا عظيم علــى هذا النجاح.
 - 🚣 اللهم لك الحمد كما ينبغي لجلال وجهك وعظيم سلطانك.
- اللهم يانور السموات والأرض لك الحمد حمدا كثيرا طيبا مباركا كما تحب وترضى.

🚣 وبكل حب أهدي نجاحي :

- الى من جعل الجنة تحت قدميها إلى التي إحتضنتني بقلبها قبل يدها وسهلت لي النجاح بدعائها داعمي الأول في حياتي هي سندي و قوتي بعد الله هي فخري وإعتزازي والدتـــي حفظــــها الله .
- لله ذلك الرجل الذي أحمل إسمه بكل فخر إلى من علمني أن الدنيا كفاح الله والمعرفة والسدي حفظه الله.
- لاعزاء أمي وأبي على دعمكم لي طوال دراستي الأعزاء أمي وأبي على دعمكم لي طوال دراستي الإعزاء أميان ال
 - لحي و أخواتي و إبن أختي الأعزاء شكرا لكم.
 له شكرا لصديقتي ريمة التي شاركتني هدا العمل.
 - 🛨 ويبقى الشكر والحمد كله لله رب العالمين





J'ai toujours pensé faire ou offrir quelque, Chose à mes parents en signe de reconnaissance pour tout ce qu'ils ont consenti d'efforts rien que pour me voir réussir, et voilà l'occasion est venue.

A ceux qui m'ont donné la vie, symbole de beauté, de fierté, de sagesse et de patience.

A ceux qui sont la source de mon inspiration et de mon courage, à qui je dois de l'amour et de la reconnaissance.

Je dédie ce travail :

A ma mère qui a toujours veillé sur moi.

A mon père qui m'a soutenu tout au long de mes études.

A tous mes frères : Ismail, Houssemeddine, Fares, Amir, Khodja, Hossine.

A mes chers sœurs : Khadija, Amira.

A mon **grand-père** pour m'avoir motivé.

A toute ma famille.

A mes chers amies: Roumaissa, Chaima, Sabrina, Malika.

A ma très chère binôme Sihem.

A tous mes enseignants depuis le primaire.

A tous qui vont lire ce mémoire A tous ceux qui m'ont aidé de près ou de loin à réaliser ce modeste travail.

A tous ceux qui me sont chers.

Une dédicace particulière à mon futur mari, qui a été pour moi un soutien et une motivation dans la vie et les études, et surtout dans la réalisation de ce mémoire :



SOMMAIRE

Résumé	[
Abstract	[
ملخص	I
Liste des symboles	Ι
Introduction Général	1
Chapitre I : Présentation de projet et caractéristique des matériaux	
I.1 Introduction	4
I.2 Présentation de l'ouvrage	4
I.3 Caractéristiques géométriques du bâtiment.	7
I.4 Caractéristiques géométriques du sol.	7
I.5 Description de l'ossature	7
I.6 Règles et hypothèses de calcul.	9
I .6.1 Choix du système de contreventement par Réglés Parasismique Algérienne	
(RPA99 version 2003).	9
I.6.2- Règlement (BAEL 91).	9
I.6.3 Nature des actions	11
I .6.4 Combinaison d'action.	11
I .7 Caractéristiques mécaniques des matériaux	12
I .7.1 Béton.	12
I.7.1.1 Principaux caractéristiques et avantages et inconvénient du béton armé	12
I .7.1.2 Dosage du béton	13
I.7.1.3 Caractéristique mécanique de béton selon (CBA93)	13
I.7.2 Acier.	17
I.7.2.1 Caractères mécaniques	17
I.8 Choix des matériaux dans l'élaboration du projet	19
I.9 Conclusion	19
Chapitre II : Pré dimensionnement des éléments structuraux évaluation	ı de
charge	
II.1 Introduction	21
II.2 Pré dimensionnements des éléments non structuraux	21

II.2.1 Planchers	21
II.2.1.1 Planchers à corps creux	21
II.2.1.2 Dalles pleine (Balcon).	23
II.2.2 Évaluation des charges	24
II.3 Pré dimensionnement des éléments structuraux.	28
II.3.1 Poutres.	28
II.3.2 Poteaux	29
II.3.3 Voile.	36
II.4 Conclusion.	37
Chapitre III : calcul des éléments secondaires.	
III.1 Introduction	.39
III.2 Calcul de l'acrotère	39
III.2.1 Introduction	39
III.2.2 Evaluation des Charges.	39
III.2.3 Sollicitations	39
III.2.3.1 Etat limite ultime	39
III.2.3.2 Etat limite de service	39
III.2.4 Ferraillage	39
III.2.4.1 Calcul à l'E.L.U	40
III.2.4.2 Calcul à l'ELS	41
III.2.4.3 Condition de non fragilité	42
III.2.5 Armature de répartition.	.42
III.2.6 Vérification au cisaillement.	. 42
III.3 Calcul des balcons	. 43
III.3.1 Introduction	43
III.3.1.1 Evaluation des charges	43
III.3.1.2 Sollicitations	.44
III.3.1.3 Combinaisons	44
III.3.1.4 Condition de non fragilité	45
III.3.1.5 Vérification des contraintes	.45
III.3.1.6 Vérification de l'effort tranchant.	.46
III.3.1.7 Vérification de la flèche	. 46

III.4 Calcul des escaliers	47
III.4.1 Définition	47
III.4.2 Schéma statique	47
III.4.3 Charges et surcharges.	47
III.4.4 Combinaisons des charges	. 47
III.4.4.1 Calcul des charges à l'ELU et l'ELS	47
III.4.4.2 Diagrammes des moments fléchissant et efforts tranchants	49
III.4.4.3 Calcule de ferraillage	49
III.5 Etude de la poutre palière	53
III.5.1 Définition	53
III.5.2 Pré dimensionnement.	53
III.5.3 Evaluation des charges	53
III.5.4 Ferraillage à l'état limite ultime	54
III.5.5 Vérifications nécessaires	56
III.6 Calcul du plancher	58
III.6.1 Définition	58
III.6.2 Calcul des planchers (poutrelles)	58
III.6.2.1 Méthode forfaitaire	. 58
III.6.2.2 Méthode Caquot	. 59
III.6.2.3 Ferraillage	60
III.6.2.4 Vérification des conditions de la méthode forfaitaire	63
III.6.2.5 Types des poutrelles	63
III.6.2.6 Evaluation des charges	65
III.6.2.7Combinaison d'action.	.65
III.6.3 Détermination des sollicitations des planchées.	65
III.6.3.1 Plancher terrasse.	.65
III.6.3.2 Etage courant	.66
III.6.4 Ferraillage des poutrelles	.67
III.7 Etude de la table de compression.	73
III.8 Conclusion	.74
Chapitre IV : Etude dynamique en zone sismique	
IV.1 Introduction	76
IV.2 Buts de l'analyse dynamique	

IV.3 Présentation des différentes méthodes d'estimation des forces sismique	76
IV.3.1 Méthode statique équivalente	76
IV.3.2 Méthode dynamique modale spectrale	77
IV.4 Calcul de l'effort tranchant avec la méthode statique équivalente	78
IV.4.1 Définitions de la valeur des coefficients	78
IV.5 Modélisation et résultats	80
IV.5.1 Modélisation	80
IV.5.2 Analyse de la structure	80
IV.6 Calcul des actions sismiques.	83
IV.7 Conclusion.	93
Chapitre V : Ferraillages des éléments structuraux	
V.1 Introduction	95
V.2 Actions et sollicitations	95
V.3 Ferraillage des poteaux	96
V.3.1 Hypothèses de calcul	98
V.3.2 Etat limite de stabilité de forme	98
V.3.3Détermination des sections d'acier	99
V.4 Recommandations des règlements	103
V.4.1 Armatures longitudinales.	103
V.4.2 Vérifications	105
V.5 Ferraillage des poutres.	109
V.5.1 Recommandations du RPA99/2003	109
V.5.2 Ferraillage des poutres	110
V.5.2.1 Poutre principale	110
V.5.2.2 Poutre secondaires	116
V.6 Étude des voiles	121
V.6.1 Introduction.	121
V.6.2 Stabilité des constructions vis-à-vis des charges latérales	121
V.6.3 Rôle de contreventement.	121
V.6.4 Les avantages des voiles.	121
V.6.5 Les combinaisons des actions.	121
V.6.6 Les recommandations du RPA99.	122
V.6.6.1 Aciers verticaux	122

V.6.6.2 Aciers horizontaux	122
V.6.7. Règles communes.	122
V.6.8 Disposition des voiles.	123
V.6.9 Ferraillage des voiles.	123
V.6.9.1 Armatures verticales.	124
V.7 Conclusion.	127
Chapitre VI : Etude des fondations	
VI.1 Introduction	129
VI.2 Facteur de choix du type de fondation.	129
VI.3 Choix du type de fondation	129
VI.3.1Vérification de la semelle isolée	130
VI.3.2Vérification de la semelle sous poteaux	131
VI.3.3 Semelle filantes croisée	133
VI.4 Longrine	136
VI.4.1 Dimensionnement de la longrine	136
VI.4.2 calcule de ferraillage de la longrine.	136
VI.5 Conclusion	137
Conclusion Générale	158
Références	159
Annexes.	169

LISTE DES TABLEAUX

Chapitre I: Présentation de projet et caractéristique des matériaux Ta	ableau
Tableau I.1: Caractéristiques mécaniques des aciers	17
Chapitre II: Pré-dimensionnement évaluation de charge	
Tableau II.1: Charge pour plancher terrasse (inaccessible)	24
Tableau II.2: Charge pour plancher courant (accessible)	24
Tableau II.3 : Evaluation des charges des cloisons extérieures	25
Tableau II.4: Evaluation des charges des cloisons intérieures	25
Tableau II.5: Evaluation des charges de l'acrotère	26
Tableau II.6: Evaluation des charges du palier	27
Tableau II.7: Evaluation des charges de la volée (la paillasse)	27
Tableau II.8: Evaluation des charges du balcon.	28
Tableau II.9: les différentes sections de poteau	32
Tableau II.10: Dégression des charges d'exploitation	32
Tableau II.11: Descente de charge du poteau	33
Chapitre III : Calcul des éléments secondaires	
Tableau III.1: Combinaisons des charges l'escalier	48
Tableau III.2: Tableau récapitulatif des sollicitations	49
Tableau III.3: Vérification des contraintes à l'ELS.	51
Tableau III.4: Combinaisons d'action	65
Tableau III.5 : Les sollicitations les plus défavorables des poutrelles	67
Tableau III.6 : Les sollicitations les plus défavorables des poutrelles	69
Tableau III.7: Tableau récapitulatif des résultats	70
Tableau III.8: Vérification des contraintes à l'ELS	72
Chapitre IV : Etude dynamique en zone sismique	
Tableau IV.1: Coefficient d'Accélération de Zone A	78
Tableau IV.2: Valeurs du coefficient de comportement R	79
Tableau IV.3 : Valeur de facteur de qualité	79
Tableau IV.4: Valeurs du coefficient d'amortissement suivant le système structurel	80
Tableau IV.5: Valeurs du coefficient C _t	84
Tableau IV.6: Périodes caractéristiques associées à la catégorie de site	84
Tableau IV.7 : Résumé des résultats	85

Tableau IV.8 : Vérification de l'effort tranchant à la base	85
Tableau IV.9: Effort Normal	86
Tableau IV.10: l'effort Normal et l'effort tranchant sur les voiles de contreventement	87
Tableau IV.11: Effort Normal et l'effort tranchant sur les poteaux	87
Tableau IV.12 : Vérification des déplacements au sens x-x	. 88
Tableau IV.13 : Vérification des déplacements au sens y-y	. 88
Tableau IV.14 : Centre de masse et centre de torsion.	89
Tableau IV.15 : Vérification de l'excentricité accidentelle	90
Tableau IV.16 : Vérification au renversement au sens x-x	. 91
Tableau IV.17: Vérification au renversement au sens y-y	91
Tableau IV.18: Vérification d'effort normal réduit des poteaux	92
Tableau IV.19: Vérification de l'effet P-Δ au sens x-x	92
Tableau IV.20: Vérification de l'effet P-Δ au sens y-y	93
Charles W. Francisco de Alexander de Charles	
Chapitre V: Ferraillage des éléments structuraux	
Tableau V.1 : Coefficients de sécurité et contraintes caractéristiques	
Tableau V.2: Sollicitations dans les poteaux	
Tableau V.3 : Ferraillage longitudinal des poteaux	103
TableauV.4: Armatures longitudinales minimales et maximales selon le RPA dans les poteaux	103
Tableau V.5: Armatures longitudinales minimales et maximales selon BAEL dans les	103
poteaux	104
Tableau V.6: Choix des armatures transversales pour les poteaux	105
Tableau V.7: Justification de la contrainte de cisaillement.	106
Tableau V.8: Sollicitations de la poutre principale.	110
Tableau V.9: Ferraillage des poutres principales	112
Tableau V.10: Vérification a l'ELS de la poutre principale.	115
Tableau V.11: Sollicitation de la poutres secondaires.	116
Tableau V.12: Ferraillage des poutre secondaire	116
Tableau V.13: Vérification a l'ELS de la poutre secondaire.	120
Tableau V.14: Vérification de la compression du béton.	120
Tableau V.15: Caractéristique géométrique des voiles	125
Tableau V.16: Calcule des sections d'armature verticale pour RDC, étage 1, étage 2	125
Tableau V.17: Choix des armatures verticales pour les voiles pour RDC, étage 1, étage 2	.125

Tableau V.18: Choix des armatures horizontales pour RDC, étage 1, étage 2	126
Tableau V.19 : Calcule et Vérification la contrainte de cisaillement	126
Chapitre V: Etude des fondations	
Tableau V.I.1: Les sollicitations	133
LISTE DES FIGURES	
Chapitre I : Présentation du projet	
Figure I.1: Vue de la façade principale du bâtiment	04
Figure I.2: Vue de la façade arrière du bâtiment.	05
Figure I.3: Vue de la coupe transversale du bâtiment	05
Figure I.4: Vue en plan de RDC de bâtiment et étage courant du bâtiment	06
Figure I.5 : Diagramme des déformations limitent de la section	10
Figure I.6: Module de déformation instantané et différée	15
Figure I.7 : Diagramme contraintes déformation du béton à l'ELU	16
Figure I.8: Diagramme contrainte déformation du béton à l'ELS	16
Figure I.9: Diagramme contraintes déformation de l'acier	
Chapitre II: Pré-dimensionnement évaluation de charg Figure II.1: Plancher à corps creux	
Figure II.2: Poutrelle	23
Figure II.3: Schéma statique de l'acrotère	25
Figure II.4: coupe en élévation d'escalier	27
Figure II.5: Emplacement du poteau le plus sollicité (sur le plan)	31
Figure II.6: Surface afférente du poteau.	31
Figure II.7: Schéma statique de la descente de charge.	33
Figure II.8: Coupe de voile en élévation	36
Chapitre III : Calcul des éléments secondaires	
Figure III.1: Type d'acrotère	39
Figure III.2: Section théorique pour le ferraillage de l'acrotère	40
Figure III.3: Disposition constructive des armatures de l'acrotère	43
Figure III.4: Section théorique pour le ferraillage du balcon	44
Figure III.5:Schéma de Ferraillage du balcon	47

Figure III.6: Diagrammes de moment fléchissant et de L'effort tranchant à l'ELU49
Figure III.7: Schéma de ferraillage d'escalier
Figure III.8: Evaluation des charges. 54
Figure III.9: ferraillage de poutre palière
Figure III.10: Evaluation des moments fléchissant
Figure III.11: Evaluation des efforts tranchants
Figure III.12: Evaluation des moments et efforts tranchants type 01(plancher terrasse) 66
Figure III.13: Evaluation des moments et efforts tranchants type 01 (Etage courant) 67
Figure III.14: Coupe de Section Rectangulaire et Section en T
Figure III.15: Schéma de Ferraillage de poutrelle
Figure III. 16: Ferraillage de la table de compression
Chapitre IV : Etude dynamique en zone sismique
Figure IV.1: Vue en plan pour la disposition du voile selon le plan initial
Figure IV.2: Périodes et factures da participation massique modale
Figure IV.3: Premier mode de vibration Vue 3D et vue en plan
Figure IV.4 : Deuxième mode de vibration. Vue 3D et vue en plan
Figure IV.5 :Troisième mode de vibration Vue 3D et vue en plan
Figure IV.6 : La relation entre la période empirique et analytique
Figure IV.7 : Distribution de l'effort Normal
Figure IV.8 : Distribution de l'effort tranchant87
Figure. IV.9 : Résumé des résultats de ROBOT
Figure IV.10 : Résumé des résultats de ROBOT
Figure IV11 : Résumé des résultats de ROBOT
Figure IV.12: Moment stabilisant et moments de renversements
Chapitre V : Calcul des éléments résistants
Figure V.1: Schéma de cadres
Figure V.1: Schéma de ferraillage des poteaux (45×45)
Figure V.3: Schéma de l'espacement zone courante et zone nodale
Figure V.4: Schéma de ferraillage des poutres principales
Figure V.5: Schéma de ferraillage des poutres secondaire
Figure V.6: Disposition des voiles

Figure V.7: Schéma de ferraillage du voile	127
Chapitre VI : Etude de la fondation	
Figure VI.1 : Schéma de la semelle isolée	130
Figure VI.2 : Schéma de la semelle filante sous poteaux	,131
Figure VI.3 : Schéma de ferraillage de la semelle filant sous poteaux	133
Figure VI.4 : Dimension de la semelle filante sous voile	134
Figure VI.5 : Schéma de ferraillage de la semelle filante	
Figure VI. 6: Schéma de Ferraillage de longrine	137
Figure VI.7: Vue en 2D de la semelle filante	137

Résumé

Dans le cadre de projet de fin d'étude, nous avons présenté une étude détaillée d'un bâtiment à usage d'habitation, est constitué de rez de chaussée plus cinq étages.

La structure est implantée dans la wilaya de **Constantine**, classée comme une zone de moyenne sismicité (**zone IIa**) selon le Règlement Parasismique Algérien **99** version **2003**.

Le but de l'étude est d'atteindre la stabilité et la durabilité de la structure, passé par plusieurs étapes : commencez par le calcul de pré dimensionnement et descente de charge jusqu' aux les fondations.

Nous utilisons le logiciel de **Robot structural analysis 2014** pour connaître les sollicitations, le reste de calcul a été effectuée manuellement, selon les réglementations le DTR C2.2, BAEL91modifié 99 et le RPA99v2003.

Mots clés: Bâtiment, Béton, ROBOT 2014, RPA99 V2003, BAEL91.

Abstract

This project studies a building in (R+5) for residential use; the structure is located in the wilaya of **Constantine**, classified as a zone of low seismicity (**zone IIa**) according to the Algerian Paraseismic Regulation **99** version **2003**.

The purpose of the study is to achieve the stability and durability of the structure, passed through several stages: start with the pre-sizing calculation and load descent to the foundations. We use the **Robot structural analysis 2014** software to know the stresses, the rest of the calculation was done manually, according to the regulations DTR C2.2, RNV99, BAEL91 modified 99 and RPA99 v 2003.

Keywords: Building, Concrete, ROBOT2014, RPA99 V2003, BAEL91.

ملخص

هذا المشروع عبارة عن دراسة تقنية لإنجاز بناية سكنية ذات (طابق أرضي + خمسة طوابق) الموجودة بولاية قسنطينة المصنفة ضمن المنطقة الزلزالية منطقة (IIa) حسب القواعد الجزائرية المقاومة للزلزال (RPA99/2003). الغرض من الدراسة هو تحقيق استقرار ومتانة الهيكل، حيث مررنا بعدة مراحل: البدء بحساب التحجيم المسبق ونزول الحمل إلى الأساسات. نستخدم برنامج ROBOT 2014 لتحديد السلوك الديناميكي للهيكل وتم إجراء باقي الحسابات يدويًا، وفقًا للوائح DTRC2.2 و RNV99 و RNV99 المعدلة 99 و RPA99 v 2003.

الكلمات المفتاحية

العمارة، الخرسانة ، BAEL91, RPA 99 v2003, ROBOT 2014، العمارة

LISTE DES ABREVIATIONS ET SYMBOLES

A Coefficient d'accélération de zone, Aire d'une section.

A_n Coefficient de minoration

B Facteur de comportement de la structure, aire d'une section de béton.

BAEL Béton armé à l'état limite.Br Section réduite du béton.

C Centre de flexion, Amortissement.
 C_d Coefficient de pression dynamique.
 C_{pe} Coefficient de pression extérieur.
 C_{pi} Coefficient de pression intérieur.

Coefficient de frottement de l'élément de surface « j ».

D Facteur d'amplification dynamique moyen.

D_i Facteur d'amplification dynamique.

E Module d'élasticité longitudinale (module de YOUNG).

 E_{ij} Module de déformation instantanée du béton. E_{vi} Module de déformation différée du béton.

Es Module d'élasticité de l'acier.

ELS Etat limite de service.
ELU Etat limite ultime.
E Epaisseur, excentricité
FP Fissuration préjudiciable.
FPN Fissuration peu nuisible.

FTP Fissuration très préjudiciables.

G Charge permanente, module d'élasticité transversale, Module de cisaillement.

G₀ Module initial de cisaillement.

G Largeur de la marche.

H Hauteur totale du bâtiment.

 $egin{array}{ll} I & Moment d'inertie. \ I_e & Inertie équivalente. \ I & Inertie du linteau \end{array}$

Inertie des voiles longitudinaux.
 Inertie des voiles transversaux.

 $\mathbf{j}_{\boldsymbol{\theta}}$ Inertie polaire.

K Rigidité.

K_s Coefficient du site.

L Portée.

M Moment, masse

M_t Moment en travée de la poutre considérée.

M_{ap} Moment sur appuis.M_u Moment ultime.

N_G Effort normal développé par les charges permanentes.

No Effort normal développé par les charges d'exploitation.

N_u Effort normal ultime.N Nombre de niveaux.

P, W Poids

Q Charge d'exploitation, facteur de qualité.

Q Densité de charge répartie.

R Réaction.

RPA Règlement parasismique Algérien.

S Surface de l'élément considéré, force sismique, moment statique.

St Espacement entre armatures.
 SSI Interaction Sol-Structure
 T Effort tranchant, période.

V Effort tranchant, vitesse, action sismique à la base

Z Bras de levier entre les aciers et le béton.

d' Distance du barycentre des aciers comprimés à la fibre extrême la plus

comprimée

D Distance du barycentre des aciers tendus à la fibre extrême la plus comprimée.

A Côte du poteau carré.B Largeur de la poutre .

 $\mathbf{f}_{\mathbf{bu}}$ Contrainte admissible de flambement.

 $\mathbf{f_{ej}}$ Résistance à la compression.

 f_{tj} Résistance à la traction. f_e Limite élastique de l'acier. l_f Longueur du flambement.

α Coefficient de sécurité ou flambement, angle, coefficient de participation.

γ Poids volumique,

β Coefficient de majoration dynamique.

 γ_b Coefficient de sécurité à prendre pour le béton. γ_s Coefficient de sécurité à prendre pour l'acier.

δ Coefficient de dimension, déplacement.
 ε Déformation relative du béton comprimé

 ε_b Déformation relative de l'acier tendu.

η Coefficient de fissuration, Facture de correction d'amortissement critique

fonction du matériau constitutif

λ Coefficient d'élancement.

 μ_{r} Moment résistant. σ Contrainte normale.

 σ_{bc} Contrainte de compression de béton. $\overline{\sigma}_{bc}$ Contrainte limite de service du béton

 $\sigma_{\rm s}$ Contrainte dans l'acier.

 $\overline{\sigma}_{s}$ Contrainte limite de service de l'acier.

 σ_{s10} Contrainte dans l'acier correspondant à un allongement relatif de 10%.

- τ Contrainte de cisaillement.
- v Coefficient de poisson.
- Φ_1 Diamètre des armatures longitudinales.
- Φ_t Diamètre des armatures transversales.

Introduction générale

Introduction générale

Le Génie civil représente l'ensemble des techniques concernant les constructions civiles. les ingénieurs civils s'occupent de la conception, de la réalisation, de l'exploitation et de la réhabilitation d'ouvrages de construction et d'infrastructures urbaines dont ils assurent la gestion afin de répondre aux besoins de la société, tout en assurant les différents facteurs tel que l'économie, l'esthétique, la résistance et surtout la sécurité du public, en respectant les différents codes de calcul et de conception des structures du génie civil, notamment CBA93 [3], BAEL91 [2], RPA99 version 2003 [1], DTR [4]. L'ouvrage en question est un bâtiment en R+5, présentant une irrégularité tant en plan qu'en élévation, dont le système de contreventement de structure en portique par des voiles en béton armé. Après une descende des charges et un Pré-dimensionnement des éléments de notre structure, une étude dynamique et sismique est effectuée pour trouver les caractéristiques intrinsèques du bâtiment et calculer les efforts engendrés par les différentes sollicitations. Dans le cadre de cette étude, on a utilisé le logiciel de calcul par éléments finis ROBOT2014 pour faire le calcul statique et dynamique des éléments structuraux. Les efforts engendrés dans le bâtiment, sont utilisés pour ferrailler les éléments résistants suivant les combinaisons et les dispositions constructives exigées par le CBA93 [3] et le RPA99/version 2003 [1]. Concernant notre travail nous avons pour objectif de mettre en application les connaissances acquises durant la formation d'ingénieur, le travail est subdivisés en six chapitres, le premier consiste à donner présentation de l'ouvrage en fixant les hypothèses de calcul. Le second chapitre est réservé pour le

pré dimensionnement des éléments structuraux et non structuraux. Ensuite dans le troisième chapitre nous présenterons un détail sur le calcul des éléments secondaire.

Le quatrième chapitre comporte la modélisation et l'étude dynamique du la structure par le logiciel ROBOT2014. Le chapitre cinq nous allons étudier ferraillages des éléments structuraux en exploitant les résultats obtenus par le logiciel ROBOT2014.

Et enfin, le dernier chapitre est consacré pour l'étude de la fondation, suivie d'une conclusion générale.

Chapitre I : Présentation de projet et caractéristique des matériaux

I.1 Introduction

La stabilité de l'ouvrage est en fonction de la résistance des différents éléments structuraux (poteaux, poutres, voiles...) aux différentes sollicitations (compression, 'utilisés et de leurs dimensions et caractéristiques. Donc pour le calcul des éléments constituants un ouvrage, on se base sur des règlements et des méthodes connues (BAEL91, RPA99modifié en 2003) qui s'appuie sur la connaissance des matériaux (béton et acier) et le dimensionnement et ferraillage des éléments porteurs de la structure.

I.2 Présentation de l'ouvrage

Le présent projet est un bâtiment (R+5) en béton armé ; composé d'un Rez de chaussé et cinq étage d'habitation identique. L'ouvrage sera implanté dans la Wilaya de **Constantine** classée comme une zone de moyenne sismicité (zone IIa) d'après RPA 99/2003 et le site est considéré comme meuble (S3) ainsi que l'ouvrage appartient au groupe d'usage 2, selon les critères de classification des groupes d'usage RPA (Ouvrage courants ou d'importance moyenne : Bâtiment d'habitation collective à usage du bureau dont la hauteur ne dépasse pas 48 m).

Le contreventement sera assuré par une structure mixte on béton armé portique et voile, Les vus en plan et les coupes des étages sont représenté sur les figures suivant :

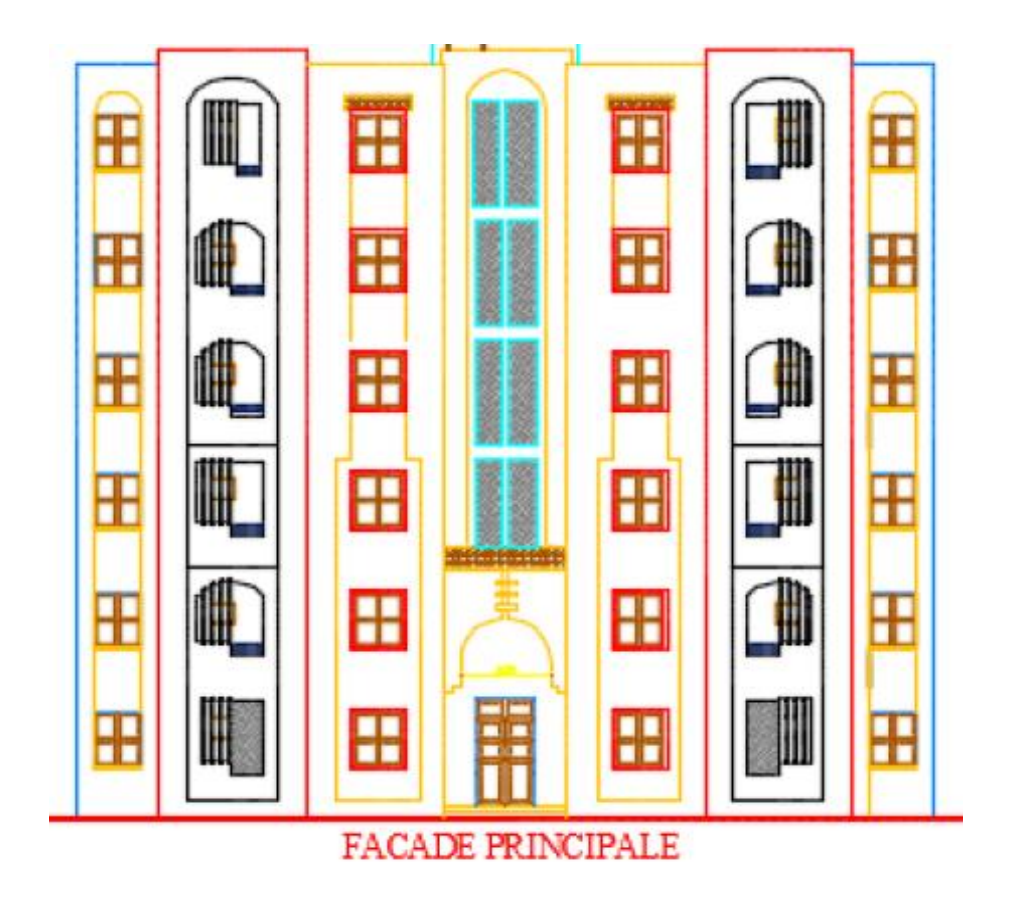


Figure I.1: Vue de la façade principale du bâtiment.

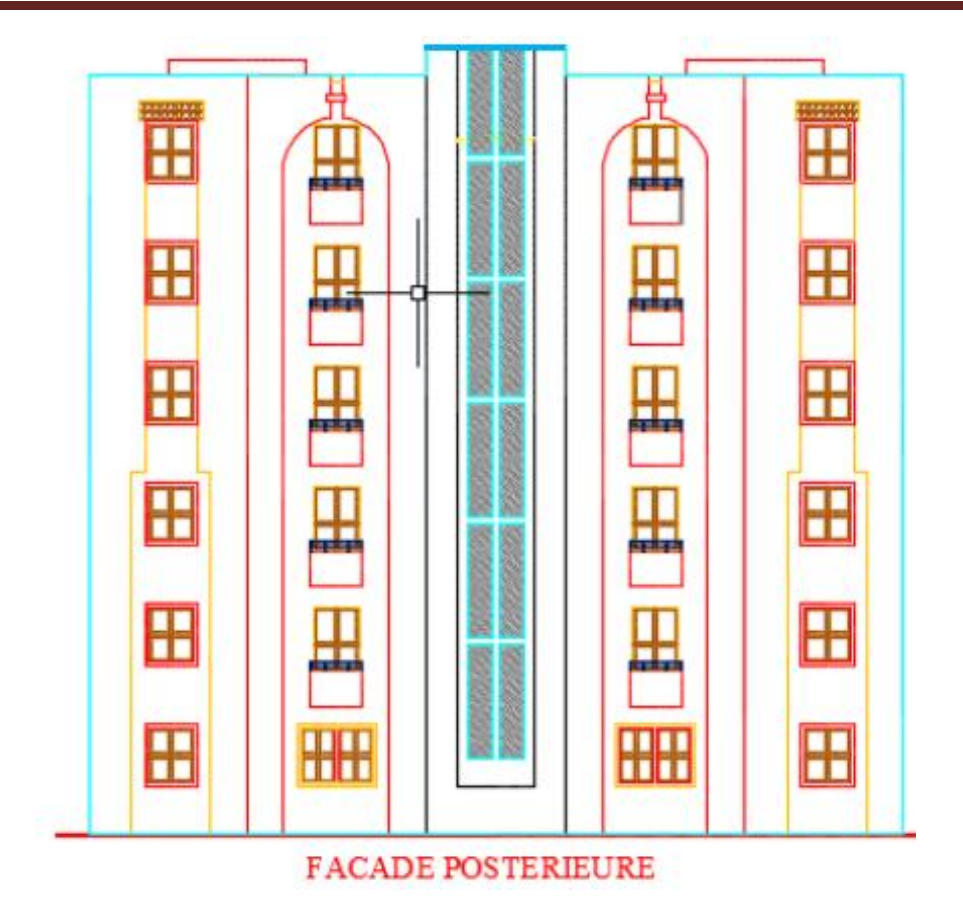


Figure I.2: Vue de la façade arrière du bâtiment.

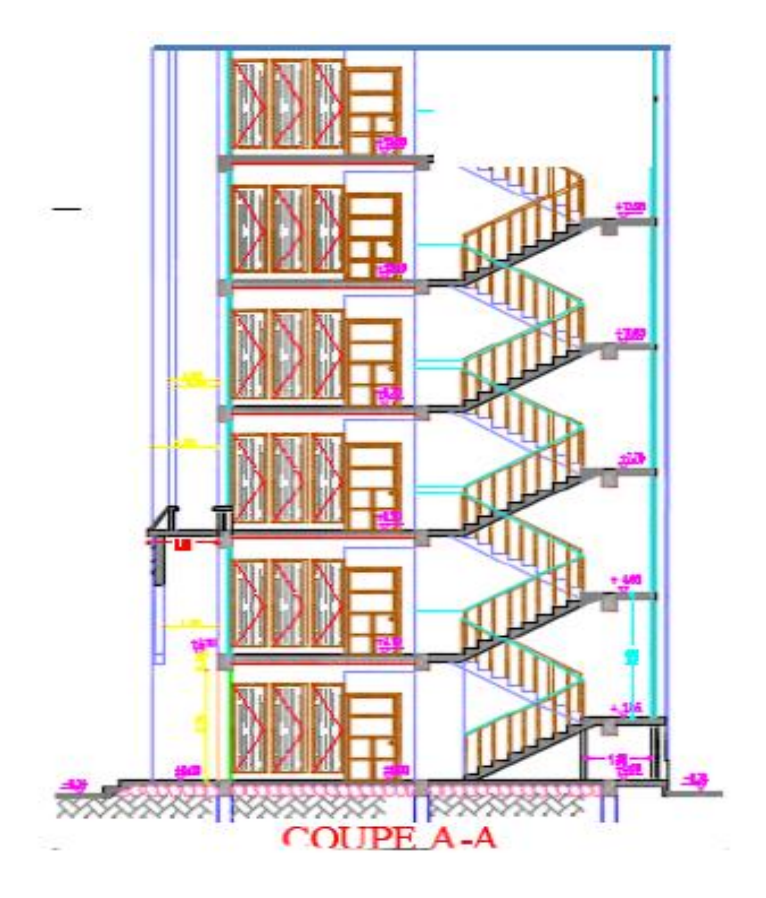


Figure I.3: Vue de la coupe transversale du bâtiment.

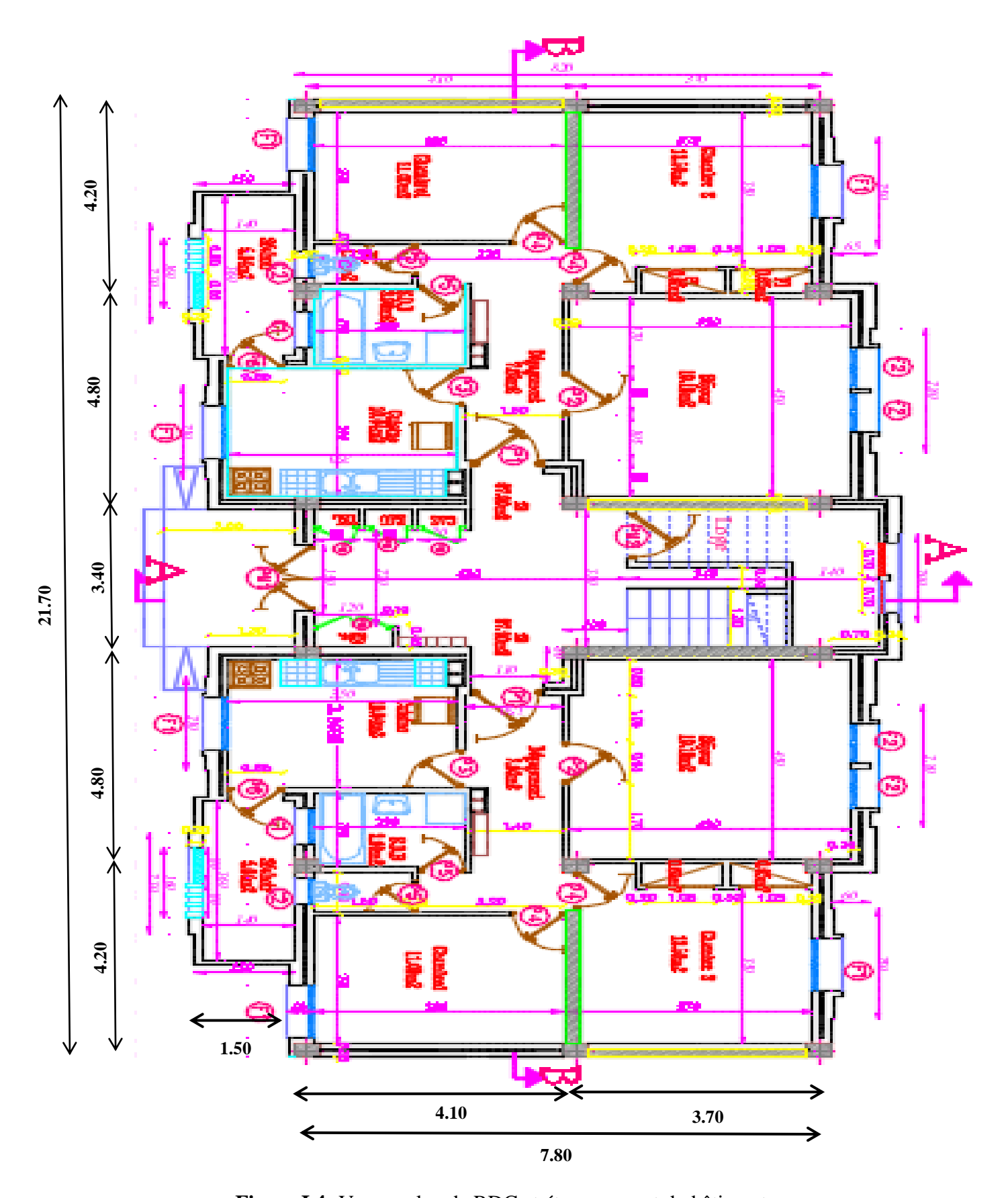


Figure I.4: Vue en plan de RDC et étage courant du bâtiment.

I.3 Caractéristiques géométriques du bâtiment

Suivant la vue en plan, les dimensions de la structure sont répertories comme suit :

- Largeur totale de bâtimentB= 7.80 m,
- Longueur totale de bâtiment L= 21.40 m,

- Hauteur d'étage courant.....he= 3.10 m,

I.4 Caractéristiques géométriques du sol

Le sol d'assise de la construction est considéré comme meuble d'après le rapport du laboratoire du sol au niveau de la wilaya de **Constantine** daté en mars 2014 le taux travail du sol est de :

- La contrainte étudiée du sol est δ sol = 1.5 bar pour un ancrage de 1.5m,
- Le poids spécifiques de terre $\gamma_h = 1.8t / m^3$,
- L'angle de frottement interne du sol $\varphi = 39^{\circ}$,
- La cohésion C = 10 kPa (sol pulvérulent).

I.5 Description de l'ossature

• Conception structurales

La structure du bâtiment a un système de contreventement en portique contreventé par des voiles. Le choix du système de contreventement rentre dans le cadre de l'application du RPA (version 2003), vu qu'il dépasse 2 niveaux (8 m), ce qui assure la stabilité de l'ensemble sous l'effet des actions vertical et des actions horizontal.

Planchers

Dans notre projet utilisé deux types de plancher :

- » Plancher corps creux : utilisé pour le RDC et les étage courant.
- » Dalle pleine : utilisé pour les balcons.

Poutres

Ce sont des éléments horizontaux destinés à reprendre et à transmettre les sollicitations elles sont sollicitées à la flexion plane.

- Les poutres transversales (principales).
- > Les poutres longitudinales (secondaires).

Poteaux

Les poteaux sont des éléments porteurs verticaux en béton armé, leur rôle est de reprendre les efforts dus aux surcharge et charges ramenée par les poutres, et ensuite les transmettre aux fondations.

• Escalier

La cage d'escalier permet l'accès des niveaux RDC au 4^{iéme} étages. Elle est constituée à chaque niveau de deux volées et d'un palier intermédiaire.

• Murs

La maçonnerie du bâtiment est réalisée en briques creuses :

- Les murs extérieurs sont constitués en double parois de briques creux de 10 cm et 15 cm d'épaisseur séparés par une lame d'air de 5cm d'épaisseur.
- Les murs intérieurs sont constitués d'une seule paroi de briques d'épaisseur 10cm.

• Revêtement

- » Enduit en plâtre pour les plafonds.
- » Enduit en ciment pour les murs extérieurs et les cloisons.
- » Revêtement en carrelage pour les planchers.
- > Plancher terrasse sera recouvert par une étanchéité multicouche imperméable évitant la pénétration des eaux pluviales.

Voiles

Ce sont des éléments verticaux (épaisseur petite par rapport aux autres dimensions). Réalisés en béton armé, le choix du nombre, dimensions et de l'emplacement sera étudié ultérieurement.

• Infrastructure

Elle sera réalisée en béton armé et assure les fonctions suivantes

Transmettre les charges verticales et horizontales au sol.

Limite les tassements.

Réalise l'encastrement de la structure dans le sol.

• Acrotère :

Au niveau de terrasse, le bâtiment est entouré d'un acrotère conçu en béton armé de 60 cm de la hauteur et de 10 cm d'épaisseur.

• Terrasse

La terrasse du bâtiment est inaccessible.

Isolation

L'isolation acoustique est assurée par le vide de corps creux et la masse du plancher, par contre au niveau de murs extérieurs l'isolation est assurée par le vide d'air entre les deux parois qui compose se dernier, et par la minimisation des ponts thermique en cour de réalisation.

I.6 Règles et hypothèses de calcul

On utilise pour le calcul de ce projet les règlements suivants :

I .6.1 Choix du système de contreventement par Réglés Parasismique Algérienne (RPA99 version 2003)

Notre bâtiment dépasse quatre niveaux (14 mètres) et est situé en zone **IIa.** Le contreventement par portique est donc écarté (Art. 1-b du RPA99/version 2003) et le choix va se porter sur un contreventement mixte (voiles et portiques).

Pour un système de contreventement mixte, il y a lieu de vérifier ce qui suit :

- > Les voiles de contreventement ne doivent pas reprendre plus de 20 des sollicitations dues aux charges verticales.
- Les charges horizontales sont reprises conjointement par les voiles et les portiques proportionnellement à leurs rigidités relatives ainsi que les sollicitations résultant de leurs interactions à tous les niveaux.
- Les portiques doivent reprendre, outre les sollicitations dues aux charges verticales, au moins
 25 de l'effort tranchant d'étage.

I.6.2. Règlement (BAEL 91) (Béton Armé Aux Etats Limites).

Basé sur la théorie des états limites : Un ouvrage doit être conçue et calculer de manière a présenté durant toute sa durée d'exploitation de ses unités appropriée vis-à-vis sa ruine totale ou partielle.

D'un comportement en service susceptible d'affecter gravement sa durabilité, son aspect, au encore le confort des usages. Les états limite sont classés en 2 catégories :

a. Etats limites ultimes (ELU)

Correspondent à la valeur maximale de la capacité portante de la construction, soit :

- Equilibre statique (Renversement du bâtiment).
- Résistance de l'un des matériaux de la structure (non rupture).
- Stabilité de la forme (non flambement des poteaux est des voiles).

La combinaison d'action à l'état limite ultime est :

$$q = 1.35G + 1.5Q$$
.

a.1 Hypothèses

- Les sections droites et planes avant déformation, restent droites et planes après déformation.
- Pas de glissement relatif entre le béton et l'acier.
- Le béton tendu est négligé dans les calculs.
- L'allongement unitaire de l'acier est limité à 10 ‰ et le raccourcissement unitaire du béton limite à 3.5 ‰ dans le cas de la flexion simple ou composée et à 2 ‰ dans le cas de compression simple, par conséquent le diagramme des déformations passe par l'un des trois pivotes (A; B; C).

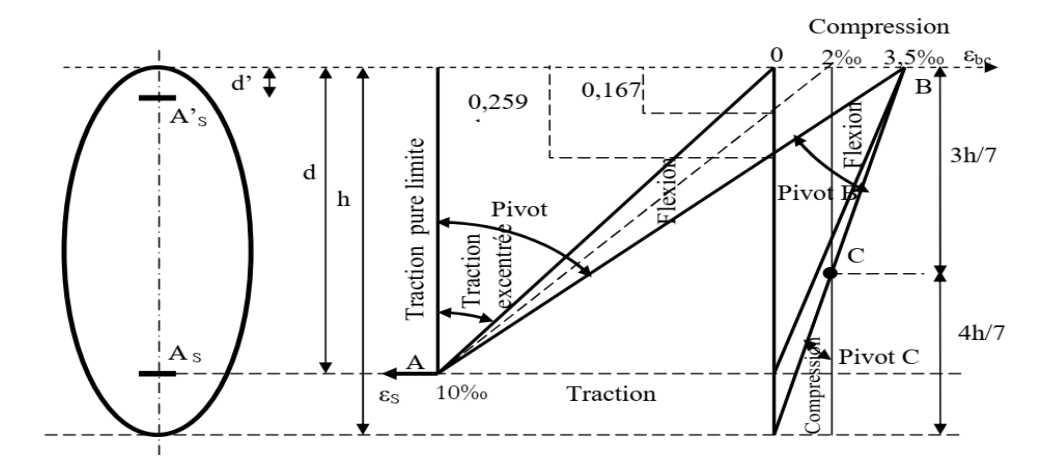


Figure I.5 : Diagramme des déformations limitent de la section. : règle des trois pivots.

Pivot A : Les pièces soumises à la flexion simple ou composée, traction simple.

Pivot B: Les pièces soumises à la flexion simple ou composée.

Pivot C: Les pièces soumises à la flexion composée ou à compression simple.

b. Etat limite de service

- Constituent les frontières, aux delà desquelles les conditions normales d'exploitation et de durabilité de la construction ou de ses éléments ne sont plus satisfaites soient :
- L'ouverture des fissures, (limité la contrainte de traction des aciers pour limiter l'ouverture des fissures).
- Déformation des éléments porteurs (La flèche maximale ne devrait pas dépasser la flèche limite).

Résistance à la compression du béton.

La combinaison d'action à l'état limite de service est :

q = G+Q.

b.1 Hypothèses

- Les sections droites et planes avant déformation, restent droites et planes après déformation.
- Pas de glissement relatif entre le béton et l'acier.
- Le béton tendu est négligé dans les calculs.
- Le béton et l'acier sont considérés comme des matériaux linéaires élastiques et il est fait abstraction du retrait et du fluage du béton.
- Le module d'élasticité longitudinal de l'acier est par convention 15 fois plus grand que celui du béton (E_s = n E_b, n = 15) [2].

I.6.3 Nature des actions : On distinguer

- a) Action permanente : (DTR; R.N.V 99) Les actions permanant ont une intensité constante au très peu variable dans le temps, elles sont désignées par la lettre G. Elle comprenant :
 - Poids propre des structures : Calculer d'après les dimensions prévues aux dessins d'exécution, la masse volumique de béton armée étant près égale à 2.5t/m³.
 - Poids des autres éléments de construction (couvertures, carrelage).
 - Force exercée par la poussée des terres ou la pression des liquides (cas des murs de sous-sol).
 - Déformation différées dans le temps (celle causées par le retrait du béton).

b) Action variable

Les actions variables ont une intensité qui varie fréquent et de façon important dans le temps, elles ont désigné par la lettre Q. Elle comprenant :

- Charges d'exploitation (ratio d'utilisateurs, de véhicules ...etc.) classée par durée d'application (provision, longue durée).
- Charges climatiques (action du vent, action de la neige).
- Action passagère en cours d'exécution.

c) Action accidentelle

Soit des actions de courte durée. Il s'agit d'actions dues des phénomènes rares et exceptionnels séismes, explosion, chocs et les incendies.

• Le séisme « E » [3,4,5].

I.6.4. Combinaison d'action

Pour déterminer les sollicitations, an utilise les combinaisons d'action proposées par BAEL.

• Pour les plancher

Elles sont soumises uniquement aux actions des charges permanentes et d'exploitations, pour cela les combinaisons considérées sont :

A 1'ELU: 1.35G+1.5Q

A l'ELS : G + Q

Dans le cas des actions sismique, les combinaisons a pour fournir une meilleure résistance sont : D'après RPA99/2003 on a :

• Pour les poutres

G + Q + E

1.35 G + 1.5 Q E : Effort sismique

G + Q

• Pour les poteaux

$$G + Q + 1.2 E$$

 $0.8 G + E$

• Pour les voiles

$$G + Q + 1.2 E$$

 $0.8 + E$

I .7 Caractéristiques mécaniques des matériaux

Les caractéristiques des matériaux utilisés dans la construction seront conformes aux règles techniques de conception et de calcul des structures en béton armé CBA 93, le règlement du béton armé aux états limites à savoir le BAEL 91, ainsi que le règlement parasismique Algérien RPA 99/2003 [4, 6, 7,8].

I.7.1 Béton

Le béton est le matériau de construction le plus utilisé en génie civil, notons qu'il est constitué par le mélange du ciment granulats (sable, gravillons) et l'eau de gâchage, le béton armé est obtenue en introduisant dans le béton des aciers (armatures disposés de manière a équilibré les efforts de traction).

Le béton est défini par une valeur de résistance à la compression à l'âge de 28 jour, dite valeur caractéristique requise f_{cas}= 25 MPa.

I.7.1.1 Principaux caractéristiques et avantages et inconvénient du béton armé

La réalisation d'un élément d'ouvrage en béton armé, comporte les 4 opérations :

- Exécution d'un coffrage (moule) en bois ou en métal.
- La mise en place des armatures dans le coffrage.
- Mise en place et « serrage » du béton dans le coffrage.
- Décoffrage « ou démoulage » après durcissement suffisant du béton.

Les principaux avantages du béton armé sont :

- **Economie :** Le béton est plus économique que l'acier pour la transmission des efforts de compression, et son association avec les armatures en acier lui permet de résister à des efforts de traction.
- Souplesse des formes : Elle résulte de la mise en œuvre du béton dans des coffrages auxquels on peut donner toutes les sortes de formes.
- **Résistance aux agents atmosphériques :** Elle est assurée par un enrobage correct des armatures et une compacité convenable du béton.

Chapitre I:

Résistance au feu : Le béton armé résiste dans les bonnes conditions aux effets des

incendies.

Fini des parements : Sous réserve de prendre certaines précautions dans la réalisation des

coffrages et dans les choix des granulats.

Les inconvénients du béton armé sont :

• Le poids: Les ouvrages en BA sont plus Lourds que les autres modes de constructions.

L'exécution:

» La préparation de coffrage demande beaucoup de temps et travail, ce coffrage doit rester en

place jusqu'à ce que le béton atteint une résistance suffisant.

> Le placement des armatures.

» Pendant la mise en place du béton, il faut prendre des précautions pour protéger contre le gel

et l'évaporation de l'eau.

» Le contrôle de la qualité du matériau perfectionné lors du gâchage.

Brutalité des accidents : Les accidents qui surviennent d'un ouvrage en béton armé sont en

général soudains aux brutaux, en général ces accidents sont dus à des erreurs de calculs au de

réalisation.

• Difficulté de modification d'un ouvrage déjà réalisé : Il est difficile de modifier un

élément déjà réalisé [9].

I .7.1.2 Dosage du béton

Vous retrouverez les dosages minimaux à effectuer pour la préparation des différents bétons dans la

norme NF EN 206-1.

Même si plusieurs formules existent concernant la préparation du béton en fonction de la résistance

voulue, on retrouve une formule de base pour la composition de 1m³ de béton ordinaire (350kg/m³).

Cette formule a été fixée en 1906 par un règlement :

• Ciment: 350 kg

• Sable: 750 kg

• Gravier: 1150 kg

• L'eau de gâchage: 175 L

Le béton obtenu aura une masse volumique qui varie entre 2200 Kg/m³ et 2500Kg /m³

[6, 7,10]. Cette formulation conduit à un béton armé de densité à ($\rho = 25 \text{ KN/m}^3$)

I.7.1.3 Caractéristique mécanique de béton selon (CBA93) :

La fabrication des bétons est en fonction de l'importance du chantier, le béton est élaboré soit par

une simple bétonnière de chantier, soit par l'installation d'un central à béton.

- 13 -

Le central à béton est utilisé lorsque les volumes et les cadences deviennent élevés ; et la durée de la production sur un site donné est suffisant longue.

a) Résistance du béton à la compression (fcj)

Dans les cas courant, le béton est défini au point de vue mécanique par la résistance à la compression a 28 jours d'âge, Cette résistance est mesurée sur les cylindres droites de révolution de 200cm² de diamètre égale à 16cm et ayant une hauteur égale à 32cm.

Pour le béton d'un âge j < 28 jours la résistance caractéristique la compression est donnée par les formules suivantes :

$$\begin{cases} f_{cj} = \frac{j}{4,76+0,83j} f_{c28}; \ pour: f_{c28} \le 40 MPa. \\ f_{cj} = \frac{j}{1,4+0,95j} f_{c28}; \ pour: f_{c28} \ge 40 MPa \end{cases}$$
 Pour $j < 28$ jours.

Lorsque l'âge de béton dépasse 28 jours on peut admettre une résistance au plus égale à $\mathbf{f_{cj}} = 1.1\mathbf{f_{c28}}$.

La résistance caractéristique alla compression f_{c28} est prise égale à 25 MPa.

b) Résistance du béton à la traction

La résistance du béton à la traction, est très faible. Elle est définie par:

$$\mathbf{f_{tj}} = 0.6 + 0.06 \, \mathbf{f_{cj}} \, (\text{MPa})$$
 pour $\mathbf{f_{cj}} \leq 60 \text{MPa}$

Dans notre cas $\mathbf{f_{tj}} = 2.1$ (MPa).

c) Déformation longitudinale du béton

Ce module est défini selon l'action des contraintes normales d'une longue durée ou courte durée.

c.1) Module de déformation longitudinale instantané

Sous des contraintes normales d'une durée d'application inférieure à 24 h, on admet à défaut de mesures, qu'à l'age « j » jours, le module de déformation longitudinale instantané du béton \mathbf{E}_{ij} est égal à:

$$\mathbf{E_{ij}} = 11000.\sqrt[3]{fcj}$$
 MPa \rightarrow $\mathbf{E_{i28}} = 32164.195$ MPa

c.2) Module de déformation longitudinale différé

Sous des contraintes de longue durée d'application, le module de déformation longitudinale différé qui permet de calculer la déformation finale du béton est donné par la formule :

$$\mathbf{E_{vi}} = 3700.\sqrt[3]{fcj}$$
 \rightarrow $\mathbf{E_{v28}} = 10818.685 \text{MPa}$

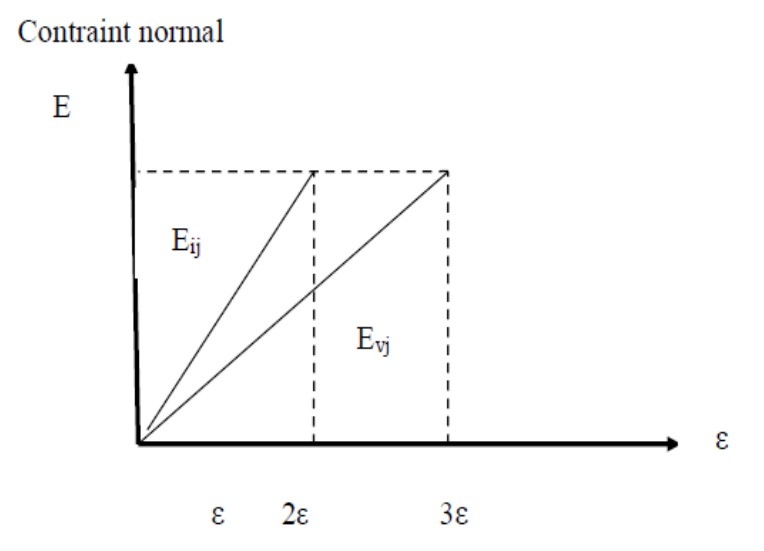


Figure I.6: Module de déformation instantané et différée.

c.3) Module de déformation transversale

La valeur du module de déformation transversal est donnée par :

$$G = \frac{E}{2(1+V)}$$

E : module de déformation longitudinale instantanée du béton.

 \triangleright *V* : coefficient de poisson.

d) Coefficient de Poisson

On appelle coefficient de poisson le rapport de la déformation transversale relative par la déformation longitudinale relative.

 $\mathbf{v} = \mathbf{0}$ dans le cas des états limites ultimes (E.L.U) (section fissurée).

 ν =0.2 dans le cas des états limites de service (E.L.S) (section non fissurée).

e) Diagramme contraintes déformation du béton à ELU

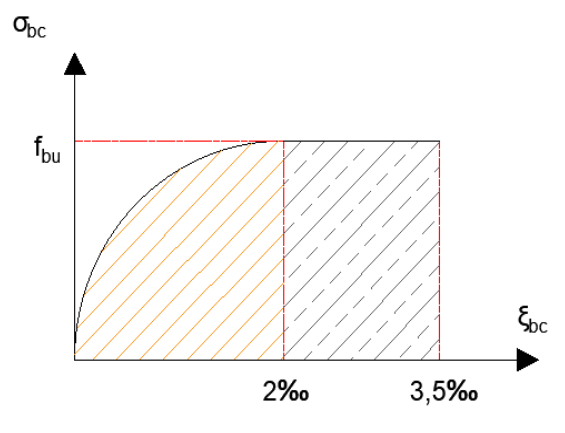


Figure I.7: Diagramme contraintes déformation du béton à l'ELU

Le diagramme de déformation ξ_{bc} contraintes σ_{bc} du béton pouvant être utilisé dans les cas est le diagramme de calcul dit « parabole rectangle ».

La contrainte limite ultime est donnée par:

$$f_{bu} = \frac{0.85 \times f_{c28}}{\theta \times \gamma_b}$$

Avec:

θ: dépend du probable d'application (t) de la charge:

 $\theta = 0.85 \text{ si } t < 1 \text{ h}$

 θ = **0.9** si 1h ≤ t ≤ 24h

 $\rightarrow \theta = 1$ si t> 24h

0.85 : un coefficient de minoration pour tenir compte de l'altération du béton en surface et de la durée d'application des charges entraînât une diminution de la résistance.

 γ_b : Coefficient de sécurité qui tient compte d'éventuels défauts localisés dans béton.

Le coefficient γ_b :

> 1.5 : en situation durable et transitoire.

> 1.15 : en situation accidentelle.

Pour $f_{c28} = 25MPa$:

Fargray $f_{bu} = 14.20 \text{MPa}$ en situation durable et transitoire.

 $f_{bu} = 18.47 \text{MPa}$ en situation accidentelle.

f) Contrainte de cisaillement

La contrainte de cisaillement ultime (τ_u) pour les armatures droites $(\alpha = 90^\circ)$ est donnée par les expressions suivantes :

> Dans le cas d'une fissuration peu nuisible :

$$\overline{\tau_{\rm u}} = \min \left(0.2. \frac{f_{c28}}{\gamma_{\rm b}}; 5\text{MPa} \right) \Rightarrow \overline{\tau_{\rm u}} = 3.33\text{MPa}.$$

Dans le cas d'une fissuration préjudiciable et très préjudiciable :

$$\overline{\tau_{u}} = \min \left(0.15. \frac{f_{c28}}{\gamma_{b}}; 4MPa \right) \Rightarrow \overline{\tau_{u}} = 2.5MPa.$$

Dans le cas des armatures inclinées

$$\overline{\tau_{u}} = \min\left(0.27. \frac{f_{c28}}{\gamma_{b}}; 7MPa\right) \Rightarrow \overline{\tau_{u}} = 4.5MPa$$

Diagramme contrainte déformation du béton à ELS

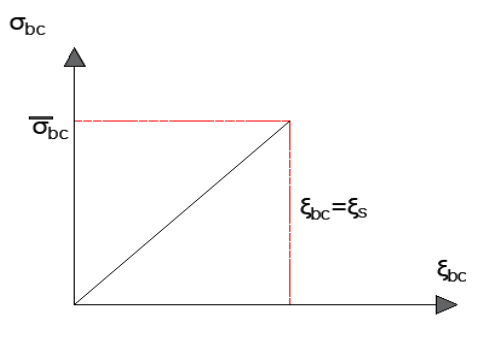


Figure I.8: Diagramme contrainte – déformation du béton à l'ELS

$$\overline{\sigma_{bc}} = 0.6.f_{c28}$$

D'où :
$$\overline{\sigma_{bc}} = 15MPa$$

I.7.2 Acier

Le matériau acier est un alliage de Fer et de Carbone en faible pourcentage. Les aciers pour le béton armé sont de :

- Nuance douce avec 0.15% à 0.25% de teneur en Carbone.
- Nuance mi-dure à dure avec 0.25% à 40% de teneur en Carbone.

I.7.2.1 Caractères mécaniques

La caractéristique mécanique servant de base aux justifications est l'état limite d'élasticité est garantie par le fournisseur est désignée par $<\mathbf{f}_e>$

Le module d'élasticité longitudinal de l'acier est égal à :

$$E_s = 200000 \text{ MPa.}$$

Le tableau suivant nous donne quelques exemples d'aciers :

Treillis soudés (T.S): Pour le voile périphérique et hourdis (Dalle de compression), on utilise treillis soudés.

Type d'acier Limite d'élasticité (MPa) Utilisation Nuances FeE 220 215 Cadres, étriers, Anneaux de Rond lisse (RL) FeE 240 235 levage des pièces préfabriquées FeE 400 400 Haute adhérence (HA) Tous les travaux en béton armé FeE 500 500 TLE 500 500 Empois courant pour radier Treillis soudés Voiles, Planchers, Dallage **TLE 600** 60

Tableau I.1: Caractéristiques mécaniques des aciers.

a) Contraint limite de l'acier

a.1) Contrainte à ELU

On adopte le diagramme contrainte-déformation suivant, avec :

fe: Contrainte limite élastique.

εs: Déformation (allongement) relative de l'acier.

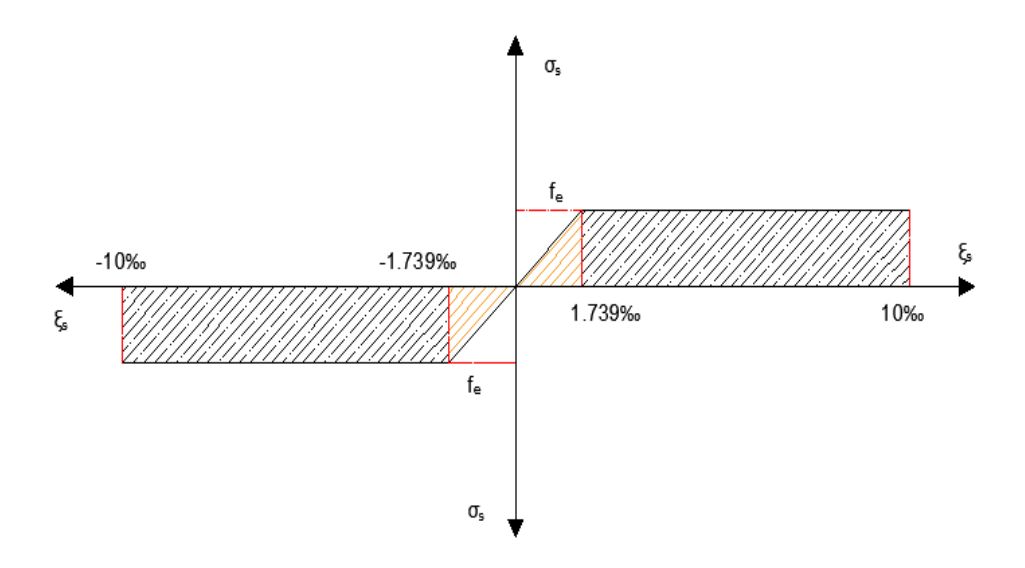


Figure I.9: Diagramme contraintes déformation de l'acier.

Le diagramme de calcul des aciers se déduit en remplaçant f_e par $f_e/\gamma s$, et en conservant la pente Es de la droite d'élasticité.

Le coefficient γ_s :

➤ 1.15 : en situation durable et transitoire.

➤ 1 : en situation accidentelle.

On rappelle que : Es = 200000MPa

Si
$$\varepsilon_s = \frac{f_e}{\gamma_s \times E_s} \rightarrow \sigma_s = \text{Es.}\varepsilon_s$$

Si
$$\frac{f_e}{\gamma_s \times E_S} \le \varepsilon_S \le 10\%$$
 \rightarrow $\sigma_s = \text{fe/}\gamma \text{s}$

Contraintes de traction

 $\varepsilon_s = 10\%$ donc : $\sigma_s = fe/\gamma s$

Pour : $f_e = 400 \text{MPa}$:

 \triangleright $\sigma_s = 348 \text{MPa}$ en situation durable et transitoire.

 \triangleright σ_s = 400 MPa en situation accidentelle.

a.2) Contrainte à ELS

Elle dépend de l'état de fissuration :

Fissuration peu préjudiciable : Pas de limitation.

Fissuration préjudiciable : $\sigma_{st} \le \overline{\sigma_{st}} = \min(\frac{2}{3}f_e, 110.\sqrt{\eta.f_{tj}})$.

Fissuration très préjudiciable : $\sigma_{st} \le \overline{\sigma_{st}} = \min(\frac{1}{2}f_e, 90.\sqrt{\eta.f_{tj}})$.

Avec: η : Coefficient de fissuration (η =1 pour les RL, η =1.6 pour les HA).

 \triangleright $\sigma_s = 348MPa$ en cas de Fissuration peu préjudiciable.

 \triangleright $\sigma_s = 192.79 MPa$ en cas de Fissuration préjudiciable.

 \triangleright $\sigma_s = 157.74 MPa$ en cas de Fissuration très préjudiciable.

I.8 Choix des matériaux dans l'élaboration du projet

• Béton

→ Ciment CPJ dosé à 350 kg/m³

 $> f_{c28} = 25 \text{ MPa}$

 $> \sigma_{bc} = 14.20 \text{ MPa}$

 $F_{t28} = 2.1 \text{ MPa}$

 $E_{ij} = 32164.195 \text{ MPa}$

 $E_{vi} = 10818.78 \text{ MPa}$

 $> \gamma_b = 1.5$

• Acier

> Les barres (HA): Fe E400

 $> \sigma_s = 348 \text{ MPa}$

 $> \gamma_{\rm s} = 1.15$

 $>\eta = 1.6$

 $Es = 2.10^5 \text{ MPa}$

I.9 Conclusion

Le bon fonctionnement de la structure dépend fortement du fonctionnement de chaque élément. Ceci nous encourage à étudier chaque élément soigneusement tout en assurant sa stabilité ce qui entrainera par la suite la stabilité de la structure entière. Alors comme première étape il sera très utile de faire un pré dimensionnement des éléments structuraux et secondaires de notre structure, objet du chapitre suivant.

Chapitre II:

Pré dimensionnement des éléments de structures et évaluation des charges.

II.1 Introduction

Le but du pré dimensionnement est de définir les dimensions des différents éléments de la structure. Ces dimensions sont choisies selon les préconisations du RPA99V2003 et du CBA93. Les résultats obtenus ne sont pas définitifs, ils peuvent être augmentés après vérifications dans la phase du dimensionnement.

En se basant sur le principe de la descente des charges et surcharges verticales qui agissent directement sur la stabilité et la résistance de l'ouvrage, et des formules empiriques utilisées par les règlements en vigueur.

La transmission des charges se fait comme suit :

Charges et surcharges \rightarrow poutrelles \rightarrow poutres \rightarrow poteaux \rightarrow fondations \rightarrow sol.

II.2 Pré dimensionnements des éléments non structuraux

II.2.1 Planchers

Les planchers sont des plaques minces dont l'épaisseur est faible par rapport aux autres dimensions, elles se reposent sur 2,3 ou 4 appuis. Ils déterminent les niveaux ou les étages d'un bâtiment, elles s'appuient et transmettent aux éléments porteurs (voiles, murs, poteaux, poutres) les charges permanentes et les surcharges d'exploitations. Elles servent aussi à la distribution des efforts horizontaux.

L'épaisseur des dalles dépend plus souvent des conditions d'utilisations que des vérifications de résistance.

II.2.1.1 Planchers à corps creux

Dans ce projet les planchers sont en corps creux.

L'épaisseur totale des planchers doit satisfaire la condition suivant : C.B.A.93 [B.6.8.2.4].

L'épaisseur du plancher est déterminée à partir de la condition de la flèche :

$$h_t \ge \frac{L}{22.5}$$

Avec:

h: Hauteur totale du plancher(Epaisseur).

L: La portée maximale entre nus d'appuis dans le sens de la disposition des poutrelles.

$L_{\text{max}} = 3.70 \text{m}.$

$$\frac{h_{t}}{L_{\max}} \ge \frac{1}{22.5} => h_{t} \ge \frac{L_{\max}}{22.5}$$

$$h_{t} \geq \frac{370}{22.5}$$

 $h_t \ge 16.44cm$

Donc en adopte : $h_t = 20$ cm.

Dalle de compression = 4 cm.

Corps creux = 16 cm.

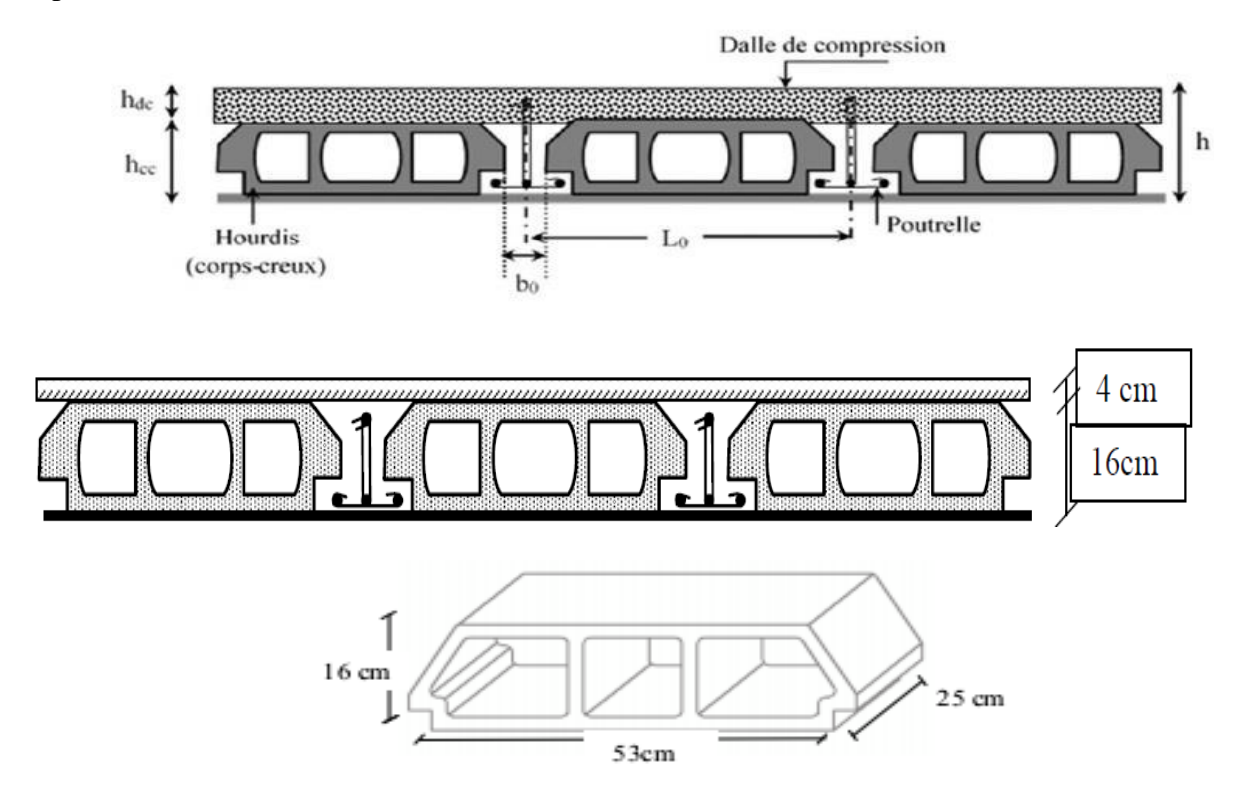


Figure II.1: Plancher à corps creux.

a. Poutrelles

Le dimensionnement des poutrelles se fait suivant :

 $h_t=20$ cm.

$$b_0 = (0.4 \text{ à } 0.6) \text{ x ht} = (08 \text{ à } 12)$$

On adopte : $b_0 = 10$ cm.

$$b = 2 \cdot b_1 + b_0$$

$$b_1 \ge \min\left(\frac{L_x}{2}; \frac{L_{\max}}{10}\right)$$

Avec:

 L_x : représente la distance entre poutrelles ($l_x = 55$ cm).

 L_{max} : représente la distance entre nus d'appuis des poutres secondaires ($L_{max} = 370$ cm).

Tel que:

$$L_x = b - b_0 = 65 - 10 = 55 \text{ cm}.$$

$$b_1 \ge \min\left(\frac{55}{2}; \frac{370}{10}\right) = \min(27.5; 37) \text{ cm}$$

On adopte:

$$b_1 = 27.5$$
 cm

Pour la vérification:

$$b = 2b_1 + b_0 = 2(27,5) + 10 = 65 \text{ cm}.$$

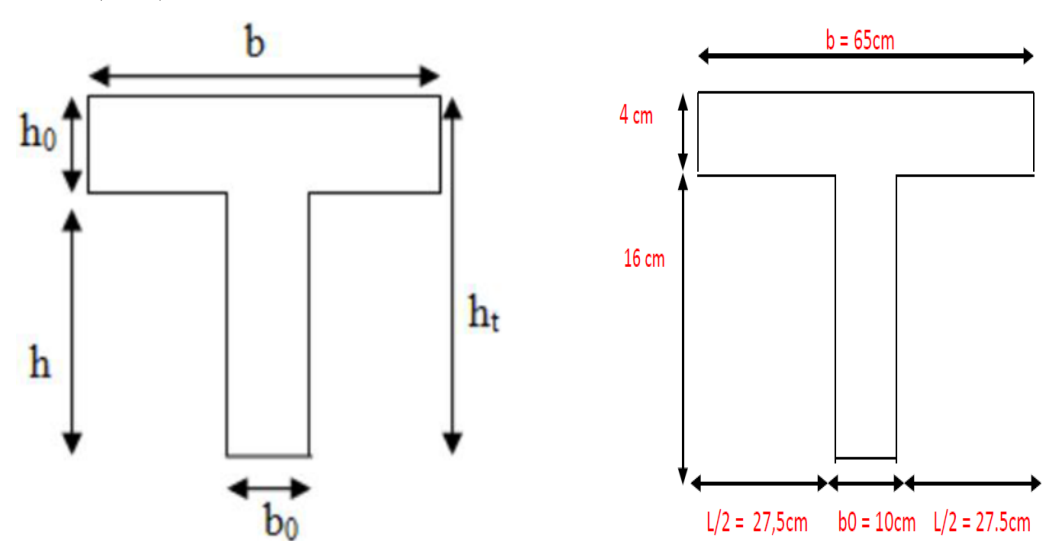


Figure II.2: Poutrelle.

II.2.1.2 Dalles pleine (Balcon)

L'épaisseur des dalles est déterminée à partir des conditions ci-après :

a. Résistance au feu

• e = 7 cm : pour une heure de coupe-feu.

• e = 11 cm : pour deux heures de coupe-feu.

• e = 17.5 cm: pour quatre heures de coupe-feu.

On admet que : e = 16 cm.

b. Résistance à la flexion

Les conditions qui doivent vérifier selon le nombre des appuis sont les suivantes :

• Pour une dalle sur un seul appui:

$$e \ge \frac{L_x}{20}$$

• Dalle reposant sur deux appuis :

$$\frac{L_x}{35} \le e \le \frac{L_x}{30} \,.$$

• Dalle reposant sur trois ou quatre appuis :

$$\frac{L_x}{50} < e < \frac{L_x}{40}$$

Dans notre projet nous avons dalle reposant sur deux appuis donc : $L_x = 1.50m$

$$4.28 \le e \le 5cm$$

On admet que : e = 4 cm.

c. Isolation phonique:

Selon les règles techniques «CBA93» [3] en vigueur en Algérie l'épaisseur du plancher doit être supérieure ou égale à 13cm pour obtenir une bonne isolation phonique. On limite donc notre épaisseur

a : e = 16cm.

$$e_{dalle} = \max(16;4)cm$$

$$e_{dalle} = 16cm$$

II.2.2Évaluation des charges

Le calcul des charges et surcharges est effectué selon DTR-BC2.2 [4].

• Plancher terrasse (16+4).

Tableau II.1: Charge pour plancher terrasse (inaccessible)

Nombre	Désignation	e _p (m)	Mv (kg/m³)	Poids (kg/m²)
1	Protection (gravillon)	0.04	1700	68
2	Etanchéité multicouche	0.02	400	8
3	Forme de pente en béton	0.12	2200	264
4	Isolation thermique	0.04	1000	40
5	Plancher corps creux 16+4	0.20	1	285
6	Enduit en plâtre 0.02		1000	20
			$G_t = 685$	kg/m ²
			$\mathbf{Q}_{\mathrm{t}} = 100$	kg/m ²

• Plancher courant (16+4)

Tableau II.2: Charge pour plancher courant (accessible).

Nombre	Désignation	e _p (m)	Mv (kg/m³)	Poids (kg/m²)
1	Carrelage	0.02	2200	44
2	Mortier de pose	0.02	2000	40
3	Lit de sable	0.02	1700	34
4	Cloisons	/	/	100
5	Plancher corps creux (16+4) cm	0.2	/	285
6	Enduit en plâtre	0.02	1000	20
			Gec= 52	23 kg/m ²
			Qec= 15	50 kg/m ²

• Murs extérieurs :

Tableau II.3 : Evaluation des charges des cloisons extérieures.

N°	Désignation	e (m)	$\gamma (\text{kg/m}^3)$	Poids (kg/m ²)
1	Enduit intérieur en ciment	0.020	2000	40
2	Brique creuse	0.15	900	135
3	Brique creuse	0.10	900	90
4	Enduit extérieur en ciment	0.020	2000	40
Cha	rge permanente Totale	$G_e = 305 \text{ kg/m}^2$		

• Murs intérieurs :

Tableau II.4	•	Evaluation	des	charges	des	cloisons	intérieures
I avicau 11.4	•	Lvaiuauon	ucs	Charges	ucs	CIUISUIIS	michicules.

N°	Désignation	e (m)	$\gamma (kg/m^3)$	Poids (kg/m ²)
1	Enduit Ciment	0.020	2000	40
2	Brique creux	0.15	900	135
3	Enduit plâtre	0.020	2000	40
Cha	rge permanente Tota	$G_e = 215 \text{ kg/m}^2$		

• Acrotère:

C'est un élément en béton armé, encastré au niveau du plancher terrasse et ayant pour rôle d'empêcher l'infiltration des eaux pluviales entre la forme de pente et le plancher terrasse, Pour la terrasse inaccessible on prend cm (**h= 60cm**).

 $G_{l'acrot\`ere} = Poids volumique x S_{l'acrot\`ere}$

La surface de l'acrotère est :

$$S = (0.02 \times 0.1)/2 + (0.08 \times 0.1) + (0.1 \times 0.6) = 0.069 \text{ m}^2$$

Le poids propre de l'acrotère est :

$$P = (0.069 \times 25) = 1.72 \text{ KN/m}$$

$$G = 1.72 \text{ KN/m}$$

 $Q = 1.00 \text{ KN/m}$

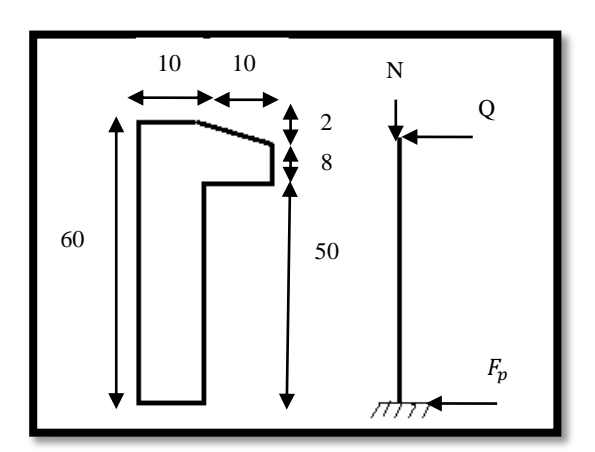


Figure II.3 : Schéma statique de l'acrotère.

Tableau II.5 : Evaluation des charges de l'acrotère.

Désignation	G (KN/m ²)
Enduit de ciment extérieur	0.27
Béton	2.5
Enduit de ciment intérieur	0.27
TOTAL	3.04

• Escalier :

Un escalier est une succession de marches permettant le Passage d'un niveau à un autre, il peut être en béton armé, en acier ou en bois. Dans notre structure on a un type d'escalier et il est fait en béton armé.

Etude de l'escalier :

Pratiquement : la hauteur \mathbf{h} : $14 \le h \le 18$ cm.

La largeur $g: 25 \le g \le 32$ cm.

On prend : h = 17.22cm et g = 30 cm.

Formule de BLONDEL :

$$59 \le g + 2h \le 66$$

$$2.h+g = (2\times17.22) +30 = 64.44 \text{ cm} \implies 59 \le 64.44 \le 66....(c \text{ v})$$

Nombre de contre marche : $n = \frac{H}{h}$

n: nombre de contre marche.

H: hauteur d'étage.

h: hauteur de la contre marche.

$$n = \frac{310}{17.22} =$$
18 Contre marche.

Donc:

On adopte:

h = 17.22 cm

g = 30 cm

n = H/h = 1.55/0,1722 = 9contre marches, donc on aura : 8 marches

Note:

La longueur de palier : 2.10 m

• Epaisseur de la volée (Epaisseur de la paillasse)

Elle est déterminée (e) respectant la condition de la flèche :

$$\frac{L}{30} \le e \le \frac{L}{20}$$

$$L_p = \sqrt{(2.4)^2 + (1.55)^2} + 2.1 = 4.95m$$

 $16.5 \le e \le 24.75$

On prend: e = 18 m.

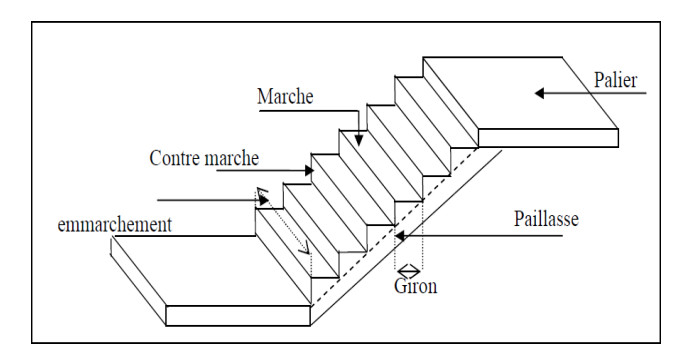


Figure II.4 : Coupe en élévation d'escalier.

• Palier:

Tableau II.6: évaluation des charges du palier

N°	Désignation	e (m)	$\gamma (\text{kg/m}^3)$	Poids (kg/m ²)
1	Carrelage	0.02	2200	44
2	Mortier de pose	0.02	1800	36
3	Dalle plein	0.18	2500	450
4	Enduit en plâtre	0.02	1000	20
	Charge perma	$G_{pr}=550$		
	Surcharge d'	$Q_{pr}=250$		

• La volée (Paillasse) :

Tableau II.7 : évaluation des charges de la volée (la paillasse)

N°	Désignation	e (m)	$\gamma (\text{kg/m}^3)$	Poids (kg/m ²)		
1	Carrelage verticale	0.02	2000	0.40		
2	Carrelage horizontale	0.02	2000	0.40		
3	Mortier de pose	0.02	1800	0.36		
4	Paillasse	0.18 / (cosα)	2500	5.35		
5	Gardes corps	//	//	1.0		
6	Marches	0.1722*(1/2)	2200	1.89		
7	Enduit ciment	$0.02/(\cos\alpha)$	1800	0.42		
	G = 982					
	Surcharge d'exploitation					

• Balcon:

Tableau II.8: évaluation des charges du balcon.

Désignation des éléments	Epaisseur (m)	Densité (Kg/m³)	Poids (Kg/m ²)
Revêtement carrelage	0.02	2000	44
Mortier de pose	0.02	2000	40
Lit de sable	0.22	1700	34
Enduit en ciment	0.02	/	375
Dalle pleine	0.16	2500	40
Charge permanente totale	G = 533		
Surcharge d'exploitation	Q = 350		

Dans notre étude, les hypothèses de calcul adoptées sont :

• Murs extérieurs: 3.05KN/m²

• Murs intérieurs: 2.15KN/m²

• **Acrotère :** 1.72KN/m²

• **Escalier**: $G = 5.50 \text{KN/m}^2$ (surcharge permanente pour palier de repos).

 $G = 9.82 \text{ KN/m}^2 \text{ (surcharge permanente pour paillasse)}.$

 $Q = 2.50 KN/m^2$

• **Balcon** : $G = 5.33 \text{ KN/m}^2$

 $Q = 3.50 \text{ KN/m}^2$

II.3Pré-dimensionnement des éléments structuraux

II.3.1 Poutres

Ce sont des éléments porteurs en béton armé à ligne moyenne rectiligne, dont la portée est prise entre nus d'appuis.

a. Poutres principales

Selon le règlement B.A.E.L 91 modifié 99les poutres seront pré dimensionné par la condition de la flèche et elles sont vérifiées par le R.P.A99 version 2003.

$$\frac{L_{\max}}{15} \le h_t \le \frac{L_{\max}}{10}$$

$$0.4h_t \le b \le 0.7h_t$$

Avec : ht: hauteur de la poutre.

 L_{max} : distance maximale entre nus d'appuis (L_{max} = 4.40 m)

D'où:

$$\frac{440}{15} \le h_t \le \frac{440}{10} \Longrightarrow 29.33cm \le h_t \le 44cm$$
 Donc: soith_t= **40cm** et **b=30 cm**

Vérification:

On doit vérifier les dimensions adoptées aux exigences du RPA (Art: 7.5.1 RPA 99 version2003) qui sont les suivantes :

Donc on adopte une poutre principale de section $(30*40)cm^2$.

Vérification selon RPA 99 version 2003:

$$b \ge 20cm$$
; $b = 30 \ge 20cm$vérifiée.

$$h \ge 30cm$$
 ; $h = 40 \ge 30cm$ vérifiée.

$$\frac{h}{b} < 4 \Rightarrow \frac{40}{30} = 1.33 < 4$$
 vérifiée.

Les condition du RPA sont vérifiées donc la poutre pricipale à une section de (30*40) cm².

b. Poutres secondaires

$$\frac{L_{\max}}{15} \le h_t \le \frac{L_{\max}}{10}$$

$$0.4h_t \le b \le 0.7h_t$$

Avec : ht: hauteur de la poutre.

 L_{max} : distance maximale entre nus d'appuis (L_{max} = 3.70 m)

D'où:

$$\frac{370}{15} \le h_t \le \frac{370}{10} \Longrightarrow 24.66 \le h_t \le 37$$
 Donc: soit **h**t= **35cm**et**b**= **25 cm**.

Vérification:

On doit vérifier les dimensions adoptées aux exigences du RPA (Art : 7.5.1 RPA 99 version 2003) qui sont les suivantes:

Donc on adopte une poutre principale de section $(25*35)cm^2$.

Vérification selon RPA 99 version 2003:

$$b \ge 20cm$$
 b=25cm >20cmvérifiée.

$$h \ge 30 cm h = 35 cm > 30 cm$$
vérifiée.

Les condition du RPA son vérifiées donc les poutressecondairesà une sectionde (25*35) cm².

II.3.2 Poteaux

Le pré dimensionnement des poteaux se fera en fonction des sollicitations de calcul en compression centrée selon les règles du BAEL91[2], en appliquant les trois critères suivant :

- -Critère de résistance.
- -Critère de stabilité de forme.
- -Règles du RPA99 (version 2003)[1].
- -Les exigences de RPA en zone IIa.

Les dimensions de la section transversale des poteaux selon le RPA99, doivent satisfaire les conditions suivantes pour la **zone IIa.**

$$\begin{cases} Min(b,h) \ge 25cm \\ Min(b,h) \ge \frac{h_e}{20}cm \\ 0.25 \le \frac{b}{h} \le 4 \end{cases}$$

On fixera les dimensions des poteaux après avoir effectué la descente de charge, tout en vérifiant les recommandations du RPA99 (version 2003) citées ci-dessus.

Les dimensions des poteaux supposées : (45x45) cm² pour tous les poteaux de l'ouvrage.

Vérification: (R.P.A 99)

$$Min (45, 45) \ge 25cm.....Cv$$

Min
$$(b_1, h_1) \ge \frac{310}{20} = 15.50....$$
Cv

Descente de charges

Afin d'assurer la résistance et la stabilité de l'ouvrage, une distribution des charges et surcharges pour chaque élément nécessaire. La descente des charges permet l'évaluation de la plupart des charges revenant à chaque élément de la structure, on aura considéré :

- o le poids propre de l'élément.
- o la charge de plancher qu'il supporte.
- o la part de cloison répartie qui lui revient.
- o les éléments secondaires (escalier, acrotère...)

La descente de charge se fait du niveau le plus haut (charpente ou toiture terrasse) vers le niveau inférieur et cela jusqu'au niveau le plus bas (les fondations).

Nous appliquons les lois de dégression uniquement pour les étages à usages d'habitation.

• Surcharges différentes selon la loi de dégression:

- Sous la terrasse: Q₀.

- Sous le premier étage à partir du sommet: $Q_0 + Q_1$.

Sous le deuxième étage: $Q_0 + 0.95 \cdot (Q_1 + Q_2)$.

. Sous le troisième étage: $Q_0 + 0.90 \cdot (Q_1 + Q_2 + Q_3)$.

Pour n étage $(n \ge 5)$: $Q_0 + \frac{3+n}{2,n} \cdot (Q_1 + Q_2 + Q_3 + Q_4 + + Q_n)$.

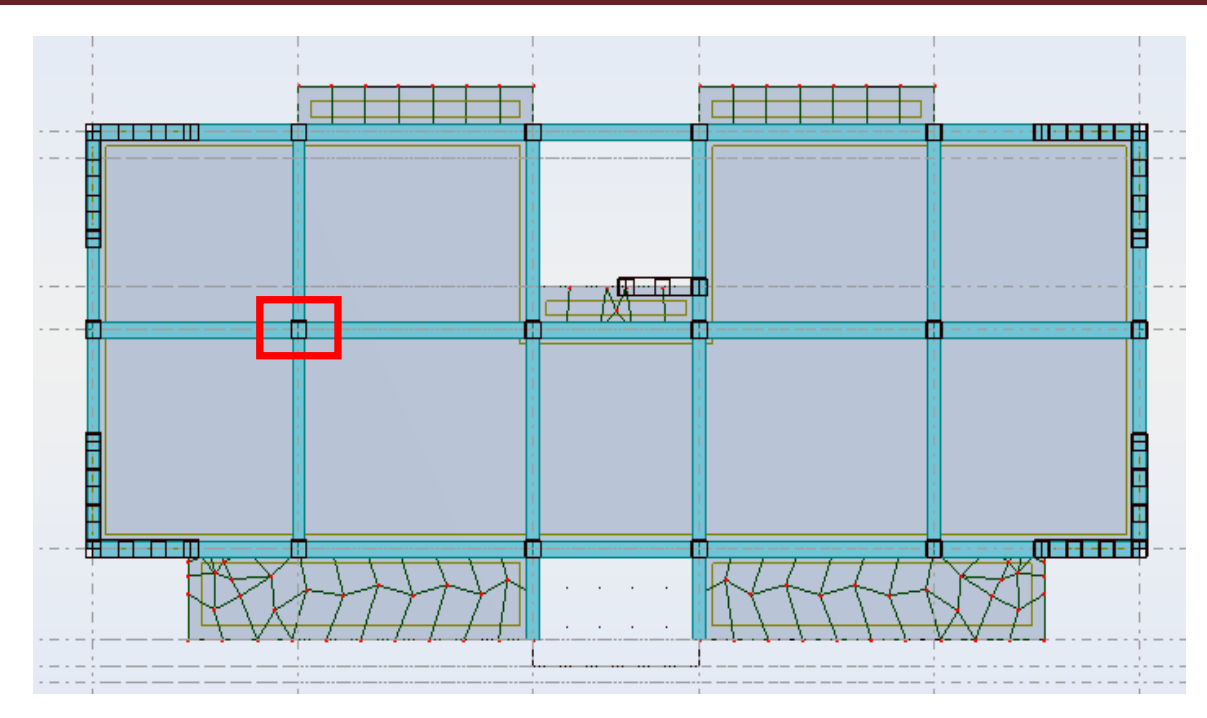


Figure II.5: Emplacement du poteau le plus sollicité (sur le plan).

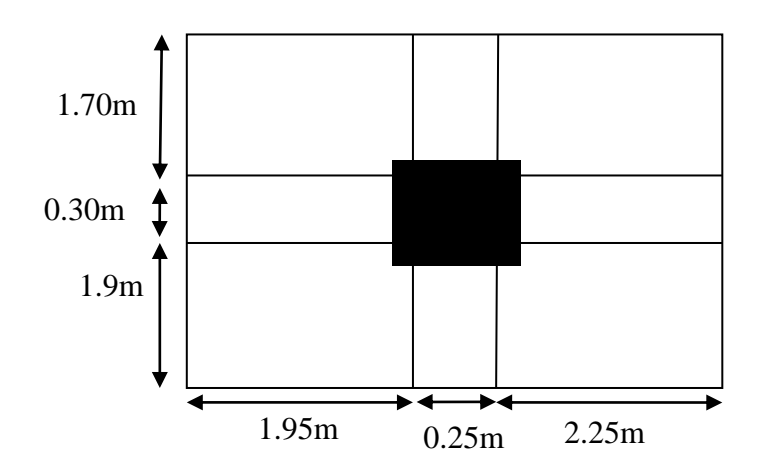


Figure II.6: Surface afférente du poteau.

• Poteau intermédiaire : (Surface afférente)

Donc : $S_t = 15.30 \text{ m}^2$

Plancher terrasse:

$$\begin{cases} G = 15.30 * 6.85 = 104.805KN \\ Q = 15.30 * 1 = 15.30KN \end{cases}$$

Plancher étages:

$$\begin{cases} G = 15.30 * 5.23 = 80.019KN \\ Q = 15.30 * 1.5 = 22.95KN \end{cases}$$

Les poutres :
$$G_{pp} = 25 \times 4.1 \times 0.30 \times 0.40 = 12.30 \text{ KN}.$$
 $G_{ps} = 25 \times 3.50 \times 0.25 \times 0.35 = 7.656 \text{ KN}.$

a) Poteaux:

 $G_{Pot} = S. 25. He$

Tableaux II-9: Les différentes sections de Poteau.

Les niveaux	Section du Poteau	La surface du poteau (S) m ²	Poids de Poteau
RDC- 1 ^{ème} -2.3.4.5	45 × 45	0.2025	0.2025 x25 x 3.10=15.69

Application de la dégression

- Un bâtiment en béton armé (R+5) à usage d'habitation :
- Plancher RDC Q=1.5 KN/m².
- Plancher 1^{er} au 4^{éme} (habitations) Q=1,5 KN/m².
- Plancher terrasse (non accessible) Q=1 KN/m².

Comme les charges d'exploitation n'agissent pas en même temps, alors on applique la loi de dégression.

On a le nombre d'étage est supérieur à 5, donc le coefficient $(\frac{3+n}{2n})$ étant valable, et on obtient les valeurs suivantes: La loi de dégression ne s'applique pas pour les planchers à usage commercial, les charges vont se sommer avec leurs valeurs réelles (sans coefficients).

Tableau II.10:Dégression des charges d'exploitation

Niveau	Dégression des charges par niveau	La charge(KN/m²)
5	Nq0=1	1.00
4	Nq1=q0+q1	2.50
3	Nq2=q0+0,95 (q1+q2)	3,85
2	Nq3=q0+0,90 (q1+q2+q3)	5,05
1	Nq4=q0+0,85 (q1+q2+q3+q4)	6,10
RDC	Nq4=q0+0,80 (q1+q2+q3+q4+q5)	7.00

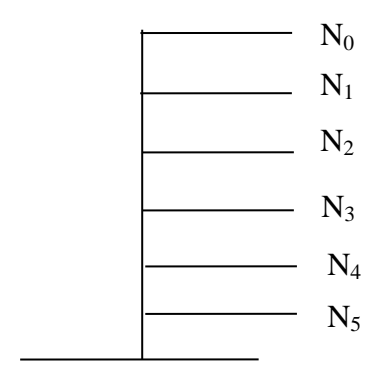


Figure II.7: Schéma statique de la descente de charge.

Descente de charges :

Tableaux II-11: La descente de charge de poteau.

Etages	Niveau	Elément	Poids Propre G (KN)	Charge d'exploitationQ (KN
		Plancher terrasse	15.30x 6.85= 104.805	
≠ème ∠.	N_0	Poutres	19.956	
5 ^{ème} étage		Poteaux	15.69	
	Somme		140.451	15.30
		Venant N ₂	140.451	
	N	Poteaux	15.69	
4 ^{ème} étage	N_1	Plancher étage	80.019	
		Pouters	19.956	
	Somme		256.116	38.25
		Venant N ₃	256.116	
	N_2	Poteau	15.69	
3 ^{ème} étage		Plancher étage	80.019	
		Pouters	19.956	
	Somme		371.781	58.905
	N_3	Venant N ₄	371.781	
		Poteaux	15.69	
2 ^{ème} étage		Plancher étage	80.019	
		Pouters	19.956	
	Somme		487.446	77.265
		Venant N ₅	487.446	
		Poteaux	15.69	
1 ^{ème} étage	N_4	Plancher étage	80.019	
· · · · · · · · · · · · · · · · · · ·		Pouters	19.956	
	Somme		603.111	93.33
		Venant N ₆	603.111	
	N_5	Poteaux	15.69	
		Plancher étage	80.019	

Effort normal à la base du poteau		N _u = 1131KN		
en ELU		1.35 G =970.35	1.5 Q = 160.65	
	Somme		718.776	107.1
		Pouters	19.956	

Vérifications nécessaires

a) Poteau RDC:

• L'effort normal ultime

$$N_u = 1.35G + 1.5Q = 970.35 + 160.65 = 1131KN$$

Selon le CBA93 (article B.8.11) on doit majorer l'effort normal de compression ultime N_u de **15%** tel que: Nu = 1.15x (1.35G+1.5Q).

Vérification à la compression simple:

On doit vérifier la condition suivante :

$$\frac{N_u}{B} \le 0.6 \times f_{c28}$$
 Avec: B: Section de béton.

$$B \ge \frac{N_u}{0.6 * f_{c28}} \Longrightarrow B \ge \frac{1300.65 * 10^{-3}}{0.6 * 25} = 0.086 m^2$$

On a: $B = 0.2025 \text{ m}^2$

 $B=0.2025 \text{ m}^2 > 0.086 \text{ m}^2$ Condition vérifiée.

Vérification au flambement:

On doit faire la vérification suivante :

$$N_{u} \leq \alpha \times \left[\frac{B_{r} \times f_{c28}}{0.9 \times \gamma_{b}} + \frac{A_{s} \times f_{e}}{\gamma_{s}} \right]$$

$$B_{r} \geq \frac{N_{u}}{\alpha * \left(\frac{f_{c28}}{0.9 * \gamma_{b}} + \frac{A_{s} * f_{e}}{B_{r} * \gamma_{s}} \right)}$$

B_r: Section réduite du béton.

A_s: Section des armatures.

 γ_b : Coefficient de sécurité de béton

 γ_s : Coefficient de sécurité des aciers.

 α : Coefficient en fonction de l'élancement λ .

$$\alpha = \begin{cases} \frac{0.85}{1 + 0.2 \times (\frac{\lambda}{35})^2} \to 0 < \lambda \le 50 \\ 0.6 \times (\frac{50}{\lambda})^2 \to 50 < \lambda \le 70 \end{cases}$$

On calcule l'élancement $\lambda = \frac{l_f}{i}$

l_f: Longueur de flambement.

l_o: Longueur de poteau.

i : Rayon de giration $i = \sqrt{\frac{I}{B}}$

I : Moment d'inertie $I = \frac{b_1 \times h_1^3}{12}$

$$l_f = 0.7 * l_0 = 0.7 * 3.1 = 2.17m$$

 $B = 0.2025m^2$

$$I = \frac{0.041}{12} = 0.34 * 10^{-2} m^4$$

$$i = \sqrt{\frac{0.34 * 10^{-2}}{0.2025}} = 0.13$$

$$\lambda = \frac{2.17}{0.13} = 16.69 < 50 \Rightarrow \alpha = \frac{0.85}{1 + 0.2 * \left(\frac{16.69}{25}\right)^2} = 0.813$$

D'après le BAEL91 on doit vérifier :

$$B_{r} \ge \frac{N_{u}}{\alpha * \left(\frac{f_{c28}}{0.9 * \gamma_{b}} + \frac{A_{s} * f_{e}}{B_{r} * \gamma_{s}}\right)} \qquad B_{r} \ge \frac{1300.65 * 10^{-3}}{0.813 * \left(\frac{25}{0.9 * 1.5} + \frac{8 * 400}{1000 * 1.15}\right)} = 0.075m^{2}$$

Nous avons:

$$B_r = (45-2) * (45-2)*10^{-4} = 0.18 \text{ m}^2$$

 $0.18 \text{ m}^2 > 0.075 \text{m}^2 \dots$ donc le poteau ne risque pas de flamber.

II.3.3 Voile:

a. Définition et Pré-dimensionnement des voiles :

L'épaisseur des murs voile (voile périphérique ou de contreventement) se fait selon les règles parasismiques algériennes (version 2003).

D'où leur l'épaisseur minimale est de 15 cm. De plus, l'épaisseur doit être déterminée en fonction de la hauteur libre d'étage (h_e) et des conditions de rigidité aux extrémités.

Les voiles servent, d'une part, à contreventer le bâtiment en reprenant les efforts horizontaux (séisme et ou vent), et d'autre part, à reprendre les efforts verticaux (charges et surcharges) et les transmettent aux fondations. D'après le RPA99 version 2003(article 7.7.1) sont considérés comme voiles les éléments satisfaisant à la condition: $\mathbf{L} \geq 4\mathbf{e}$. Dans le cas contraire, les éléments sont considérés comme des éléments linéaires.

$$e \ge \frac{h_e}{22} \Rightarrow e \ge 15cm$$

 $e \ge \max(e_{\min}; \frac{h_e}{22})$ (Conditions de rigidité aux extrémités).

Avec:

L: longueur du voile. e: épaisseur du voile. h_e: hauteur d'étage.

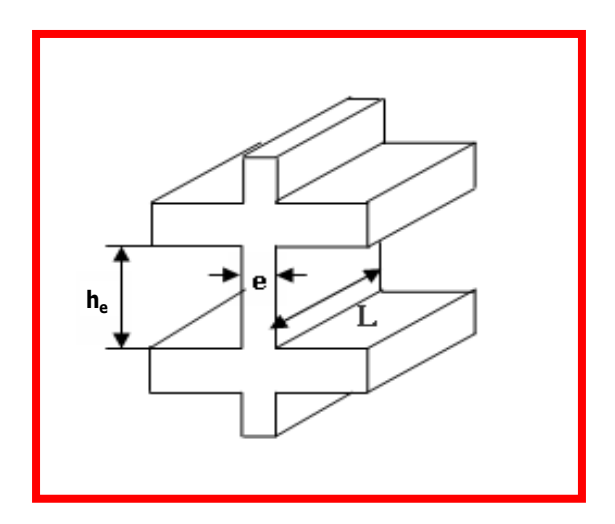


Figure II.8: Coupe de voile en élévation.

Exemple:

On a:

he= 3.10-0.40= 2.70 mpour R.D.C et étage courant.

On a;
$$e \ge \frac{270}{22} \Rightarrow e \ge 12.27$$
cm

On adopte:

e= 16 cmpour R.D.C et étage courant.

Pour qu'un voile soit considéré comme un élément de contreventement la largeur minimale doit être:

$$L_{\min} \ge 4e$$
 donc on adopte: $L_{\min} \ge 64cm$.

On a:
$$L_{\min}$$
= 200 cm......C'est vérifier.

II.4 Conclusion:

Après avoir pré dimensionné tous les éléments (planchers, poutres, poteaux, escaliers etvoiles) on passe au chapitre suivant pour l'étude des éléments secondaires.

a. Plancher:

Plancher à corps creux 16+4 cm.

b. Voile:

Un voile d'épaisseur de 16 cm.

c. Poutres:

Poutre principale : b = 30 cm; h = 40 cm.

Poutre secondaire : b = 25 cm; h = 35 cm.

d. Poteau:

La dimension de (45×45) cm² pour tous les niveaux.

e. Escalier:

e =18cm pour la paillasse.

e =18cm pour le palier de repos.

Chapitre III:

Calcul des éléments secondaires

Chapitre III:

III Calcul des éléments secondaires

III.1 Introduction

Dans toute structure, on distingue deux types d'éléments :

- Les éléments porteurs principaux qui contribuent aux contreventements directement.
- Les éléments secondaires qui ne participent pas au contreventement de la structure.

Ainsi l'escalier et l'acrotère sont considérés comme des éléments secondaires dont l'étude est indépendante de l'action sismique (puisqu'ils ne contribuent pas directement à la reprise de ces efforts), mais ils sont considérés comme dépendant de la géométrie interne de la structure.

III.2 Calcul de l'acrotère

III.2.1 Introduction

L'acrotère est un élément structural contournant le sommet du bâtiment conçu pour laprotection de la ligne conjonctive entre lui-même et la forme de pente contre l'infiltration deseaux pluviales.

Il est réalisé en béton armé. Soumis à son poids propre et à une surcharge horizontaledue à la main courante. Il est assimilé à une console encastrée au plancher terrasse. La sectionla plus dangereuse se trouve au niveau de l'encastrement. Le calcul se fera en flexioncomposée dans la section d'encastrement pour une bande de 1 m linéaire. L'acrotère estexposé aux intempéries, donc la fissuration est préjudiciable, dans ce cas le calcul se fera à

l'ELU, et à l'ELS. Les dimensions de l'acrotère sont données dans la figure (figure. III.1)

III.2.2 Evaluation des Charges:

Poids propre de l'acrotère : G = 1.72 KN/mlSurcharge (la main courante) : Q = 1.00 KN/ml

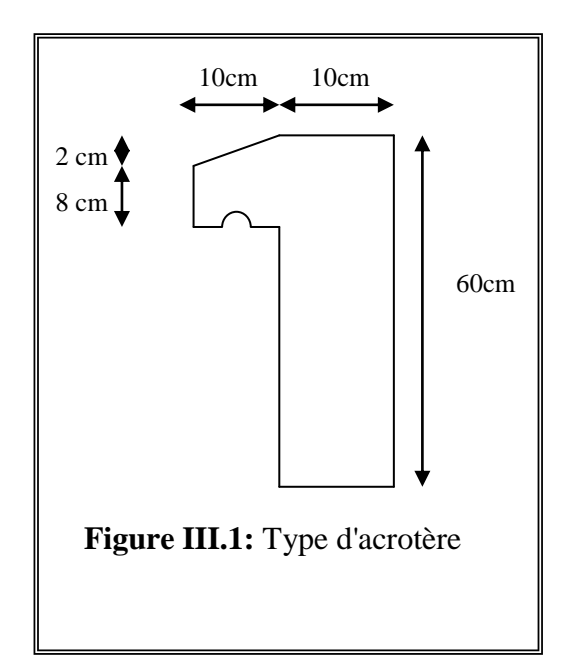
III.2.3 Sollicitations:

III.2.3.1 Etat limite ultime:

 N_u =1.35 N_G =1.35×0.172=2.322 KN/ml M_u =1.5 N_O .h =1.5×0.100×0.6 =0.9 KN.m/ml

III.2.3.2 Etat limite de service :

 N_{ser} = N_G = 0.172 =1.72 KN/ml M_{ser} = N_O = 0.100×0.6 = 0.6KN.m/ml



III.2.4 Ferraillage:

Le calcul se fait sur une section rectangulaire (Fig.III.2).

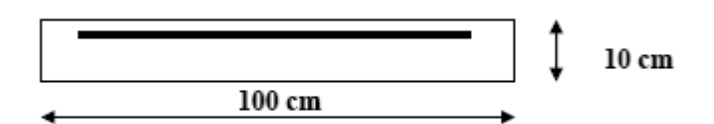


Figure III.2 : Section théorique pour le ferraillage de l'acrotère

Les dimensions de la section:

h = 10 cm

b = 100 cm

 $d = 0.9 h = 0.9 \times 10 = 09 cm$

La fissuration est considérée comme préjudiciable parce que ce sont des éléments qui sont exposés aux intempéries, (variation de température, eau, neige, etc. ...).Le calcul se fera alors à l'ELU et à l'ELS.

III.2.4.1 Calcul à l'E.L.U:

Selon l'article A.4-4 du B.A.E.L91, en adoptant une excentricité totale de calcul :

 $e=e_1+e_2$ tel que $e1=e_0+e_a$

e0 : Excentricité de la résultante des contraintes normales.

e2: Excentricité dus aux effets de second ordre.

ea : Excentricité additionnelle.

$$e_0 = \frac{Mu}{Nu} = \frac{0.09}{0.2322} = 0.39 \text{ m}$$

$$e_2 = \frac{3l_f^2}{10^4 \cdot h} (2 + \alpha \phi)$$

Calcul de l'élancement :

$$\begin{split} & l_f \!\!= 2 l_0 \! = 2 \! \times 0,\! 6 = 1.2 \ m \\ & i \!\!= \! \sqrt{\frac{I}{B}} \quad \text{avec:} \quad I = \frac{b.h^3}{12} \ ; \ B = b \times h \quad ; \ i = 0.029 \\ & \lambda \!\!= \! \frac{l_f}{i} = \!\! \frac{1.2}{0,\! 029} = 41.38 \\ & \lambda_{max} \! \leq \, \text{max} \ (50, \, \text{min} \ [67 \times e_0/h,\! 100]) \end{split}$$

$$\lambda_{max} \leq 100$$

$$\lambda = 41.38 < 100$$

Donc il n'est pas nécessaire de faire un calcul au flambement.

$$\begin{split} \alpha &= 10(1\text{-M}_u/1,5\text{.M}_{ser}) = 0 \\ e_2 &= \frac{3\times 1,2^2}{10^4.0,1} \times 2 = 0,0086 \text{ m} \\ ea &> \text{Max } (2\text{cm},1/250) = \text{Max } (2\text{cm},60/250) \implies e_a = 0,02 \text{ m} \\ e_1 &= 0.39 + 0.02 = 0.41 \text{ m} \\ e &= e_1 + e_2 = 0.41 + 0.0086 = 0,419 \text{ m} \end{split}$$

On a :
$$\frac{l_f}{h} = 12$$

$$\frac{l_f}{h} \le \text{Max} (15, \frac{20.e1}{h}) = 82 \Rightarrow \text{On tiendra compte des effets du second ordre.}$$

On majore Nu, Mu ; tel que la méthode forfaitaire consiste à tenir compte des effets dusecond ordre en introduisant l'excentricité totale :

La sollicitation corrigée.

$$N'_{11} = 2.322 \text{ KN}$$

$$M'_{u} = N'_{u} \times (e1 + e_{2}) = 0.2322 \times 0,419 = 0.97 \text{ KN.m}$$

$$M_{ua} = M'_{u} + N'_{u} \times (d - \frac{h}{2})$$

$$M_{ua} = 0.97 + 2.322 \times (0.09 - \frac{0.1}{2})$$

$$M_{ua} = 1.06 \text{ KN.m}$$

Le calcul se fera par assimilation à la flexion simple.

a/1 ère étape : étape fictive :

$$\mu = \frac{M_{ua}}{bd^2 f_{hu}} = \frac{0.106}{0.09^2 \times 14.17} \times 10^{-2} = 0.0092 \Rightarrow \mu = 0.0109 < 0.186 domaine 1.$$

 μ < 0.186 \Rightarrow pas d'acier comprimé (SSAC)

$$\alpha = 1.25 (1 - \sqrt{1 - 2\mu})$$

$$\alpha = 0.013$$

$$Z = d \times (1 - 0.4\alpha) = 0.089 \text{ m}$$

$$\varepsilon = 10 \%$$

$$\sigma s = 348MPA$$

$$A_1 = \frac{M_u}{Z \times \sigma_s} = (\frac{0.106}{0.089 \times 348}) \times 10^{-2}$$

$$A_s = 0.34 \text{ cm}^2$$

b/ 2^{ème}étape : Retour à la section réelle

La section des armatures tendues dont la section réelles est (Au).

$$A_{\rm u} = A_{\rm u1} - \frac{N_{\rm u}}{\sigma_{\rm st}}$$

Avec :
$$\sigma_{st} = \sigma_{s10}$$

$$A_u = 0.34 \times 10^{-4} - \frac{0.2322 \times 10^{-2}}{348} = 0.27 \text{ cm}^2/\text{ml}$$

III.2.4.2 Calcul à l'ELS

$$M_{ser} = 0.6KN.m/ml$$

$$N_{ser} = 1.72 \text{ KN/ml}.$$

Calcul de l'excentricité

$$e_0 = \frac{M_{ser}}{N_{ser}} = \frac{0.6}{1.72} = 0.35 \text{m} \Rightarrow e_0 = 35 \text{ cm}$$

$$e_1 = \frac{h_t}{6} = \frac{0.10}{6} = 0.0167 \text{ m} \Rightarrow e_1 = 1.67 \text{ cm}$$

e0 > e1 ⇒ La section est partiellement comprimée (SPC)

On calculera la section en flexion simple sous l'effet d'un moment fléchissant parrapport au c.d.g des armatures tendues.

$$M_{\text{ser/A}} = M_{\text{ser}} + N_{\text{ser}} \times (d - \frac{h}{2}) = 0.6 + 1.72 \times (0.09 - \frac{0.1}{2}) = 0.67 \text{ KN.m/ml}$$

La contrainte du béton est donnée / ELS: $\sigma_{bc} = 0.6f_{c28} = 15MPa$

La contrainte de l'acier :

Selon la rectification 99du BAEL91

Arti.A.4.5.33 (cas de fissuration préjudiciable).

$$\overline{\sigma}_{st} = \min \left\{ 2/3 f_e; \max \left(0.5 f_e; 110 \sqrt{\eta f_{ti}} \right) \right\} = 201.63 \text{MPa}$$

$$X = \frac{15 \times \overline{\sigma}_{bc}}{15 \times \overline{\sigma}_{bc} + \overline{\sigma}_{st}} \times d = \frac{15 \times 15}{15 \times 15 + 201.63} \times 0.09 = 0.047 \text{ m}$$

$$Z = d - \frac{X}{3} = 0.09 - \frac{0.047}{3} = 0.074 \text{ m}$$

$$M_1 = \frac{1}{2} bX \, \overline{\sigma}_{bc} Z = 1/2 (1 \times 0.047 \times 15 \times 0.074) = 0.026 \, MN.m/ml$$

$$M_{ser/A}\!=0.067\!\!\times\!\!10^{\text{--}2}\!MN.m/ml\!<\!\!M_1\!\!=\!\!0.026~MN.m/ml$$

M_{ser/A}< M₁⇒Section sans armatures comprimées (SSAC)

$$A_{\text{ser1}} = \frac{M_{\text{ser}}}{z\overline{\sigma}_{\text{st}}} = \frac{0.067 \times 10^{-2}}{0.074 \times 201.63} = 0.45 \text{ cm}^2$$

$$A_{\text{ser}} = A_{\text{ser}1} - \frac{N_{\text{ser}}}{\overline{\sigma}_{\text{st}}} = 0.45 \times 10^{-4} - \frac{0.172 \times 10^{-2}}{201.63}$$

$$A_{ser} = 0.36 \text{ cm}^2$$

III.2.4.3Condition de non fragilité

$$A_{\min} > \frac{0.23b_o df_{t28}}{f_e} = 1.09 \text{ cm}^2/\text{ml}$$

Donc As>max (As; Aser; Amin)

III.2.5 Armature de répartition :

$$A_r = A_s / 4 = 0,5025 \text{ cm}^2$$

On adopte **4HA6** avec un espacement de 15 cm.

III.2.6 Vérification au cisaillement:

$$\bar{\tau}_u = \min (0.15 \frac{f_{c28}}{\gamma_b}, 4\text{MPa}) = 2.5\text{MPa}$$

$$V_u = 1.5 \times Q = 1.5 \text{ KN / ml}$$

$$\tau_u = \frac{V_u}{b_0 \times d} = \frac{1.5}{1 \times 0.09} = 0.017 \text{MPa}$$

 $\tau_{\rm u} < \bar{\tau}_{\rm u} \Rightarrow {
m Condition \ v\'erifi\'ee}$

Il n'est pas nécessaire de concevoir des armatures transversales, les armatures de répartition sont suffisantes.

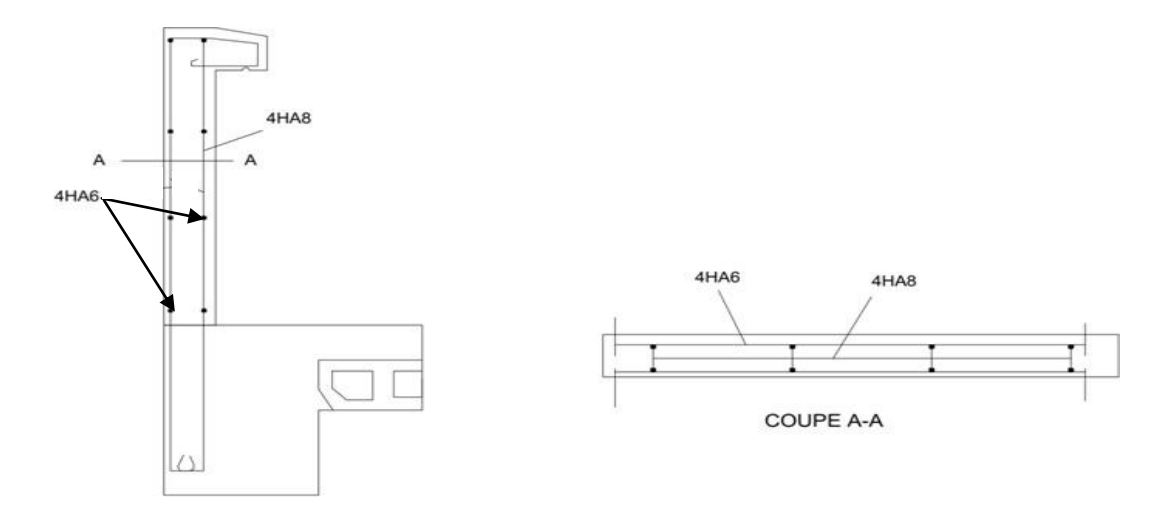


Figure III.3 : Disposition constructive des armatures de l'acrotère.

III.3 Calcul des balcons

III.3.1 Introduction

Le balcon est constitué d'une dalle pleine encastré dans les poutres, l'épaisseur estconditionnée par:

$$L/15 < e < L/20 + 7 \Rightarrow avec L = 1.50m$$

 $10 \le e \le 14.5$ on prend :e = 12 cm.

Avec des considérations pratiques (expérience), on a vu que l'épaisseur ainsi obtenun'est pas plus pratique alors on doit majorer à : e = 16 cm.

Les balcons sont des éléments décoration dans les bâtiments, ils sont calculés comme des consoles encastrées.

Lx = 1,50m

Ly = 6.8 m

 $\rho = Lx/Ly = 150/680 = 0.22$

 ρ =0,22<0,4. La dalle travaille dans un seul sens (comme une console).

III.3.1.1Evaluation des charges

 $G = 5.33 \text{ KN/m}^2$

 $Q = 3.5 \text{ KN/m}^2$

Pour 1 ml:

G = 5.33 KN/m

Q = 3.50 KN/m

Poids de garde-corps:

P=1KN/m

III.3.1.2 Sollicitations

Puisque le balcon est exposé aux intempéries, donc le calcul se fera à L'E.L.S.

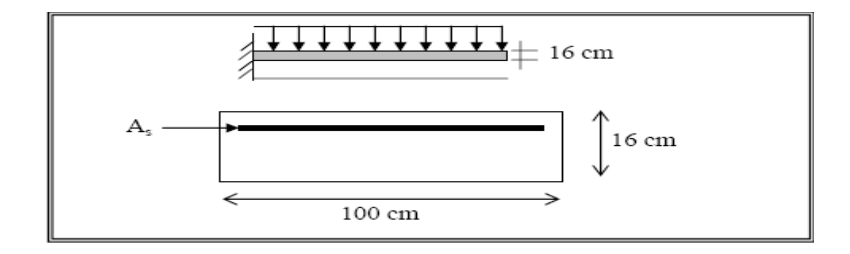


Figure III.4: Section théorique pour le ferraillage du balcon

III.3.1.3 Combinaisons

$$q_u = 1.35G + 1.5Q \Rightarrow Pu = 1.35 \times 5.33 + 1.5 \times 3.5 = 12.44KN \ / \ ml$$

$$P_u = 1.35 \ G_g = 1.35 \times 1 = 1.35 \ KN$$

$$q_{ser} = G + Q = 5.33 + 3.5 = 8.83KN / ml$$

$$P_{(ser)} = P = 1 KN$$

a/ELU

$$\mathbf{M}_{\mathrm{u}} = \frac{q_{U} \times L^{2}}{2} + Pu \times L$$

$$M_u = \frac{12.44 \times 1.5^2}{2} + 1.35 \times 1.5 = 16.01 \text{ KN. m}$$

$$V_u = q_u \times L + Pu$$

$$V_u = 12.44 \times 1.50 + 1.35 = 20.01 \text{ KN}$$

b/ ELS

$$\mathbf{M}_{\text{ser}} = \frac{q_{ser} \times L^2}{2} + P_{(ser)} \times L = 11.43 \text{KN.m}$$

$$V_s = q_s \times L + P_{(ser)}$$

$$V_s = 8.83 \times 1.50 + 1 = 14.24 \ KN$$

Le calcul des armatures se fait à la flexion simple :

b=100cm

h=16cm

d=0,9 h=14.4cm

 $M_u=16.01KN.m$

$$\mu_{bu} = \frac{M_u}{f_{bu} \times d^2 \times b} = \frac{16.01 \times 10^{-3}}{14,17 \times 0,144^2} = 0,052 < \mu_1 = 0,392 \text{ (les armature comprimée ne sont pas nécessaires)}$$

$$\alpha = 1,25(1-\sqrt{1-2\mu_{bu}})$$

$$\alpha = 0.066$$

$$Z=d \times (1-0.4\alpha)$$

$$Z=0,140m$$

$$A_S = \frac{M_t}{\sigma_s \times \mathbf{Z}} = \frac{16.01 \times 10^{-3}}{348 \times 0.140} = 3.28 \text{cm}^2$$

III.3.1.4 Condition de non fragilité

$$A_{min} \ge 0.23 \times b \times d \times \frac{f_{t28}}{f_e}$$

$$A_{min} \ge 0.23 \times 100 \times 14.4 \times \frac{2.1}{400} = 1,738$$
cm²

Soit: $4HA12 (As = 4.52 cm^2)$

c/ Espacement:

$$\delta_t \le \min(3 \times h; 33cm)$$

$$\delta_t = 33cm$$

d/ Armature de répartition :

$$A_r = \frac{A_s}{4} Ar = \frac{4.52}{4} = 1.13cm^2$$

Soit :
4
4HA8 (As = 2,01 cm²)

e/ Espacement :

$$\delta_t \le \min(3 \times h; 33cm)$$

 $\delta_t = 33cm$

III.3.1.5Vérification des contraintes

$$\sigma_{\rm bc} \leq \overline{\sigma_{bc}}$$

$$\overline{\sigma_{bc}} = 0.6 \times f_{c28} = 15 \text{ MPa}$$

$$\sigma_{bc} = \frac{M_{ser} \times y}{I}$$

Position de l'axe neutre :

$$\frac{1}{2}by^2 + \eta(d-y)A_s' + \eta(d-y)A_s = 0$$

$$50 \times y^2 + 15(14.4 - y) \times 0 + \mathbf{15}(13.5 - y) \times 4.52 = 0$$

$$y=3.8cm$$

Moment d'inertie:

$$I = \frac{1}{3} \times by^{3} + \eta(d - y)A'_{s} + \eta(d - y)A_{s} = 0$$

$$I=1/3 \times 100 \times 3.8 + 15(14.4 - y)4.52 = 0$$

 $1=0.9447\times10^{-4}m^4$

$$\sigma_{bc} = \frac{M_{ser} \times y}{I} = \frac{1.143 \times 3.8 \times 10 - 4}{0.9447 \times 10 - 4} = 4.59 MPa$$

$$\sigma_{bc} \leq \overline{\sigma_{bc}}$$
......C.V

La contraint dans l'acier :

$$\sigma_{\rm st} \leq \overline{\sigma_{\rm st}}$$

$$\overline{\sigma_{st}} = \min(\frac{2}{3} \times f_e; 110\sqrt{\eta \times f_{t28}})$$

$$\overline{\sigma_{st}}$$
=min($\frac{2}{3}$ × 400; 110 $\sqrt{1,6$ × 2,1)

$$\overline{\sigma_{st}} = \min(266,67;201,63)$$

$$\overline{\sigma_{st}}$$
=266,67MPa

$$\sigma_{bc} = \frac{15M_{ser} \times (d - y)}{I}$$

$$\sigma_{bc}\!\!=\!\!\!\frac{15\!\times\!1.143\!\times\!10^{-^2}\!\times\!(0.144\!-\!3.8\!\times\!10^{-^2}\!)}{0.9447\!\times\!10\!-\!4}$$

$$\sigma_{bc} = 192.33 MPa$$

III.3.1.6 Vérification de l'effort tranchant

$$\tau_u \leq \overline{\tau_u}$$

$$\tau_u = \frac{v_u}{hd} = \frac{20.01 \times 10^3}{1000 \times 144}$$

$$\tau_u = 0.138 MPa$$

Fissuration préjudiciable :

$$\overline{\tau_u} = \min(0.15 \frac{f_{c28}}{\gamma_B}; 5MPa)$$

$$\overline{\tau_u} = \min(2,5; 5MPa)$$

$$\overline{\tau_u} = 2,5$$
MPa

Donc:

Pas de risque de rupture par cisaillement.

• III.3.1.7 Vérification de la flèche

$$\begin{cases} \frac{h}{l} \ge \frac{1}{16} \\ \frac{h}{l} \ge \frac{M_t}{10 \times M_0} \\ \frac{A_s}{bd} \le \frac{4,2}{f_e} \end{cases} \begin{cases} \frac{0,16}{1,5} = 0,106 \ge \frac{1}{16} = 0,0625 & CV \\ \frac{0,16}{1,5} = 0,106 \ge \frac{16.01}{10 \times 16.01} = 0,1 & CV \\ \frac{4.52}{100 \times 14.4} = 0,0031 \le \frac{4,2}{400} = 0,0105 & CV \end{cases}$$

Les trios condition de la flèche sont vérifier donc le calcul de la flèche ne s'impose pas.

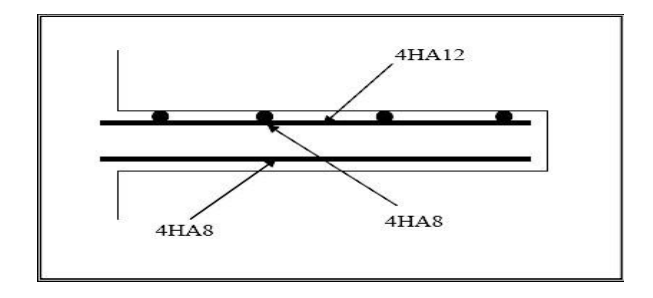


Figure III.5 : Schéma de ferraillagedu balcon.

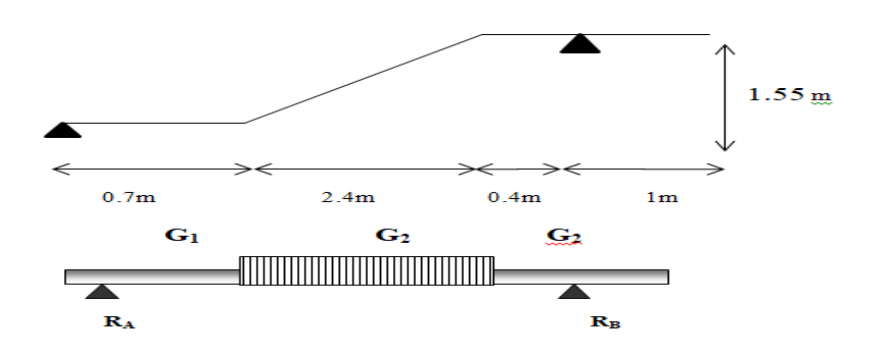
III.4 Calcul des escaliers

III.4.1 Définition

Les escaliers constituent la famille la plus employée des circulations verticales. En effet, quel que soit le type de bâtiment, ils sont indispensables soit à titre de circulation principale, comme dans une maison individuelle, soit à titre de circulation de service ou de secours dans un immeuble collectif ou dans un établissement recevant du public.

Plusieurs dispositifs permettent de passer d'un niveau à un autre, en fonction de la dénivellation et de la longueur disponible, c'est-à-dire de l'inclinaison de la pente la plus faible à la plus inclinée.

III.4.2 Schéma statique



III.4.3 Charges et surcharges

Palliasse: $G_1 = 9.82 \text{ KN/m}^2$

 $Q_1 = 2.5 \text{ KN/m}^2$

Palier: $G_2=5.50KN/m^2$

 $Q_2 = 2.5 KN/m^2$

III.4.4Combinaisons des charges

III.4.4.1 Calcul des charges à l'ELU et l'ELS

Le calcul se fait pour une bande de 1ml.

a) Palliasse

L'ELU

$$q_{u1} = 1.35 G_1 + 1.5 Q_1 \Longrightarrow qu_1 = 1.35x9.82 + 1.5x2.5$$

$$q_{u1} = 17KN/ml$$

L'ELS

$$q_{ser1} = G_1 + Q_1 \Longrightarrow \ q_{ser1} = 9.82 + 2.5$$

$$q_{ser1} = 12.32KN/ml$$

b) Palier

L'ELU

$$q_{u2}$$
=1.35 G_2 +1.5 $Q_2 \Rightarrow q_{u2}$ = 1.35 x5.50+1.5 x2.5

$$q_{u2}=11.175KN/ml$$

L'ELS

$$q_{ser\;2}\!=G_2\!\!+\!\!Q_2\!\Longrightarrow\!q_{ser\;1}\!\!=5.50\!+\!2.5$$

$$q_{ser2} = 8 \text{ KN/ml}$$

Tableau III.1: Combinaisons des charges l'escalier.

Combinaisons	Volée (KN/ml)	Palier (KN/ml)		
ELU	17	11.175		
ELS	12.32	8		

L'escalier travaille à la flexion simple en considérant la dalle comme une poutreUniformément chargée et en tenant des types d'appuis sur lesquels elle repose.

Pour déterminer les sollicitations, on a deux méthodes de calcul qui sont les suivantes: La méthode des charges équivalentes.

- La méthode R.D.M.

III.4.4.2 Diagrammes des moments fléchissant et efforts tranchants :

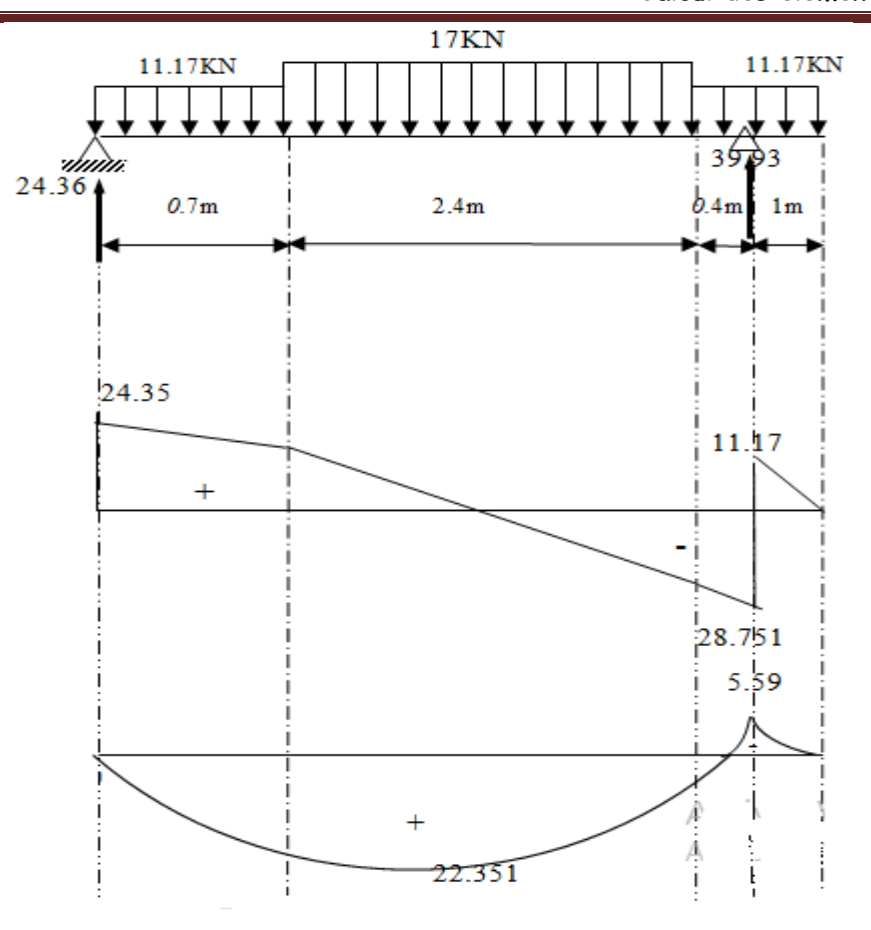


Figure III.6 : Diagrammes de moment fléchissant et de l'effort tranchant à l'ELU

Tableau III.2: Tableau récapitulatif des sollicitations

	M_0 (KN.m)	$M_a(KN.m)$	$M_t(KN.m)$	T _u (KN)
E.L.U	22.351	11.175	19	28.751
E.L.S	16.20	8.1	13.77	20.771

III.4.4.3 Calcule de ferraillage

- ***** Armatures longitudinales
- * Travée

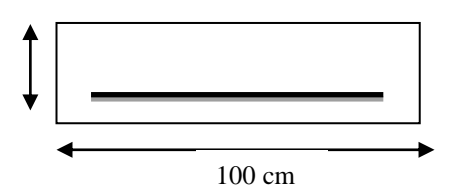
$$f_{bu} = \frac{0.85 * f_{c28}}{\gamma_b} = \frac{0.85 * 25}{1.5} = 14.2 MPA$$

$$f_s = \frac{f_e}{\gamma_h} = \frac{400}{1.5} = 348MPA$$

$$\mu = \frac{M_U}{b * d^2 * \overline{\sigma_b}} = \frac{19 \times 10^3}{14.2 \times (16.2^2 \times 100)} = 0.05 < 0.392$$

$$A'_{\mathfrak{s}}=0$$

Section simplement armé. d=16.2cm



$$\alpha = 1.25(1 - \sqrt{1 - 2u}) = 0.064$$

$$\beta = (1 - 0.4\alpha) = 0.97$$

$$A_s = \frac{M_u}{\beta \times d \times \sigma_s} = \frac{19 \times 10^3}{348 \times 0.97 \times 16.2} = 3.47 cm^2$$

Conditions non fragilité

$$A_{\min} = \max\left\{\frac{b \times h}{1000}, 0.23 \times bd \times \frac{f_{t28}}{f_e}\right\} = \max\left\{\frac{100 \times 18}{1000}, 0.23 \times 100 \times 16.2 \times \frac{2.1}{400}\right\} = \max\left\{1.8, 1.95\right\} cm^2$$

$$A_{\min} = 1.95cm^2 < 3.47cm^2$$

On prend $4HA12 \rightarrow A_s = 4.52 \text{ cm}^2$

Service Espacement:

$$S_t \le \min\{3ep, 33cm\} = 33cm$$

$$S_t = \frac{100}{4} = 25cm$$

* Armature de répartition.

$$A_r = \frac{A_s}{A} = \frac{4.52}{A} = 1.13 cm^2$$

On prend : $4HA8 = 2.01 \text{cm}^2$

***** Espacement entre les armatures

$$S_t \le \min\{4h, 45cm\} = \min\{64, 45\}$$

$$S_t \leq 45cm$$

$$S_t = 33cm$$

***** Ferraillage aux appuis

$$M_u = 11.175KN.m$$

$$\mu = \frac{11.175 \times 10^3}{14.2 \times 100 \times 16.2^2} = 0.03 < 0.392$$

$$A' = 0$$

$$\alpha = 1.25 \left(1 - \sqrt{1 - 2\mu}\right) = 0.038$$

$$\beta = (1 - 0.4\alpha) = 0.98$$

$$A_u = \frac{11.175 \times 10^3}{0.98 \times 348 \times 16.2} = 2.02 cm^2$$

Condition de fragilité

$$A_{\min} = \max\left\{\frac{b \times h}{1000}, 0.23 \times bd \times \frac{f_{t28}}{f_e}\right\} = \max\left\{\frac{100 \times 18}{1000}, 0.23 \times 100 \times 16.2 \times \frac{2.1}{400}\right\} = \max\left\{1.8, 1.95\right\} cm^2$$

$$A_{\min} = 1.95cm^2 \ge 2.02cm^2$$

On prend: $4HA10 = 3.14 \text{ cm}^2$

Espacement

$$S_t \le \min\{3ep, 33cm\} = 33cm$$
$$S_t = \frac{100}{4} = 25cm$$

Armature de répartition

$$A_r = \frac{A_s}{4} = \frac{3.14}{4} = 0.78cm^2$$

On prend : 3HA8; S=1.51cm²

Vérification à E.L.S

On vérifie que :
$$\sigma_b = \frac{M_{ser}}{I} y \le \overline{\sigma}_{bc}$$

$$\frac{b}{2} \times y^2 + h \times A'_s(y - c') - n \times A_s(d - y) = 0$$

$$Avec \rightarrow n = 15$$

$$h \times A'_{s} (y - c') = 0$$

Travée:

$$\frac{100}{2}y^2 - 15 \times 4.52(16.2 - y) = 0$$

$$50y^2 + 67.8y - 1098.36 = 0$$

$$\Delta = b^2 - 4ac$$

$$\sqrt{\Delta = 473.57}$$

$$y = 4.05cm$$

$$I = \frac{b \times y^3}{3} + n \times A_s (d - y)^2$$

$$I_{t} = \frac{100 \times 4.05^{3}}{3} + 15 \times 4.52(16.2 - 4.05)^{2} = 12223.14cm^{4}$$

$$\sigma_b = \frac{13.77 \times 10^5 \times 4.05}{12223.14.10^2} = 4.56MPa < \overline{\sigma}_b = 15 MPa \implies OK$$

Tableau III.3: Vérification des contraintes à l'ELS.

	Mser (KN.m)	As (cm ²)	Y (cm)	I (cm ⁴)	σ_{bc} (MPa)	$\sigma_b \le \overline{\sigma}_b$
Travée	13.77	4.52	4.05	12223.14	4.56	
Appuis	8.1	3.14	3.46	9025.41	3.10	CV

Vérification de la contraint de cisaillement

$$T_{\text{max}} = 28.751KN$$
 $\tau_u \le \overline{\tau_u}$

$$\tau_u = \frac{v_u}{b \times d} = \frac{28.751 \times 10^3}{162 \times 1000} = 0.177MPA$$

❖ La fissuration est considérai comme peu préjudiciable

$$\overline{\tau_u} = \min \left\{ 0.2 \times \frac{f_{c28}}{\gamma_b}; 5MPa \right\} = \min \left\{ 3.33MPa; 5MPa \right\}$$
 $\tau_u = 0.177 < 3.33 \rightarrow CV$

Vérification de la flèche

La vérification de la flèche n'est pas nécessaire si les conditions suivantes sont vérifiées(B.A.E.L.91modifié99) :

$$\frac{h}{l} \ge \frac{18}{16} \Rightarrow \frac{18}{450} = 0.04 \le 0.0625 \to CNV$$

$$\frac{h}{l} \ge \frac{M_T}{10M_0} \Rightarrow 0.04 \ge \frac{19}{10 \times 22.351} \Rightarrow 0.04 \le 0.085 \to CNV$$

$$\frac{A}{b.d} \le \frac{4.2}{f_e} \Leftrightarrow \frac{A}{b.d} = \frac{4.52}{100*16.2} = 0.0027 \le \frac{4.2}{f_e} = 0.0105 \to CV$$

Comme les conditions (1) et (2) ne sont pas vérifiées, donc on doit vérifier la condition :

$$f = \frac{M_t \times {l_0}^2}{10E_i \times I_f} \le \overline{f} = \frac{l}{500}$$

Ei:module instantané de béton (Ei= 32164.2MPa)

I_{fi}: l'inertie fissurée

$$I_{fi} = \frac{1.1I_0}{1 + \lambda_i \mu} \Rightarrow \mu = 1 - \frac{1.75 f_{t28}}{4\rho\sigma_s + f_{t28}} \Rightarrow \lambda_i = \frac{0.05 f_{t28}}{\rho(2 + 3\frac{b_0}{h})}$$

$$\lambda_i = 7.77 \Rightarrow \mu = 0.196 \Rightarrow I_{fi} = 22722.17 \Rightarrow f = 0.38 \prec 0.9 cm.....cv$$

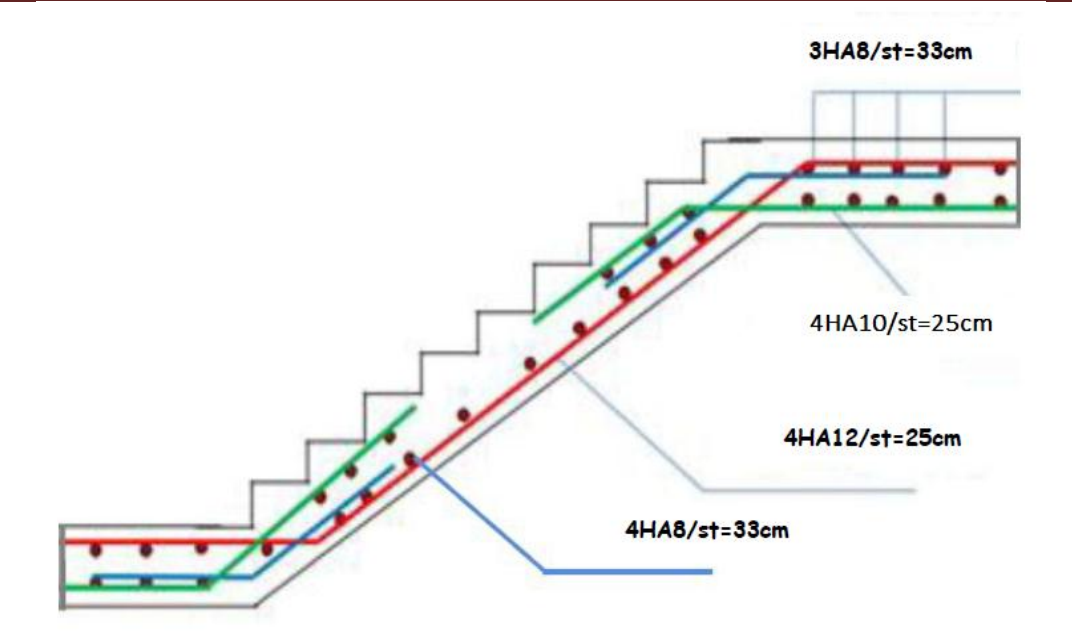


Figure III.7: Schéma de ferraillage d'escalier.

III.5 Etude de la poutre palière

III.5.1 Définition

La poutre palière est destinée à supporter son poids propre, poids du mur et la réaction du palier, Elle est partiellement encastrée dans les poteaux.

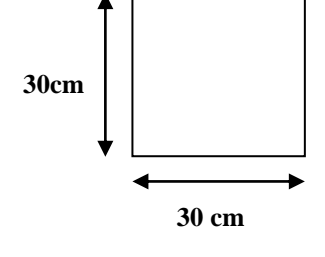
Sa portée est de 3.40m.

III.5.2 Pré dimensionnement

• D'après le BAEL

$$\frac{L}{15} \le h \le \frac{L}{10}$$

$$\frac{340}{15} \le h \le \frac{340}{10}$$



$$22.66 \le h \le 34 \Longrightarrow h = 30cm$$

$$0.3h \le b \le 0.7h \Longrightarrow b = 30cm$$

Les dimensions des poutres doivent respecter l'article 7.5.1 du RPA99/ version 2003 suivant :

• D'après le RPA

$$b \ge 20cm \Rightarrow b = 30cm \Rightarrow cv$$

 $h \ge 30cm \Rightarrow h = 30cm \Rightarrow cv$
 $1 \le \frac{h}{b} \le 4 \Rightarrow \frac{h}{b} = 1 \Rightarrow cv$

On adopte une section de (30*30) cm²

III.5.3 Evaluation des charge

Poids propre de la poutre :

$$G_{poutre} = 0.30 \times 0.30 \times 25 = 2.25 \, KN / ml$$

Charge linéaire du palier :

$$R = 39.93 \, kN/ml$$

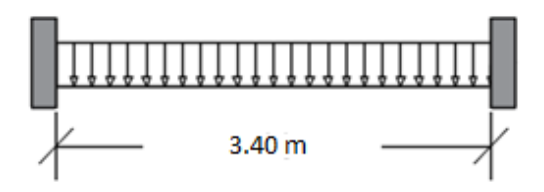


Figure III.8: Evaluation des charges.

- Réaction d'escalier ou niveau du palier

E.L.U:

$$R_B = 39.93KN$$

E.L.S :

$$R_{\scriptscriptstyle B}=28.80KN$$

-Calcul des moments et l'effort tranchants

ELU

$$q_u = 42.36KN/m$$

Travée :
$$M_{tu} = \frac{q_u \times l^2}{24} = 20.40 \text{KN. m}$$

$$M_{tu} = 20.40$$
KN. m

Appui :
$$M_{au} = \frac{q_u \times l^2}{12} = 40.80 \text{KN. m}$$

$$M_{au} = 40.80$$
KN. m

$$T_u = \frac{q_u \times l}{2} = \frac{35.14 \times 3.4}{2} = 72.01KN$$

ELS

$$q_s = 31.05KN/ml$$

Travée :
$$M_{ts} = \frac{q_s \times l^2}{24} = 14.95 \text{ KN. m}$$

$$M_{ts} = 14.95 \text{ KN/m}$$

Appui :
$$M_{as} = \frac{q_s \times l^2}{12} = 29.91 \text{KN. m}$$

$$M_{as} = 29.91 \text{KN. m}$$

$$T_s = \frac{q_s \times l}{2} = \frac{25.48 \times 3.4}{2} = 52.78 \text{ KN}$$

III.5.4 Ferraillage à l'état limite ultime

a. Armatures longitudinales

h = 30 cm; d = 0,9h = 27 cm; c = 0,1h = 3 cm;
$$\sigma_b$$
 = 14,2 MPa

a.1En travée

$$M_{\text{tu}} = 20.40 \text{ KN. m}$$

$$\mu = \frac{M_t}{b*d^2*\sigma_{bc}} = \frac{20.40 \times 10^3}{30 \times 27^2 \times 14.2} = 0.065 < 0.392$$

$$\mu = 0.065 < \mu_{c} = 0.186 \Rightarrow \text{Pivot A}$$

$$\mu_{\rm bu} = 0.065 \le \mu_{AB} = 0.186 \quad \Rightarrow \text{Pivot A}$$

$$\mu_{\rm bu} = 0.065 \le \mu_1 = 0.392 \longrightarrow A'' = 0$$

$$\alpha_{\rm u} = 1.25(1 - \sqrt{1 - 2\mu_{\rm bu}}) \Rightarrow \alpha_{\rm u} = 1.25(1 - \sqrt{1 - 2 \times 0.065}) = 0.084$$

$$Z = d (1 - 0.4\alpha_{11})$$
 $\Rightarrow z = 270 (1 - 0.4 \times 0.084) = 260.93 mm$

$$A_{s} = \frac{M_{tu}}{Z \times \frac{f_{e}}{\gamma_{s}}} = \frac{20.40 \times 10^{6}}{260.93 \times \frac{400}{1.15}} = 224 \text{ mm}^{2} \rightarrow A_{s(calcul\acute{e})} = 2.24 \text{ cm}^{2}$$

-Condition de non fragilité

$$A_{min} \ge 0.23 \times b \times d \frac{f_{t28}}{f_e}$$

$$f_{t28} = 0.6 + 0.06 f_{c28} = 2.1$$

$$A_{min} \ge 0.23 \times 30 \times 27 \times \frac{2.1}{400} = 0.98 \text{ cm}^2$$

$$A_{min} = 0.98 \text{ cm}^2$$

Donc
$$A_s = max(A_{cal} = 2.24 \text{ cm}^2; A_{min} = 0.98 \text{ cm}^2)$$

On adopte : 3HA12 soit $A_s = 3.39$ cm²

a.2 Sur appuis

$$M_{au} = 40.80 \text{KN. m}$$

$$\mu = \frac{M_a}{b*d^2*\sigma_{bc}} = \frac{40.80 \times 10^3}{30 \times 27^2 \times 14.2} = 0.131 < 0.392$$

$$\mu_{bu} = 0.131 \le \mu_{AB} = 0.186 \rightarrow Pivot A.$$

$$\mu_{\rm bu} = \ 0.131 \ \le \mu_1 = \ 0.392 \quad \ \rightarrow A'' = \ 0.$$

$$\alpha_{\rm u} = 1.25(1 - \sqrt{1 - 2\mu_{\rm bu}})$$
 $\rightarrow \alpha_{\rm u} = 1.25(1 - \sqrt{1 - 2 \times 0.131}) = 0.176$

$$Z = d(1 - 0.4\alpha_u) \rightarrow Z = 270(1 - 0.4 \times 0.176) = 250.99 \text{ mm}$$

$$A_{s} = \frac{M_{tu}}{Z \times \frac{f_{e}}{\gamma_{s}}} = \frac{40.80 \times 10^{6}}{250.99 \times \frac{400}{1.15}} = 467 \text{ mm}^{2} \rightarrow A_{s(calcul\acute{e})} = 4.67 \text{cm}^{2}$$

-Condition de non fragilité

$$A_{min} \ge 0.23 \ b \ d \frac{f_{t28}}{f_e}$$

$$f_{t28} = 0.6 + 0.06 f_{c28} = 2.1 \text{ MPa}.$$

$$A_{\min} \ge 0.23 \times 30 \times 27 \times \frac{2.1}{400} = 0.98 \text{ cm}^2$$

Donc
$$A_s = max(A_{cal} = 4.67 \text{ cm}^2; A_{min} = 0.98 \text{ cm}^2)$$

On adopte: $6HA12 \text{ soit } A_s = 6.79 \text{cm}^2$

• Vérification de l'effort de tranchant « cisaillement »à la flexion simple :

$$\tau_u \leq \bar{\tau}_u$$

$$\tau_{\rm u} = \frac{T_{\rm u}}{\rm bd}$$

$$\tau_u = \frac{72.01 \times 10^3}{300 \times 270} = 0.889 \text{ MPa}$$

$$\tau_{\rm u} = 0.632 \text{ MPa}$$

-Fissuration peu nuisible

$$\bar{\tau}_{\rm u} = \min\left(\frac{0.2 f_{\rm c28}}{\gamma_{\rm b}}; 4 {\rm MPa}\right) = \bar{\tau}_{\rm u} = \min\left(3.33 {\rm MPa}; 4 {\rm MPa}\right) = 3.33 {\rm MPa}$$

$$\bar{\tau}_{\mathrm{u}} = 3.33 \, \mathrm{MPa}$$

$$\tau_{\rm u} = 0.889~{\rm MPa} \leq \bar{\tau}_{\rm u} = 3.33~{\rm MPa}$$
 vérifie.

Pas de risque de rupture par cisaillement, donc les armatures transversales ne sont pas nécessaires.

-Espacement

D'après CBA93 (Article A.5.1.2.2 et A.5.1.2.3)

$$S_t \le \min(0.9h; 40 \text{ cm}) = \min(27\text{cm}; 40 \text{ cm}) = 27 \text{ cm}$$

$$S_t = 15 \le 33 \text{ cm} \dots \text{Vérifié}$$

-Armatures transversales

$$A_{t} \ge \frac{0.4 \times b \times S_{t}}{f_{e}} = \frac{0.4 \times 30 \times 15}{400} \rightarrow A_{t} \ge 0.45 \text{cm}^{2}$$

$$A_t \geq \frac{b \times S_t \times \gamma_s(\tau_u - 0.3 \; f_{t28})}{0.9 \; f_e} = \frac{30 \, \times 15 \, \times 1.15 \, \times (0.889 \, - 0.3 \, \times 2.1)}{0.9 \, \times 400}$$

$$A_t \ge 0.37 \text{ cm}^2$$

$$A_t = \max(0.45; 0.37) = 0.45 \text{ cm}^2$$

III.5.5 Vérifications nécessaires

Vérification des contraintes à l'ELS

* En travée

$$\sigma_{bc} \le \overline{\sigma_{bc}}$$

$$\sigma_{bc} = \frac{M_{ser} \times y}{I}$$

$$\overline{\sigma_{bc}} = 0.6 f_{c28}$$

$$\overline{\sigma_{bc}} = 0.6 \times 25 = 15 \text{ MPa}$$

❖ En travée

 $\overline{\sigma_{bc}} = 15 \text{ MPa}$

$$M_{ts} = 14.95 \text{ KN. m}$$

-Position de l'axe neutre :

$$\eta = 15$$
 A_s = 0A_s = 3.39 cm²

$$\frac{1}{2}by^{2} + \eta(d - y)A_{s} - \eta(d - y)A_{s} = 0$$

$$\frac{1}{2} \times 30 \times y^{2} - 15 \times (27 - y) \times 3.39 = 0$$

$$15y^{2} + 50.85y - 1372.95 = 0$$

$$y = 8.02cm$$

-Moment d'inertie

$$I = \frac{1}{3} b y^3 + \eta (d - y)^2 A_s + \eta (d - y) A_s$$

$$I = \frac{1}{3} \times 30 \times 8.02^3 + 15 \times (27 - 8.02)^2 \times 3.39 = 23476.72 \text{ cm}^4$$

Donc:

$$\begin{split} \sigma_{bc} &= \frac{M_{ser} \times y}{I} = \frac{14.95 \times 10^6 \times 80.2}{23476.72 \times 10^4} = 5.10 \text{ MPa} \\ \sigma_{bc} &= 5.10 \text{MPa} \leq \overline{\sigma_{bc}} = 15 \text{ MPa ... vérifie.} \end{split}$$

Sur appuis

$$M_{as} = 29.91 \text{ KN. m}$$

-Position de l'axe neutre

y = 10.56 cm

$$\begin{split} \eta &= 15 \quad A_s = 0 \quad A_s = 3.39 \text{ cm}^2 \\ \frac{1}{2} b \, y^2 + \eta (d-y) A_s - \eta \, (d-y) \, A_s = 0 \\ \frac{1}{2} \times 30 \times y^2 - 15 \times (27-y) \, \times 6.79 \, = \, 0 \\ y^2 + \, 6.79 \, y - \, 183.33 = 0 \end{split}$$

-Moment d'inertie

$$I = \frac{1}{3} b y^{3} + \eta(d - y)^{2} A_{s} + \eta(d - y) A_{s}^{2}$$

$$I = \frac{1}{3} \times 30 \times 10.56^{3} + 15 \times (27 - 10.56)^{2} \times 6.79 = 39303.20 \text{ cm}^{4}$$

Donc:

$$\sigma_{bc} = \frac{M_{ser} \times y}{I} = \frac{29.91 \times 10^6 \times 105.6}{39303.20 \times 10^4} = 8.03 \text{ MPa}$$

$$\sigma_{bc} = 8.03 \text{ MPa} \leq \overline{\sigma_{bc}} = 15 \text{ MPa} ... \text{ v\'erifie}.$$

c. Vérification de la flèche

.Vérification de la flèche (BAEL 91(article B.6.5.1))

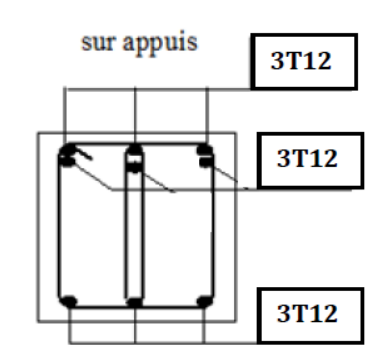
$$\begin{cases} \frac{h}{l} \ge \frac{1}{16} \\ \frac{h}{l} \ge \frac{M_t}{10 \text{ M}_0} \end{cases} \Rightarrow \begin{cases} \frac{0.30}{3.4} = 0.088 \ge \frac{1}{16} = 0.0625 & \text{CV} \\ \frac{0.30}{3.4} = 0.088 \ge \frac{M_t}{10 \text{ M}_0} = 0.033 & \text{CV} \\ \frac{A_s}{bd} \le \frac{4.2}{f_e} & \frac{3.39}{30 \times 27} = 0.0041 \le \frac{4.2}{400} = 0.0105 & \text{CV} \end{cases}$$

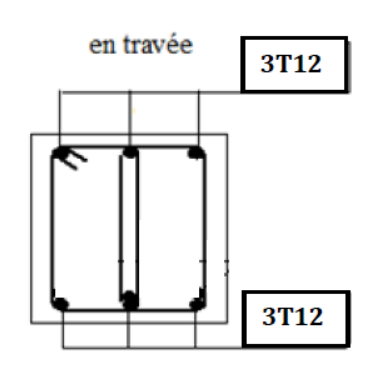
d. Vérification de la contrainte de cisaillement (effort tranchant)

Il faut vérifier que : $\tau_u = \frac{T_u}{b.d} \le \frac{T_u}{\tau_u} = \min \left\{ 0.2 \times \frac{f_{c28}}{\gamma_b} ; 5Mpa \right\} = \min \left\{ 3.33MPa; 5MPa \right\} = 3,33 MPa$

$$T_a = 111.49 \text{ kN}; \quad b = 30 \text{ cm}; \quad d = 27 \text{ cm}$$

$$\tau_u = \frac{111.49.10^3}{300 \times 270} = 1.37 \text{ MPa} < 3.33 \text{ MPa} \implies Ok$$





FigureIII.9 : Ferraillage de poutre palière

III.6 Calcul du plancher:

III.6.1 Définition:

Les planchers sont des éléments plans horizontaux supposes infiniment rigides leur plan. Ils ont pour rôle.

• Cheminement des charges aux éléments porteurs.

• Assure l'isolation des différents étages des points de la vue thermique et acoustique.

III.6.2 Calcul des planchers (poutrelles):

Pour le calcul des moments et d'efforts tranchants : On utilise les méthodes suivantes :

III.6.2.1 Méthode forfaitaire :

Domaine d'application :

- Fissuration n'est pas préjudiciable
- Les portes successives des travées dans un rapport $0.8 \ aarrange 1.25$; ($0.8 \le \frac{L_i}{L_{i+1}} \le 1.25$)
- Les éléments d'inertie dans les sections transversales sont les mêmes
- La charge d'exploitation est au plus égale à deux fois la charge permanente ou à 5 KN/m²

Application de la méthode :

Soit :
$$M_0 = \frac{qL^2}{8}$$
 : Moment fléchissent de la poutre isostatique.
$$\alpha = \frac{Q_B}{Q_B + G}$$

Les moments:

- Les moments en travées :
- **>** Pour les travées de rive:

$$M_{t} + \left(\frac{M_{w} + M_{e}}{2}\right) \ge \max\left[\left(1 + 0.3\alpha\right)M_{0}; 1.05M_{0}\right]$$
 $M_{t} \ge \frac{1.2 + 0.3\alpha}{2}M_{0}$

Pour les travées intermédiaires :

$$M_{t} + \left(\frac{M_{w} + M_{e}}{2}\right) \ge \max\left[\left(1 + 0.3\alpha\right)M_{0}; 1.05M_{0}\right]$$

$$M_{t} \ge \frac{1 + 0.3\alpha}{2}M_{0}$$

• Les moments en appuis :

Pour une poutre à deux travées :

 $0.15M_0$: Pour les appuis de rive

$$\begin{array}{ccc}
0.15 \, M_0 & & 0.15 \, M_0 \\
\triangle & \triangle & \triangle
\end{array}$$

 $0.6M_0$: Pour une poutre à deux travées

$$\Delta$$
 Δ Δ

 $0.5M_{\scriptscriptstyle 0}$: Pour les appuis de rive pour une poutre $\rangle 2$ travées

$$\Delta$$
 Δ Δ Δ Δ

 $0.4M_{\odot}$: Pour les appuis intermédiaires pour une poutre 3 travées

$$egin{array}{ccccc} 0.5\,M_{ heta} & 0.4\,M_{ heta} & 0.5\,M_{ heta} \ igtriangleq & igtriangle$$

L'effort tranchant:

$$T_{w} = \frac{qL}{2} + \left| \frac{M_{w} - M_{e}}{L} \right|$$

$$T_e = \frac{-qL}{2} + \left| \frac{M_w - M_e}{L} \right|$$

III.6.2.2 Méthode Caquot:

Application de la méthode :

Les moments:

• Les moments en appuis :

• Appuis de rive : $M_A = M_H = 0$

■ Appuis intermédiaires : $M_{appuis} = \frac{q_w l_w^{'3} + q_e l_e^{'3}}{8.5(l_w^{'} + l_e^{'})}$

Avec : l = l pour les deux travées de rive l = 0.8l Pour les travées d'intermédiaires

• Les moments en travée :

$$M(x) = \frac{-qx^2}{2} + \frac{ql}{2}x + M_w + \frac{M_e - M_w}{L}X$$

Avec:
$$T(x) = 0 \Rightarrow X = \frac{l}{2} + \frac{M_e - M_w}{qL}$$

Les efforts tranchants :

$$T(x) = \frac{ql^2}{2} - qx + \frac{M_e - M_w}{L}$$

Avec:
$$T_{w}(x=0) = \frac{ql}{2} + \frac{M_{e} - M_{w}}{L}$$

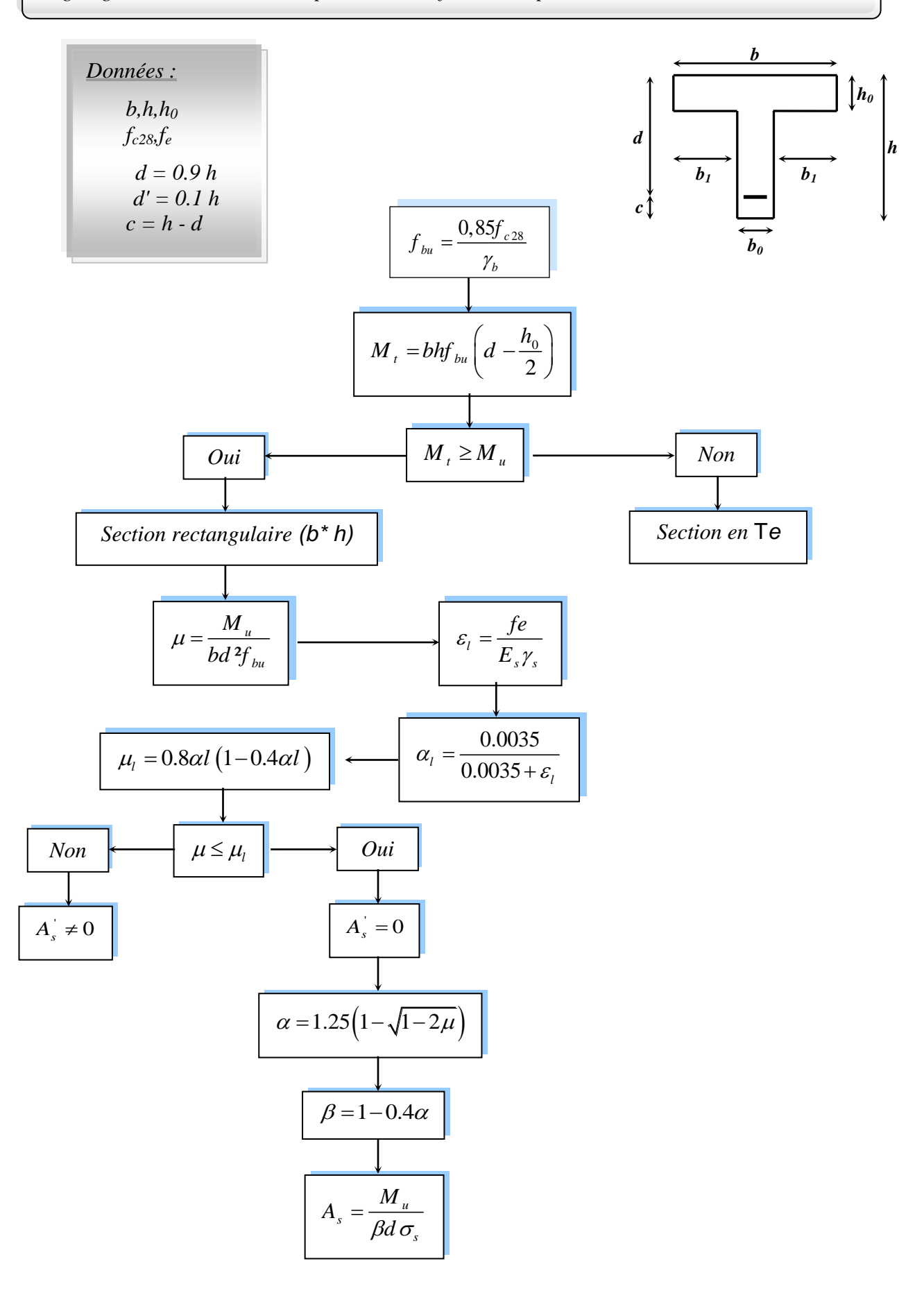
 $T_{w}(x=l) = \frac{-ql}{2} + \frac{M_{e} - M_{w}}{L}$

 M_e ; M_w : Sont des moments des appuis à droite et à gauche de la travée considérée

III.6.2.3Ferraillage:

Les poutrelles sont ferrailles à la flexion simple, avec une fissuration peu nuisible organigramme de la flexion simple (section en T)

Organigramme de calcul de la poutrelle à la flexion simple avec FPN -section en Te-



a.Condition de non fragilité:

$$A_{s} \ge A_{\min} = \frac{0,23 \times bdf_{t28}}{f_{e}}$$

b. Vérification de contrainte :

$$\sigma_{bc} \le \overline{\sigma}_{bc}$$
Avec: $\sigma_{bc} = \frac{M_{ser}}{I} y$ et $\overline{\sigma}_{bc} = 0.6 f_{c28}$

$$by^{2} + 30 (A_{s} + A_{s}^{'}) y - 30 (dA_{s} + dA_{s}^{'}) = 0$$

$$I = \frac{b}{3} y^{3} + 15 \left[A_{s} (d - y)^{2} + A_{s}^{'} (y - d^{'})^{2} \right]$$

c. Condition de cisaillement :

Pour éviter le risque de cisaillement il faut que :

$$\tau_{u} \leq \overline{\tau}_{u}$$

$$A \text{vec: } \tau_{u} = \frac{V_{u}}{bd}$$

$$\overline{\tau}_{u} = \min(0.13f_{c,28}, 4MPa)$$

d. Espacement:

$$S_t \leq S_t^{\max}$$

Avec:
$$S_t^{\text{max}} \leq \min(0.9d, 40cm)$$

e.Vérification de flèche:

$$\frac{h}{L} \ge \frac{1}{16}$$

$$\frac{A}{bd} \le \frac{4,2}{f_e}$$

$$\frac{h}{L} \ge \frac{M_t}{10 \times M_0}$$

Si les trois conditions ne sont pas vérifiées la flèche est nécessaire d'après le BAEL 91 : Pour les flèches dues aux charges instantanées :

$$f_i = \frac{ML^2}{10E_i I_{fi}} \text{ où } I_{fi} = \frac{1.1I_0}{1 + \lambda_i \mu} \quad \text{ et } \quad \lambda_i = \frac{0.05 f_{c28}}{\rho \left(2 + 3\frac{b_0}{b}\right)} \text{ et } \mu = 1 - \frac{1.75 f_{t28}}{4\rho \sigma_s + f_{t28}}$$

Pour les flèches dues aux charges de longue durée :

$$f_{v} = \frac{ML^{2}}{10E_{v}I_{fv}}$$
 où $I_{fv} = \frac{1.1I_{0}}{1 + \lambda_{v}\mu}$ et $\lambda_{v} = \frac{0.02f_{t28}}{\rho\left(2 + 3\frac{b_{0}}{b}\right)} = 0.4\lambda_{i}$ avec $\rho = \frac{A_{s}}{b_{0}d}$

La flèche totale à comparer aux valeurs admissible vaut :

$$\Delta f_t = f_{gv} - f_{ii} + f_{pi} - f_{gi}$$

La flèche admissible est :

$$\overline{f} = \frac{L}{500} \operatorname{si} L \prec 5m$$

$$\overline{f} = 0.5 + \frac{L}{1000} \operatorname{Si} L \succ 5m$$

III.6.2.4Vérification des conditions de la méthode forfaitaire

- 1) Plancher à surcharge modérée : $Q \le max(2G; 5KN/m^2)$
- ✓ Plancher terrasse inaccessible : $G = 6.85 \text{ KN/m}^2$

$$\mathbf{Q} = \max(2 \times 6.85; 5\text{KN/m}^2) = \max(13.7; 5\text{KN/m}^2)$$

 $\mathbf{Q} = 1 \text{KN/m}^2 < 13.7 \dots Condition vérifiée.$

✓ Plancher étage courant : $G = 5.23 \text{ KN/m}^2$

$$\mathbf{Q} = \max(2 \times 5.23; 5\text{KN/m}^2) = \max(10.46; 5\text{KN/m}^2).$$

 $\mathbf{Q} = 1.5\text{KN/m}^2 < 10.46 \dots Condition vérifiée.$

- 2) Les moments d'inerties elles sont constantes.
- 3) La fissuration est peut nuisible.
- 4) Le rapport : $0.8 \le \frac{L_i}{L_{i+1}} \le 1.25$.

Fissuration ns sont considérées comme peu préjudiciables puisque les planches sont protégéesCV Absence de charge rapidement variable dans le temps et de position...CV

$$0.8 \le \frac{3.70}{4.10} = 0.90 \le 1.25$$
 ... condition vérifiée.

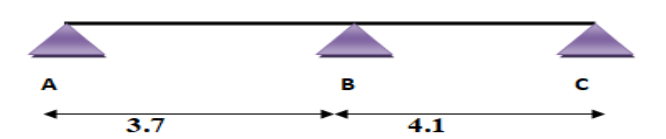
Tous les conditions sont vérifiées donc on applique la méthode forfaitaire

III.6.2.5 Types des poutrelle :

Dans notre projet on a deux type de poutrelle à étudier.

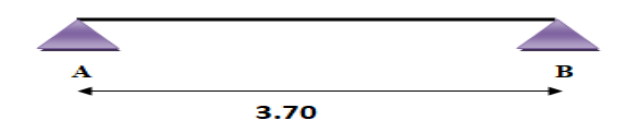
a. Plancher terrasse:

Type 1 : Poutrelle sur trois appuis avec deux travée



b. Etage courant + RDC:

Type 1 :Poutrellesur deux appuis avec une seule travée.



Type 2 :Poutrelle sur trois appuis avec deux travées.

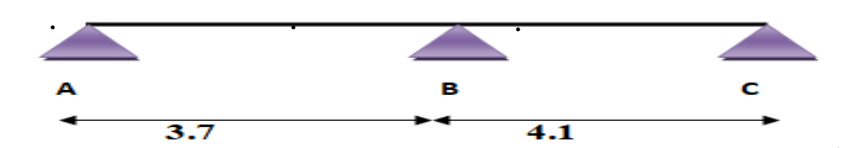
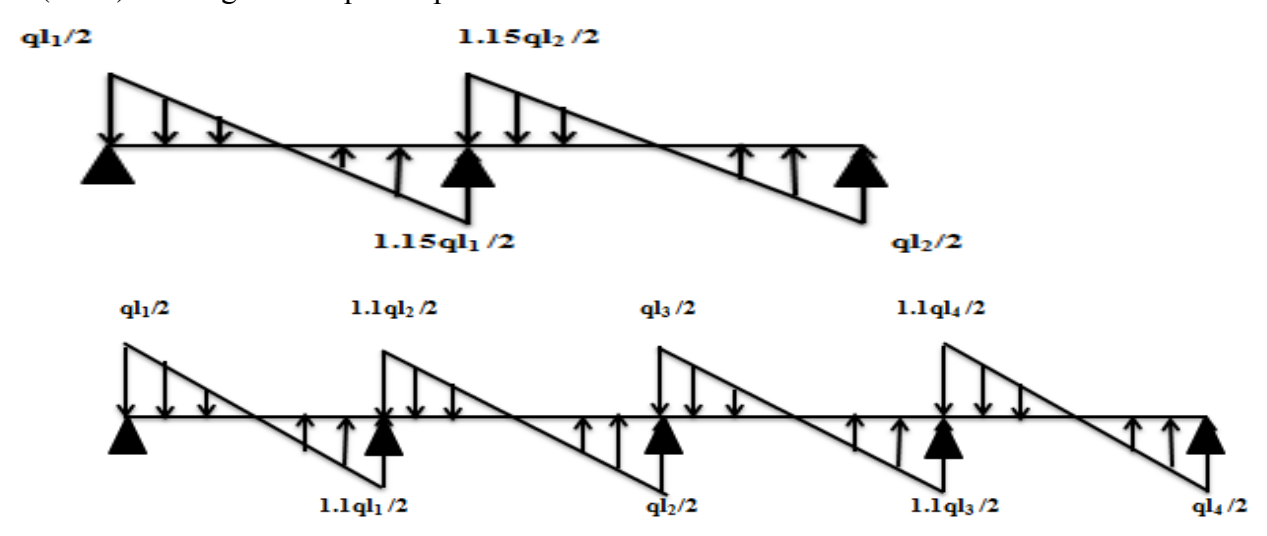


Figure III.10: Evaluation des moments fléchissant.

Exemple de calcul:

On prend comme un exemple de calcul le type 1 de plancher terrasse par la méthode forfaitaire.

- Evaluation des efforts tranchants:Les efforts tranchants sont évalués soit forfaitairement en supposant la discontinuitéentre les travées, dans ce cas les efforts tranchants hyperstatiques sontconfondue mêmeavec les efforts tranchants isostatiques sauf pour les premiers appuis intermédiaires (voisin de rive).
- L'effort tranchant isostatique doit être majoré de:
- * (15 %) s'il s'agit d'une poutre deux travées.
- * (10 %) s'il s'agit d'une poutre plus de deux travées.



FigureIII.11: Evaluation des efforts tranchants.

Plancher terrasse:

$$\alpha = \frac{Q}{Q+G} = \frac{1}{1+6.85} = 0.13$$

$$\frac{1 + 0.3\alpha = 1 + (0.3 \times 0.13) = 1,04}{\frac{(1.2 + 0.3\alpha)}{2}} = \frac{(1.2 + (0.3 \times 0.13))}{2} = 0.62$$

$$\frac{(1 + 0.3\alpha)}{2} = \frac{(1 + (0.3 \times 0.13))}{2} = 0.52$$

Plancher étage :

$$\alpha = \frac{Q}{Q+G} = \frac{1.5}{1.5+5.23} = 0.22$$

$$1+0.3\alpha = 1+(0.3\times0.22) = 1,066$$

$$\frac{(1.2+0.3\alpha)}{2} = \frac{(1.2+(0.3\times0.22))}{2} = 0.6633$$

$$\frac{(1+0.3\alpha)}{2} = \frac{(1+(0.3\times0.22))}{2} = 0.533$$

III.6.2.6 Evaluation des charges :

a) Plancher terrasse:

$$G = 6.85KN / m^{2}$$

$$Q = 1KN / m^{2}$$

$$\begin{cases} g = 6.85 \times 0.65 = 4.45KN / ml \\ q = 1 \times 0.65 = 0.65KN / ml \end{cases}$$

b) Plancher étage :

$$G = 5.23KN / m^{2}$$

$$Q = 1.5KN / m^{2}$$

$$\begin{cases} g = 5.23 \times 0.65 = 3.40KN / ml \\ q = 1.5 \times 0.65 = 0.98KN / ml \end{cases}$$

III.6.2.7Combinaisons d'action:

ELU:
$$P_u = 1.35g + 1.5q$$

ELS:
$$P_s = g + q$$

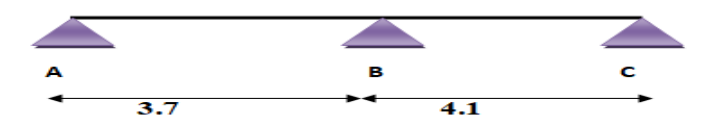
Tableau III.4: Combinaisons d'action

Désignations	Terrasse	Etage
ELU	6.98	6.06
ELS	5.10	4.38

III.6.3Détermination des sollicitations des planchées:

III.6.3.1 Plancher terrasse

Poutrelle type 1: qui est à une 2 travée.



ELU:

Travée	L(m)	P _U (KN)	$\mathbf{M_0}$	M_{g}	M_d	$\mathbf{M_t}$	T_{g}	T_d
AB	3.7	6.98	11.94	1.791	7.164	8.06	12.913	14.85
BC	4.10	6.98	14.66	8.796	2.20	9.895	16.45	14.309

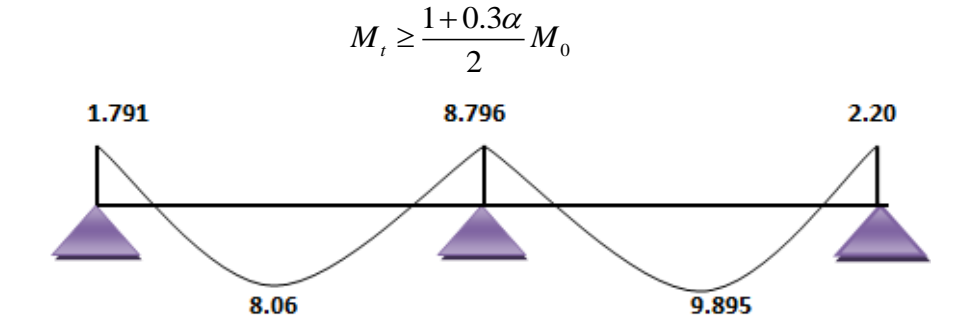
• Les moments en travées :

Pour les travées de rive :

$$M_{t} + \left(\frac{M_{w} + M_{e}}{2}\right) \ge \max\left[\left(1 + 0.3\alpha\right)M_{0}; 1.05M_{0}\right]$$
 $M_{t} \ge \frac{1.2 + 0.3\alpha}{2}M_{0}$

Pour les travées intermédiaires :

$$M_{t} + \left(\frac{M_{w} + M_{e}}{2}\right) \ge \max\left[\left(1 + 0.3\alpha\right)M_{0}; 1.05M_{0}\right]$$



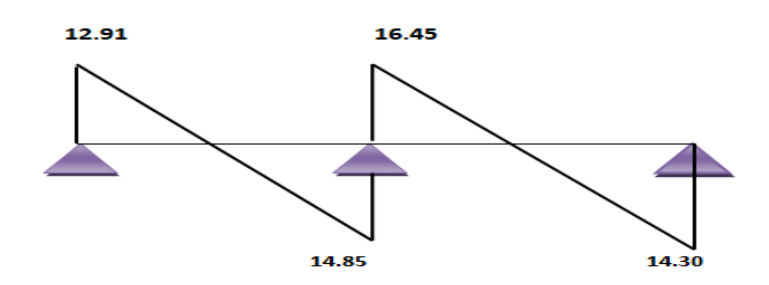


Figure III.12: Evaluation des moments et efforts tranchants type 01 (Plancher terrasse).

ELS:

Travée	L (m)	P _s (KN)	\mathbf{M}_{0}	$\mathbf{M_{g}}$	$\mathbf{M_d}$	M_t	T_{g}	T_d
AB	3.7	5.10	8.73	1.31	5.24	5.89	9.435	10.85
BC	4.10	5.10	10.71	6.426	1.606	7.23	12.023	10.45

III.6.3.2 Etage courant + RDC:

Poutrelle type 2:poutrelle sur 3 appuis a 2 travées



ELU:

Travée	L (m)	$P_{U}(KN)$	\mathbf{M}_{0}	$\mathbf{M_g}$	$\mathbf{M_d}$	$\mathbf{M_t}$	T_{g}	T_d
AB	3.7	6.06	10.37	1.55	6.22	7.17	11.21	12.89
BC	4.1	6.06	12.73	7.638	7.64	1.91	8.80	12.42

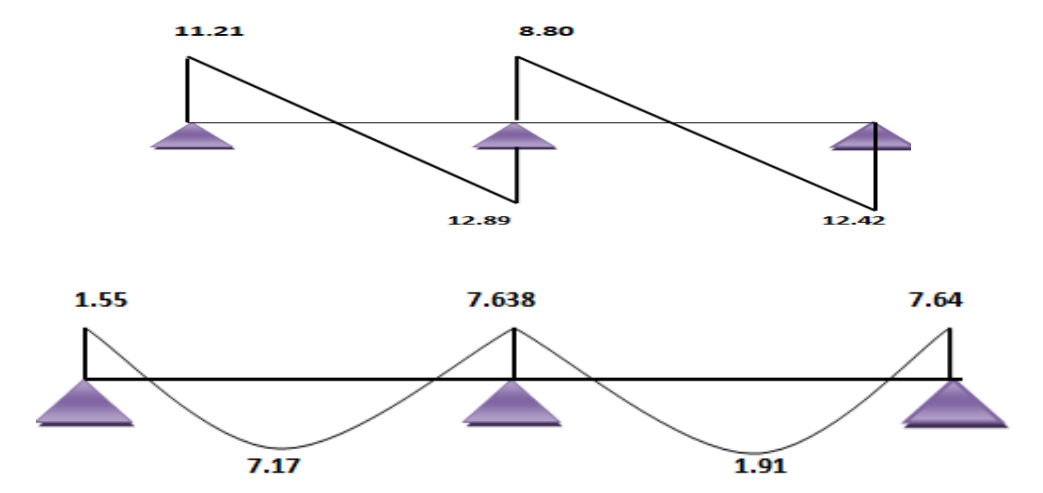


Figure III.13: Evaluation des moments et efforts tranchants type 01 (Etage courant).

ELS:

Travée	L (m)	$P_{s}(KN)$	\mathbf{M}_{0}	M_{g}	M_d	M_t	T_{g}	T_d
AB	3.7	4.38	7.49	1.123	4.50	5.171	8.103	9.318
BC	4.1	4.38	9.20	5.52	1.38	6.35	10.32	8.979

III.6.4 Ferraillage des poutrelles :

Les armatures seront calculées sous les sollicitations les plus défavorables et le calcul est conduit pour une section en Té soumise à la flexion simple.

a. Plancherterrasse:

Poutrelle de (type 01) donne les moments et efforts tranchants maximales.
 Tableau III.5 :Lessollicitationsles plusdéfavorablesdespoutrelles.

	$M_{0 \text{ max}}(KN.m)$	M _{t max}	M _{amax}	$T_{max}(KN)$
ELU	14.66	9.89	8.79	16.45
ELS	10.71	7.23	6.426	12.023

ELU:

Calcule de moment résistant de la section en T:

Par conséquent, seule une partie de la table est comprimée et la section en Té sera calculée comme une section rectangulaire de largeur b= 65cm et de hauteur d= 18cm.

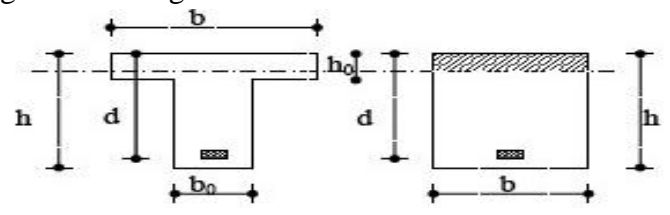


Figure III.14 : Coupe de Section Rectangulaire et Section en T.

Travée:

$$\mu = \frac{M_t}{d_0 \times b \times d^2} = \frac{9.89 \times 10^6}{14.2 \times 650 \times 180^2} = 0.033 < 0.392$$

Donc les armatures comprimées sont pas nécessaire A'=0

$$\alpha = 1.25(1 - \sqrt{1 - 2\mu}) = 0.042$$

$$Z = d(1 - 0.4\alpha) = 18(1 - 0.4 \times 0.042) = 17.70cm = 177mm$$

$$A_u = \frac{9.89 \times 10^3}{0.177 \times 348} = 160.56 mm^2 = 1.605 cm^2$$

Appuis:

Le moment sur appui est négatif, donc le béton de la dalle se trouve dans la zone tendue, alors nous considérons une section de largeur b_0 = 10 cm.

$$\mu = \frac{M_a}{\delta_b \times b \times d^2} = \frac{8.796 \times 10^6}{14.2 \times 100 \times 180^2} = 0.191$$

$$\alpha = 0.26$$

$$Z = 16.13cm$$

$$A = \frac{8.79 \times 10^3}{0.1613 \times 348} = 1.56cm^2$$

M _a (N.m)	μ	μ_l	α	Z	A(cm ²)
8.796	0.191	0.392	0.267	16.13	1.56

Vérification de la l'effort tranchant :

$$\tau_{\mu} = \frac{T_{u}}{d \times b_{0}} = \frac{16.45 \times 10^{3}}{180 \times 100} = 0.91 MPa$$

$$\overline{\tau}_u = 3.3MPa$$

$$\tau_{\mu} < \overline{\tau_{u}}$$
......cv

Conditions non fragilité

Travée :

$$\begin{split} A_{\min} &= \max \left\{ \frac{b \times h}{1000}; 0.23 \times bd \times \frac{f_{t28}}{f_e} \right\} = \max \left\{ \frac{65 \times 20}{1000}; 0.23 \times 65 \times 18 \times \frac{2.1}{400} \right\} = \max \left\{ 1.3, 1.41 \right\} cm^2 \\ A_{\min} &= 1.41 cm^2 \end{split}$$

Appui:

$$A_{\min} = \max\left\{\frac{b \times h}{1000}; 0.23 \times bd \times \frac{f_{t28}}{f_e}\right\} = \max\left\{\frac{10 \times 20}{1000}; 0.23 \times 10 \times 18 \times \frac{2.1}{400}\right\} = 0.21cm^2$$

	$\mathbf{A_c}$	A _{min}	A _{max}	$\mathbf{A_d}$
Travée	1.60	1.41	1.60	3HA10=2.36
Appui	1.56	0.21	1.56	2HA10=1.57

b. Plancher étage courant+ RDC :

• Poutrelle de (type 02) donne les moments et efforts tranchants maximales.

Tableau III.6: Lessollicitations les plus défavorables des poutrelles

	M _{0 max} (KN.m)	M _{t max}	M _{amax}	T _{max} (KN)
ELU	12.73	8.80	7.64	14.28
ELS	9.20	6.35	5.52	10.32

ELU:

Calcule de moment résistant de la section en T:

$$M_0 = \overline{\delta_b} \times b \times h_0 (d - \frac{h_0}{2}) = 14.2 \times 65 \times 4 \times (18 - \frac{4}{2}) = 59072 N.m$$

 $M_{t \text{max}} = 8530 < 59072 N.m$

Travée:

$$\mu = \frac{M_t}{\delta_b \times b \times d^2} = \frac{8.80 \times 10^6}{14.2 \times 650 \times 180^2} = 0.029 < 0.392$$

Donc les armatures comprimées sont pas nécessaire A'=0

$$\alpha = 1.25(1 - \sqrt{1 - 2\mu}) = 0.037$$

$$Z = d(1 - 0.4\alpha) = 18(1 - 0.4 \times 0.037) = 17.73cm = 177.3mm$$

$$A_u = \frac{8.80 \times 10^3}{0.1773 \times 348} = 142.62mm^2 = 1.43cm^2$$

Appuis:

Le moment sur appui est négatif, donc le béton de la dalle se trouve dans la zone tendue, alors nous considérons une section de largeur b_0 = 10 cm.

$$\mu = \frac{M_a}{\delta_b \times b \times d^2} = \frac{7.64 \times 10^6}{14.2 \times 100 \times 180^2} = 0.025 \times 0.392$$

$$\alpha = 0.031$$

$$Z = 17.77 cm$$

$$A = \frac{7.64 \times 10^3}{0.177 \times 348} = 1.23 cm^2$$

$M_a(N.m)$	μ	μ_l	α	Z	A(cm ²)
7.64	0.025	0.392	0.031	17.77	1.23

Vérification de la l'effort tranchant :

$$\tau_{\mu} = \frac{T_{u}}{d \times b_{_{0}}} = \frac{14.28 \times 10^{3}}{180 \times 100} = 0.79MPA$$

$$\bar{\tau}_{u} = 3.3MPA$$

$$\tau_{u} < \bar{\tau}_{u}$$

Donc les armatures transversales ne sont pas nécessaires :

Conditions non fragilité

Travée:

$$A_{\min} = \max\left\{\frac{b \times h}{1000}; 0.23 \times bd \times \frac{f_{t28}}{f_e}\right\} = \max\left\{\frac{65 \times 20}{1000}; 0.23 \times 65 \times 18 \times \frac{2.1}{400}\right\} = \max\left\{1.3, 1.41\right\} cm^2$$

$$A_{\min} = 1.41cm^2$$

Appui:

$$A_{\min} = \max\left\{\frac{b \times h}{1000}; 0.23 \times bd \times \frac{f_{t28}}{f_e}\right\} = \max\left\{\frac{10 \times 20}{1000}; 0.23 \times 10 \times 18 \times \frac{2.1}{400}\right\} = 0.21cm^2$$

Tableau III.7: Tableau récapitulatif des résultats.

	A _c	A _{min}	A _{max}	$\mathbf{A_d}$
Travée	1.42	1.41	1.42	3HA10=2.36
Appui	1.23	0.21	1.23	2HA10=1.57

* Armature de répartition :

$$\phi_t \leq \min(\frac{h}{35}, \frac{b_0}{10}, \phi_{l \min})$$

$$\phi_t = 6mm$$

Travée:

$$A_t = \frac{A_{\text{max}}}{4} = \frac{2.36}{4} = 0.59cm^2$$

Appui:

$$A_a = \frac{A_{\text{max}}}{\Delta} = \frac{1.57}{\Delta} = 0.39 cm^2$$

On adopte : **3HA6= 0.85 cm²**

❖ Vérification des armatures longitudinales en partie basses de l'appui :

L'effort de traction dans ces aciers équilibre l'effort tranchant Tu, diminué de l'effet du moment qui vient les comprimer.

Donc
$$F_{st} = |Tu| - \frac{M_u}{Z}$$
 avec z =0.9d.

$$\begin{split} F_{st} &= \left| Tu \right| - \frac{M_u}{0.9d} donc : \begin{cases} \sin|\mathrm{Mu}| \geq \mathrm{O.9d} \times \mathrm{Tu} \text{ les efforts Tu sont négligeable} \\ \sin|\mathrm{Mu}| &< \mathrm{O.9d} \times \mathrm{Tu} : \end{cases} \\ &\leq \frac{\gamma s.((|\mathrm{Tu}|) - |\mathrm{Mu}| \ 0.9d}{\mathrm{fe}} \end{split}$$

 $6.26 > 0.9 \times 0.18 \times 11.9 = 1.93 \dots CV$ (donc les efforts Tu es négligeables).

❖ Vérification de la profondeur minimale d'appui :

La bielle d'about à une largeur a qui vérifie $a \le 0.9d \rightarrow a \le 16$.

❖ Vérification de la bielle de béton : (BAELA.5.1, 313)

$$T_{U} \leq 0.26 \times b \times a \times f_{c28} \Rightarrow a \geq \frac{3.75T_{U}}{b \times f_{c28}}$$
$$\Rightarrow a \geq \frac{3.75 \times 11.9 \times 10^{3}}{100 \times 25} = 1.78cm < 16.2cm$$

ELS

Vérification des contraintes :

$$\delta_b = \frac{M_{ser}}{I} \times y \le \overline{\delta_{bc}} = 15MPa$$

❖ Détermination de la valeur de « y » :

$$\frac{b}{2} \times y^2 + h \times A'_s(y - c') - n \times A_s(d - y) = 0$$

$$Avec \to n = 15$$

$$h \times A'_s(y - c') = 0$$

Travée:

$$\frac{65}{2}y^2 - 15 \times 2.36(18 - y) = 0$$
$$32.5y^2 + 35.4y - 637.2$$
$$\Delta = b^2 - 4ac = 289.98$$
$$y = \frac{-35.04 + 289.98}{2 \times 32.5} = 3.91$$

арриі

$$\frac{10}{2}y^2 - 15 \times 1.57(18 - y) = 0$$
$$y^2 + 4.71y - 84.78$$
$$\Delta = b^2 - 4ac = 19.008$$
$$y = \frac{-4.71 + 19.008}{2} = 7.15$$

❖ Moment d'inertie :

$$I = \frac{b \times y^{3}}{3} + n \times A_{s}(d - y^{2})$$

$$I_{t} = \frac{65 \times 3.91^{3}}{3} + 15 \times 2.36(18 - 3.91^{2}) = 8323.04cm^{4}$$

$$I_{a} = \frac{10 \times 7.15^{3}}{3} + 15 \times 1.57(18 - 7.15^{2}) = 3990.78cm^{4}$$

Tableau III.8: Vérification des contraintes à l'ELS.

	$M_{ m ser}$	$\mathbf{A_s}$	Y	I	δ_{bc}	$\delta_{bc} \leq \overline{\delta_{bc}}$
Travée	7.23	2.36	3.91	8323.04	3.40	CV
Appuis	6.42	1 .57	7.15	3990.78	1.15	CV

Service Espacement:

$$s_{t1} \leq \min(0.9d, 40cm)$$

$$S_{t1} \leq 18cm$$

$$S_t = 15cm \rightarrow 1HA14$$

❖ Vérification de la flèche par (BAEL 91) :

La vérification de la flèche n'est pas nécessaire si les conditions suivantes sont vérifiées: (**BAEL** B.6.5, 1) [3]

Avec: h=0.20 m et l=3.5 m.

❖ La dalle mince (table de compression): (BAEL B.6.8, 423) [2]

Selon le CBA93 article(B.6.8.4.2.3)[3]:

Les ferraillages se fait par quadratique de barres, dont les dimensions des mailles ne doivent pas dépasser :

- 20cm dans le sens parallèle aux poutrelles.
- 33cm dans les sens perpendiculaires aux poutrelles.
- L'espacement entre nervures est compris entre 53 et 8cm.
- La section d'acier perpendiculaire aux nervures doit satisfaire :

$$50 \le L \le 80.....cm$$

$$A \ge \frac{4L}{Fe}.....(CBA93)$$

$$L \le 65cm$$

$$A = \frac{200}{Fe}$$

$$L = 65cm, Fe = 400MPa.$$

$$A > \frac{4*65}{400} = 0.65cm^2 / ml$$

Donc on adopte : 5%6 = 1.41cm²/ml

$$S_t = \frac{100}{5} = 20cm$$

La maille choisie de (20x 20 cm) dans le sens parallèle aux nervures.

Schéma de ferraillage :

En travées : sur appui :

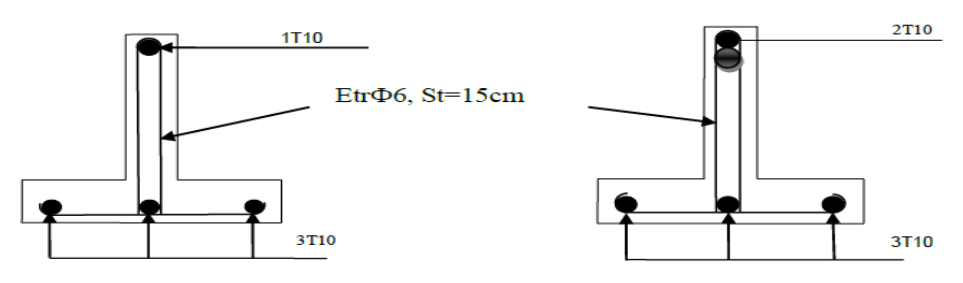


Figure III.15 : Schéma de ferraillage poutrelles

III.7 Etude de la table de compression

La dalle doit avoir une épaisseur minimale de **4 cm**, elle est armée d'un quadrillage de barres, les dimensions de la maille ne doivent pas dépasser :

20cm (5.par m) pour les armatures perpendiculaires aux poutrelles.

33cm (3.par m) pour les armatures parallèles aux poutrelles.

section minimale des armatures perpendiculaires aux poutrelles :

 $A \perp \geq 200/\text{fe}(\text{cm}^2/\text{ml}) \text{ si } L \leq 50\text{cm};$

 $A \perp \geq 4L/\text{fe}$ (cm²/ml) si $50\text{cm} \leq L \leq 80\text{cm}$;

Avec (L: l'écartement entre axe des nervures).

section minimale des armatures parallèles aux poutrelles :

 $A_{//} \ge A \perp /2$;

L = 0.65 m;

Fe = 215 MPa;

 $50\text{cm} \le L = 65 \text{ cm} \le 80 \text{ cm} \rightarrow A \perp \ge 4x65/215 = 1,21 \text{ cm}^2/\text{ml}.$

On prend : $A_{\perp} = 5\phi 8 = 2.51 \text{ cm}^2/\text{ml}$;

 $A_{/\!/} \ge 2.51/2 = 1.26 \text{ cm}^2/\text{ml on prend} : \frac{A_{/\!/} = 4\phi 8}{2.01 \text{ cm}^2/\text{ml}};$

On prend un quadrillage de section 5ϕ 8 avec un espacement de 20.

• 33 cm (3 par mètre) pour les armatures parallèles aux poutrelles.

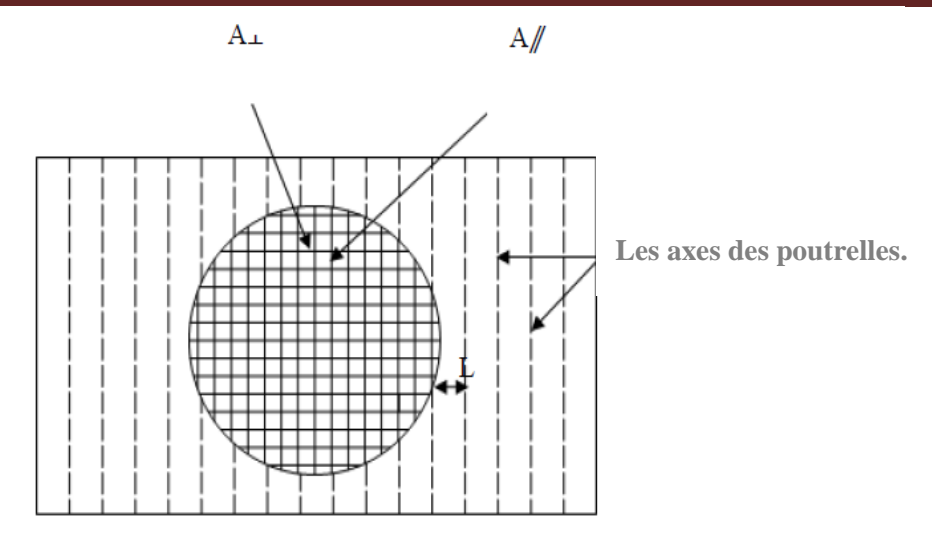


Figure III.16: Ferraillage de la table de compression.

III.8 Conclusion:

Dans ce chapitre, on a pour déterminer le ferraillage des éléments secondaires de notre structure, et ceci on répond à toutes les exigences du RPA99 version 2003, BAEL 91 modifié en 99, et le CBA 93.

1. Acrotère: Les armatures longitudinales: 4T8.

Les armatures transversales :4T6.

2. Balcons: Les armatures longitudinales: 5T10.

Les armatures transversales :4T10.

3. Escaliers. Les armatures longitudinales :

> Travée: 4T12

> Appui : **4T10.**

Les armatures transversales 3T8.

4. Poutre palière : Les armatures longitudinales :

> Appui : **4HA14.**

> Travée : 4HA14 +5HA12.

Les armatures transversales : 1cadre T8+1étrier Φ8.

5. Planchers :Les armatures longitudinales :

> Travée : **3T10.**

> Appui : **2T10.**

Les armatures transversales : 3 étrier $\Phi 6$.

Chapitre IV:

Etude dynamique en zone sismique.

IV.1 Introduction:

Le séisme est le phénomène naturel le plus destructeur et le plus difficile à prédire quand et où il frappe, et avec quelle intensité vas secouer nos constructions. Le séisme correspond à des vibrations du sol provoqué une vibration soudaine d'énergie de déformation accumulée la croûte terre ou dans la couche sous-jacente appelée manteau. Ce phénomène naturel peut creuser des pertes humaines et matérielles ce qui rond l'étude de comportement de structure sons l'effet des actions dynamique dues au séisme est obligatoire et doit être justifie selon les règles parasismique algériennes. Notre travail, consiste en l'étude et la conception d'un bâtiment (R+5) à usage multiple avec justification d'interaction portiques voiles, est implanté à **CONSTANTINE**C'est une zone classée par le RPA 99/version 2003comme zone sismicité moyenne (zone IIa) et dans un Site ferme (S3).

IV.2 Buts de l'analyse dynamique :

- Détermination des caractéristiques dynamiques propres de la structure. -Déterminer les modes et les périodes propres. ROBOT considère un modèle brochette encastré à la base où les masses sont considéré concentrées au niveau de chaque plancher.
- La masse des planchers est calculée de manière à inclure une partie de la surcharges d'exploitation.....(β =0,2) Tab.4.5. RPA99-v2003.

IV.3 Présentation des différentes méthodes d'estimation Des forces sismiques :

SelonRPA99/version2003 le calcul des forces sismiques peut être mené suivant trois méthodes :

- ✓ La méthode statique équivalente.
- ✓ La méthode d'analyse modale spectrale.
- ✓ La méthode d'analyse dynamique par accélérogramme.

IV.3.1 Méthode statique équivalente :(Article 4.2 du RPA99/2003)

a) Principe: Les forces réelles dynamiques qui se développent dans la construction sont remplacées par un système de forces statiques fictives dont les effets sont considérés a ceux de l'action sismique. Les forces sismiques horizontales équivalentes seront considérées appliquées successivement suivant deux directions des axes principales du plan horizontal de la seul le mode fondamental de vibration de la structure est à considérer dans le calcul de la force sismique totale.

b) Conditions d'application :

- **b.1**) Le bâtiment ou le bloc étudié, satisfaisait aux conditions de régularité en plan et en élévation prescrites au chapitre III, paragraphe 3.5 (RPA99/Version 2003) avec une hauteur au plus égale à 65 m en zones I et II et à 30m en zones III.
- **b.2**) Le bâtiment ou bloc étudié présente une configuration irrégulière tout en respectant, outres les conditions de hauteur énoncées en a), les conditions complémentaires suivantes :

- Zone I : Tous groupes.
- Zone II : Groupe d'usage 3- Groupe d'usage 2 : Si la hauteur est inférieure ou égale à 7 niveaux ou 23m. Groupe d'usage 1B : Si la hauteur est inférieure ou égale à 5 niveaux ou 17m. Groupe d'usage 1A : Si la hauteur est inférieure ou égale à 3 niveaux ou 10m.
- Zone III : Groupes d'usage 3 et 2 : Si hauteur est inférieure ou égale à 5 niveaux ou 17m. Groupe d'usage 1B : Si la hauteur est inférieure ou égale à 3 niveaux ou 10m. Groupe d'usage 1A : Si la hauteur est inférieure ou égale à 2 niveaux ou 8m.

c) Méthode de modélisation :

- ✓ Le modèle du bâtiment à utiliser dans chacune des deux directions de calcul est plan avec les masses concentrées au centre de gravité des planchers et un seul degré de liberté en translation horizontale par niveau sous réserve que les systèmes de contreventement dans les deux (2) directions puissent être découplés.
- ✓ La rigidité latérale des éléments porteurs du système de contreventement est calculée à partir de sections non fissurées pour les structures en béton armé ou en maçonnerie.
- ✓ Seul le mode fondamental de vibration de la structure est à considérer dans le calcul de la force sismique totale.

IV.3.2 Méthode dynamique modale spectrale :

a) Principe de la méthode dynamique modale spectrale :

Selon le RPA, la méthode d'analyse modale spectrale peut être utilisée dans tous les cas, et enparticulier, dans le cas où la méthode statique équivalente n'est pas permise. Par cette méthode, il est recherché pour chaque mode de vibration, le maximum des effets engendrés dans la structure par les forces sismiques représentées par un spectre de réponse de calcul.

Ces effets sont par la suite combinés pour obtenir la réponse de la structure.

b) Modélisation:

- **b.1**) Pour les structures régulières en plan comportant des planchers rigides, l'analysées faite séparément dans chacune des deux directions principales du bâtiment. Celui-ci est alors représenté dans chacune des deux directions de calcul par un modèle plan, encastré à la base et où les masses sont concentrées au niveau des centres de gravité des planchers avec un seul DDL en translation horizontale.
- **b.2**) Pour les structures irrégulières en plan, sujettes à la torsion et comportant des planchers rigides, elles sont représentées par un modèle tridimensionnel, encastré à la base et où les masses sont concentrées au niveau des centres de gravité des planchers avec trois (03) DDL (2 translations horizontales et une rotation d'axe vertical).

- **b.3**) Pour les structures régulières ou non régulières comportant des planchers flexibles, elles sont représentées par des modèles tridimensionnels encastrés à la base et à plusieurs DDL par plancher.
- **b.4**) La déformabilité du sol de fondation doit être prise en compte dans le modèle toutes les fois où la réponse de la structure en dépend de façon significative.
- **b.5**) Le modèle de bâtiment à utiliser doit représenter au mieux les distributions des rigidités et des masses de façon à prendre en compte tous les modes de déformationsignificatifs dans le calcul des forces d'inertie sismiques (ex : contribution deszones nodales et des éléments non structuraux à la rigidité du bâtiment).
- **b.5**) Dans le cas des bâtiments en béton armé ou en maçonnerie la rigidité des éléments porteurs doit être calculée en considérant les sections non fissurées. Si lesdéplacements sont critiques particulièrement dans le cas de structures associées à des valeurs élevées du coefficient de comportement, une estimation plus précise dela rigidité devient nécessaire par la prise en compte de sections fissurées.

IV.4 Calcul de l'effort tranchant avec la méthode statique équivalente :

$$V = \frac{A \times D \times Q}{R} \times W \qquad RPA 99 [formule 4-1]$$

A: Coefficientd'accélération de la zone (tableau 4 -1 de RPA 99).

D: Facteur d'amplification dynamiquemoyen, en fonction de la catégorie de site, du facteur de correction d'amortissement (ξ) et de la période fondamentale de la structure (T) (tableau 4-2 de RPA 99).

R : Coefficient de comportement (tableau 4 −3 de RPA 99).

Q: Facteur de qualité (tableau 4 – 4 de RPA 99).

W: Poids totale de la structure.

IV.4.1 Définitions de la valeur des coefficients :

a) Coefficient d'accélération de zone (A): Donné par le tableau 4.1 (RPA.99/03) suivent la zone sismique et le groupe d'usage du bâtiment.

Tableau IV.1 : Coefficient d'Accélération de Zone A.

/	ZONE			
Groupe	I	IIa	IIb	III
1A	0.15	0.25	0.30	0.40
1B	0.12	0.20	0.25	0.30
2	0.10	0.15	0.20	0.25
3	0.07	0.10	0.14	0.18

Notre bâtiment est implanté dans la région **MILA** de (zone IIa) et appartient au groupe 2, pour notre cas on a : **A= 0.15.**

b) Coefficient de comportement global de structure (R):

Sa valeur unique est donnée par le tableau 4.3. RPA99 en fonction du système de contreventement.

Tableau IV.2: Valeurs du coefficient de comportement R.

Béton armé.	Coefficient de comportement (R).
Portiques auto-stables sans remplissages en maçonnerie rigide.	5
Portiques autos-tables avec remplissages en maçonnerie rigide.	3.5
Voiles porteurs.	3.5
Noyau.	3.5
Mixte portiques/voiles avec interaction.	5
Portiques contreventés par des voiles.	4
Console verticale à masses réparties.	2
Pendule inverse.	2

Système de contreventement mixte portiques/voiles avec interaction: R= 3.5

c) Facteur de qualité Q :

Q : facteur de qualité c'est un facteur relatif à la qualité du système de contreventement de la structure. Il pénalise les mauvaises conceptions parasismiques (voir RPA99/2003).

Le facteur de qualité de la structure est en fonction de :

La redondance et la géométrie des éléments qui la constituent.

La régularité en plan et en élévation.

La qualité du contrôle de la construction.

La valeur de Q est déterminée par la formule :

$$Q = 1 + \sum_{q=1}^{6} p_q \quad \qquad ... \qquad ... Article 4.4 (RPA99/2003).$$

Tableau IV.3 : Valeur de facteur de qualité

1. Conditions minimales sur les files de contreventement.	0	0.05
2. Redondance en plan.	0	0.05
3. Régularité en plan.	0	0
4. Régularité en élévation.	0	0
5. Contrôle de la qualité des matériaux.	0.05	0.05
6. Contrôle de la qualité de l'exécution.	0	0
$\sum P_{q}$	0.05	0.15

Sens XX
$$\rightarrow$$
 Q_x=1+0.05 = **1.05**
Sens YY \rightarrow Q_y=1+0.15= **1.15**

d) Facteur d'amplification dynamique moyen :

D: facteur d'amplification dynamiquemoyen, en fonction de la catégorie de site, du facteur de correction d'amortissement (ξ) et de la période fondamentale de la structure (T).

$$D = \begin{cases} 2.5\eta & 0 \le T \le T_2 \\ 2.5\eta (T_2/T)^{2/3} & T_2 \le T \le 3s \\ 2.5\eta (T_2/3)^{2/3} (3/T)^{5/3} & T \ge 3s \end{cases}$$

T₂: période caractéristique, associée à la catégorie du site et donnée par (Tableau 4.7 du RPA99/2003).

 η : facteur de correction d'amortissement donné par la formule :

d.1) Pourcentage d'amortissement critique :

Le pourcentage d'amortissement critique en fonction de matériau constitutif, du type de structure et de l'importance des remplissages.

Tableau IV.4: Valeurs du coefficient d'amortissement suivant le système structurel.

	Portiqu	es	Voiles ou murs
Remplissage	Béton armé	Acier	Béton armé/maçonnerie
Léger	6	4	10
Dense	7	5]

Nous avons un contreventement mixte voiles -portiques donc on prend une valeur moyenne :

$$\xi = 8.5\%$$

Donc:
$$\eta = \sqrt{\frac{7}{2+\xi}} = 0.816 \ge 0.7$$

IV.5Modélisationetrésultats:

IV.5.1 Modélisation :L'une des étapes les plus importantes lors d'une analyse dynamique de la structure est la modélisation adéquate de cette dernière. Vue la complexité et le volume de calcul que requiert l'analyse de notre structure, la nécessite de l'utilisation de l'outil informatique s'impose Lelogicielutilisépourmodélisernotrestructurec'estAutodeskRobotStructuralAnalysis Professional 2021. Lastructuremodéliséeest représentée enfigure IV.1.

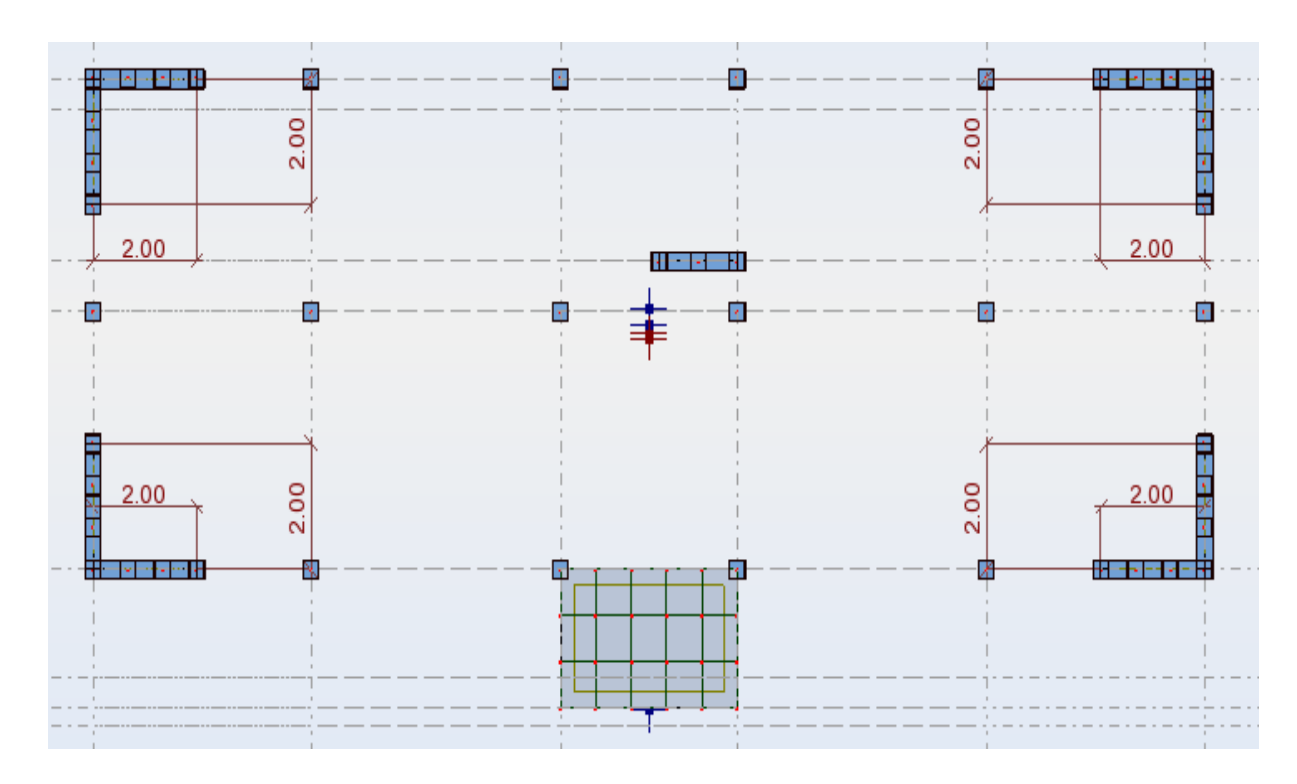
IV.5.2 Analyse de la structure :

a) Premier variante des voiles :

 T_y

 T_{x}

 $\mathbf{T}_{\mathbf{z}}$



FigureIV.1: Vue en plan pour la disposition du voile selon le plan initial.

a.1) Résultats de l'analyse dynamique par ROBOT :

\supset	Cas/N	lode	Périod	le [sec]	Masses Cumulées UX [%]	Masses Cumulées UY [%]	se Modale UX [%]	se Modale JY [%]	Tot.mas.UX [kg]	Tot.mas.UY [kg]
	3/	1	\rightarrow	0.457	0.095	70.681	0.095	70.681	1219436.762	1219436.762
).	3/	2		0.442	71.081	70.772	70.986	0.091	1219436.762	1219436.762
	3/	3		0.320	71.668	70.772	0.587	0.000	1219436.762	1219436.762
1	3/	4		0.123	71.676	86.772	0.008	16.000	1219436.762	1219436.762
	3/	5		0.120	87.082	86.780	15.406	0.008	1219436.762	1219436.762
	3/	6		0.082	87.120	86.780	0.038	0.000	1219436.762	1219436.762
	3/	7		0.074	87.120	86.829	0.000	0.049	1219436.762	1219436.762
	3/	8		0.072	87.121	86.829	0.001	0.000	1219436.762	1219436.762
	3/	9		0.064	87.121	86.884	0.000	0.054	1219436.762	1219436.762
	3/	10		0.063	87.122	86.953	0.000	0.069	1219436.762	1219436.762
	3/	11		0.063	87.124	86.953	0.002	0.000	1219436.762	1219436.762
	3/	12		0.061	87.124	87.594	0.000	0.641	1219436.762	1219436.762
	3/	13		0.061	87.125	87.597	0.001	0.003	1219436.762	1219436.762
	3/	14		0.061	87.126	89.159	0.001	1.562	1219436.762	1219436.762
	3/	15		0.060	87.137	89.227	0.011	0.068	1219436.762	1219436.762
	3/	16		0.060	87.198	89.261	0.061	0.033	1219436.762	1219436.762
	3/	17		0.059	87.199	89.261	0.001	0.000	1219436.762	1219436.762
	3/	18		0.059	87.200	89.261	0.000	0.000	1219436.762	1219436.762
	3/	19		0.058	87.200	89.308	0.000	0.047	1219436.762	1219436.762
	3/	20		0.058	87.202	89.308	0.003	0.000	1219436.762	1219436.762
	3/	21		0.057	87.203	89.351	0.000	0.043	1219436.762	1219436.762
	3/	22		0.057	89.487	89.394	2.285	0.042	1219436.762	1219436.762
	3/	23		0.056	91.907	90.710	2.420	1.316	1219436.762	1219436.762
	3/	24		0.056	92.946	92.833	1.039	2.123	1219436.762	1219436.762
	3/	25		0.052	92.947	92.889	0.000	0.056	1219436.762	1219436.762

FigureIV.2 : Périodes et factures da participation massique modale.

a.2) Interprétation :

D'après le tableau ci-dessus on constate ce qui suit :

- Le 1^{er} mode est mode de translation selon l'axe Y (70.68%) de participation de masse modale.
- Le 2^{éme} est un mode de translation selon l'axe **X** (**70.98%**) de participation de masse modale.
- 3^{ème} mode est mode detorsion.
- Les modes de translation ne sont pas couplés avec la torsion.

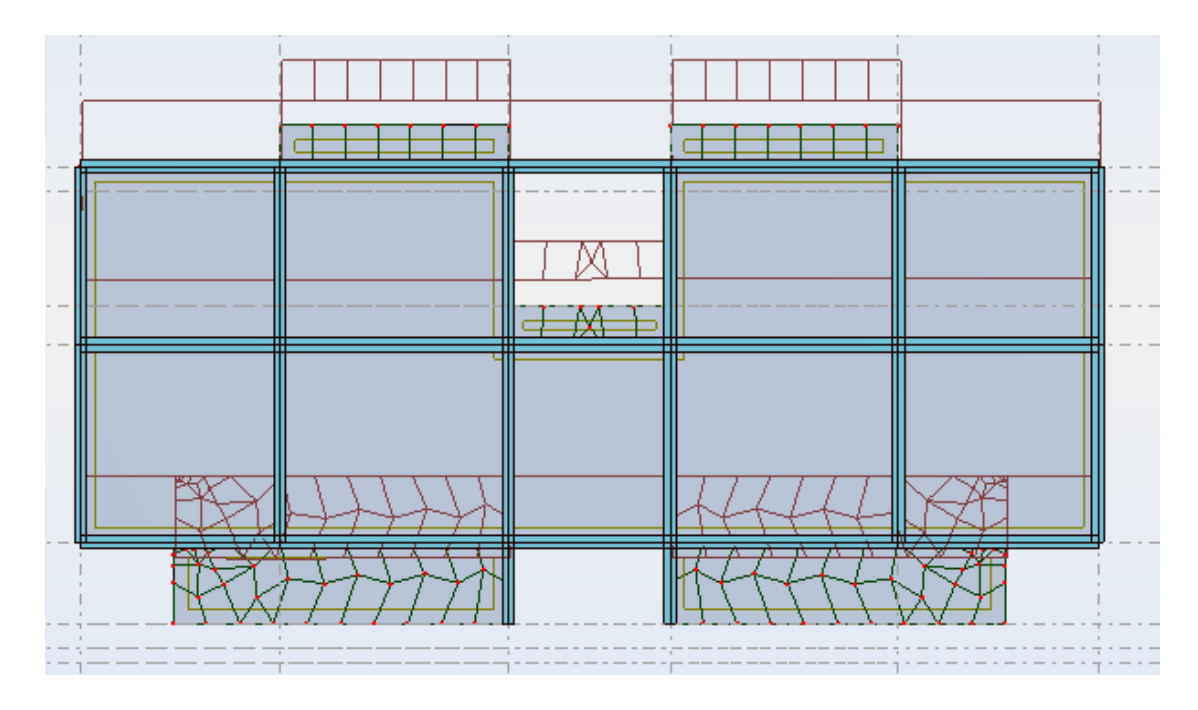


Figure IV.3: Premier mode de vibration Vue 3D et vue en plan.

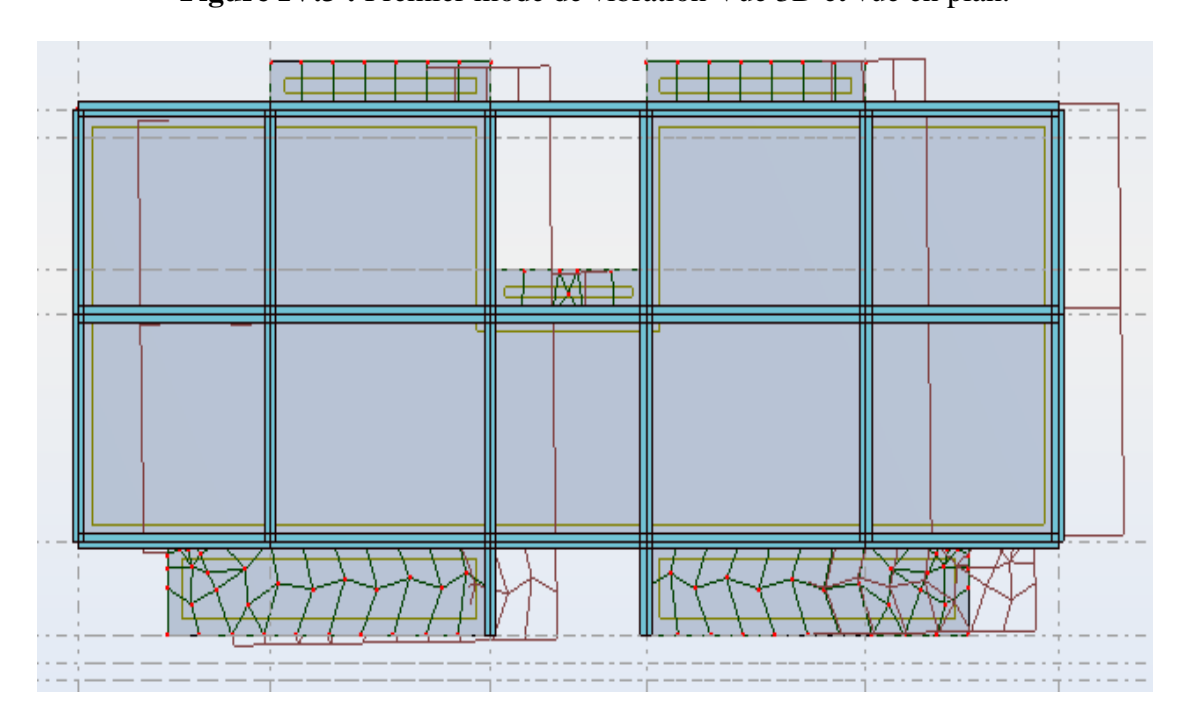


Figure IV.4 : Deuxième mode de vibration. Vue 3D et vue en plan.

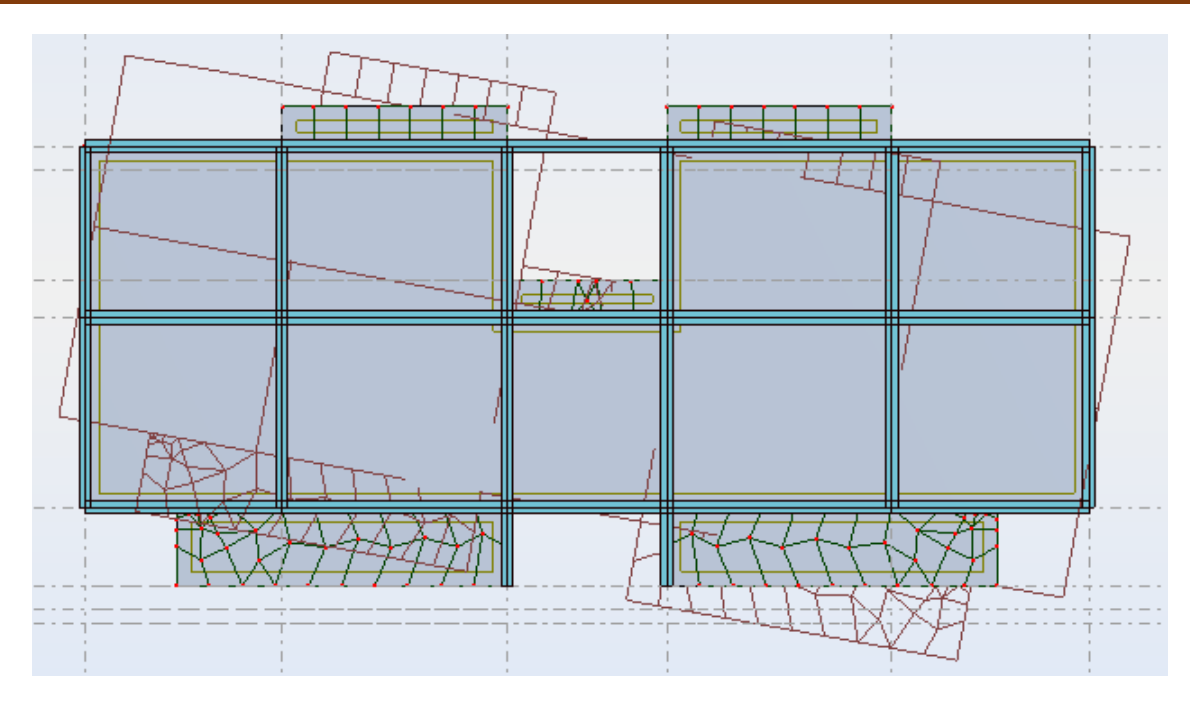


Figure IV.5 : Troisièmemode de vibration Vue 3D et vue en plan.

IV.6Calcul des Actions Sismiques :

Selon la Méthode Statique Equivalente (RPA99/version2003 art 4.3.6) : La résultante des forces sismiques à la base (V_t)obtenue par combinaison des valeurs modales ne doit pas être inférieur à 80% de la résultante des forces sismique déterminée par la méthode statique équivalent V pour une valeur de la période fondamentale donnée par la formule empirique appropriée.

Si $V_{T\text{-logiciel}} \leq 0,80$ V_{MSE} , il faudra augmenter tous les paramètres de la réponse (forces, déplacements, moments, ...) dans le rapport 0.8V/Vt

La période empirique « T »:

La période trouver avec logiciel doit être comprise entre la période empirique et celle majoré.

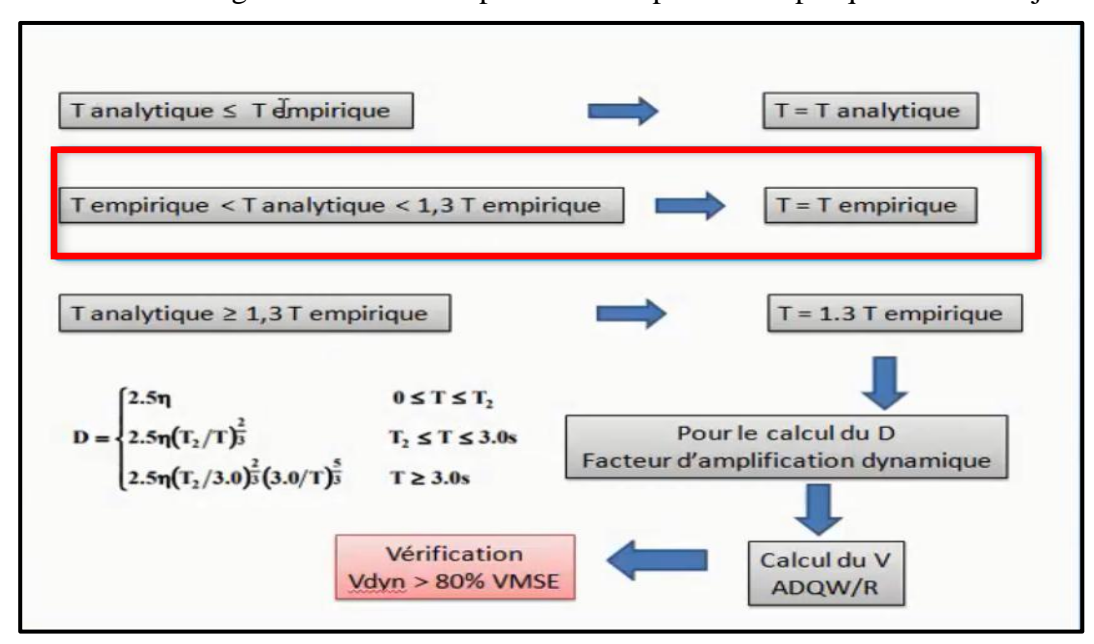


Figure IV.6 : La relation entre la période empirique et analytique.

Tableau IV.5: Valeurs du coefficient Ct

1	Portiques auto-stables en béton armé sans remplissage en maçonnerie.	0.075
2	Portiques auto-stables en acier sans remplissage en maçonnerie.	0.085
3	Portiques auto-stables en béton armé ou en acier avec remplissage en maçonnerie.	0.050
4	Contreventement assuré partiellement ou totalement par des voiles en béton armé, des palées triangulées et des murs en maçonnerie.	0.050

> Sens longitudinal

La formule empirique à utiliser selon les cas est la suivant :

1.
$$T = C_t . h_n^{3/4} = 0.05*(18.60)^{3/4} = 0.447 \text{ s}$$

2.
$$T = \frac{0.09h}{\sqrt{lx}}$$

Avec:
$$l_x = 21.40 \text{ m}$$

$$T = 0.09*18.60/21.40^{0.5} = 0.361 \text{ s}$$

$$T_{emperique} = \min(0.447s; 0.361s) = 0.361s$$

$$1.3 * T_{emperique} = 0.469 \text{ s}$$

$$T_{analytique} = 0.442 \text{ s.....}$$
 (Tableau IV.2)

> Sens transversal

La formule empirique à utiliser selon les cas est la suivant :

1.
$$T = C_t . h_n^{\frac{3}{4}} = 0.05*(18.60)^{3/4} = 0.447 \text{ s}$$

2.
$$T = \frac{0.09h}{\sqrt{ly}} \dots l_y = 7.80 \text{ m}$$

$$T = 0.09*18.60/7.80^{0.5} = 0.60 \text{ s}$$

$$T_{emperique} = \min(0.447 \text{ s}; 0.60 \text{ s}) = 0.447 \text{ s}$$

$$1.3 * T_{emperiaue} = 0.581s$$

$$T_{analytique} = 0.457 \text{ s.....}$$
 (Tableau IV.2)

> Calcul facteur d'Amplification D :

T₁ et T₂: périodes caractéristiques associées à la catégorie de site (tableau 4.7).

Tableau IV.6: périodes caractéristiques associées à la catégorie de site.

Site	S1	S2	S3	S4
T_1	0.15	0.15	0.15	0.15
T_2	0,30	0.40	0.50	0.70

 $S_2 \Rightarrow T_1 = 0.15$ et $T_2 = 0.50$ On obtient :

> Sens longitudinal:

La condition

 $0 \leq T \leq T_2$

Donc: $D=2.5\eta=2.04$

> Sens transversal:

La condition:

 $0 \leq T \leq T_2$

Donc: $D=2.5\eta=2.04$

Calcul de l'effort sismique totale « V » :

Sens x:

 $\mathbf{V}\mathbf{x} = (\mathbf{A.D.Q_x} / \mathbf{R}) * \mathbf{W_x}$

 $\mathbf{V}\mathbf{x} = (0.15*2.04*1.05/3.5)*12194.36=$ **1119.44KN**

0.8*Vx = 895.55 KN

Sens-Y:

 $\mathbf{V}\mathbf{y} = (\mathbf{A}.\mathbf{D}.\mathbf{Q}_{\mathbf{v}} / \mathbf{R}) * \mathbf{W}_{\mathbf{Y}}$

 $\mathbf{V}\mathbf{y} = (0.15*2.04*1.20/3.5)*12194.36 = \mathbf{1279.36KN}$

0.8Vy= **1023.48KN**

Résultats d'action sismique à la base trouvée par logiciel ROBOT dans les deux sens :

Vx = 1016.29 KN

Vy = 1152.88 KN

Résumé des résultats :

Tableau IV.7: Résumé des résultats

Paramètres	A	Q	R	W (KN)	D	V(KN)	0.8V(KN)
SensX	0.15	1.05	3.5	12194.36	2.04	1119.44	895.55
SensY	0.15	1.20	3.5	12194.36	2.04	1279.36	1023.48

> Vérification de l'effort tranchant à la base :

Tableau IV.8: Vérification de l'effort tranchant à la base.

Les sens	0.8V _{statique} (KN)	V _{dynamique} (KN)	V _{dynamique} > 80% V _{statique}
Suivant X	895.55	1016.29	Condition vérifiée
Suivant Y	1023.48	1152.88	Condition vérifiée

> Vérification de masse participante :

Cette vérification nous permet de savoir le pourcentage des masses agissantes sur les éléments porteurs au dernier mode. D'après le tableau (**Tableau IV.5**) tableau représentatif de la période et la masse participante trouvées par logiciel. **Comparaison des résultats trouvés**: les valeurs trouvées pour Masses Cumulées UX [%], Masses Cumulées UY [%] sont supérieur à 90% donc la condition de masse participante est vérifiée.

Min (Masses Cumulées UX [%], Masses Cumulées UY [%]) \geq 90%).

Min $(93.066 \ge 90\%, 92.432 \ge 90\%) =>$ Condition vérifiée.

➤ Vérification le système des voiles-portiques :

RPA99/version 2003 exige que (**le système 2**) est constitué de voiles uniquement ou de voile et de portiques. Dans ce dernier cas les voiles reprennent **plus de 20%** sollicitations dues aux charges verticales. On considère que la sollicitation horizontale est reprise uniquement par les voiles.

Pour un système de contreventement, il y a lieu de vérifier ce qui suit :

	Effort normal des POTEAUX	Effort normal des VOILES	Effort normal TOTALE
Etage	N	N	N
RDC	-8993.48	-2517.66	-11511.14
1	-7528.01	-1919.54	-9447.55
2	-6040.23	-1532.1	-7572.33
3	-4569.81	-1127.29	-5697.11
4	-3109.88	-712.00	-3821.88
5	-1673.36	-278.06	-1951.42

Tableau IV.9:Effort Normal.

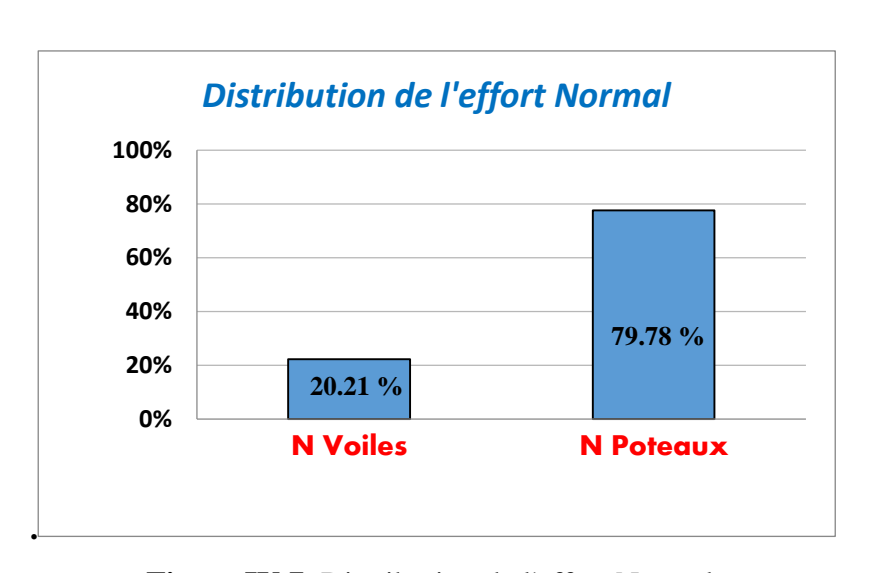


Figure IV.7: Distribution de l'effort Normal.

	Voiles de contreventement		
	Effort tr	ranchant	
Etage	Tx	Ty	
1	732.00	839.92	
2	688.95	876.03	
3	567.17	760.75	
4	444.01	623.79	
5	310.61	463.73	
6	74.62	174.73	

Tableau IV.10:Effort tranchant sur les voiles de contreventement

Tableau IV.11: l'effort Normal et l'effort tranchant sur les poteaux.

	Poteaux		
	Effort to	ranchant	
Etage	Tx	Ту	
1	284.28	312.95	
2	288.38	235.31	
3	323.15	253.74	
4	314.54	242.05	
5	266.55	197.11	
6	268.6	217.78	

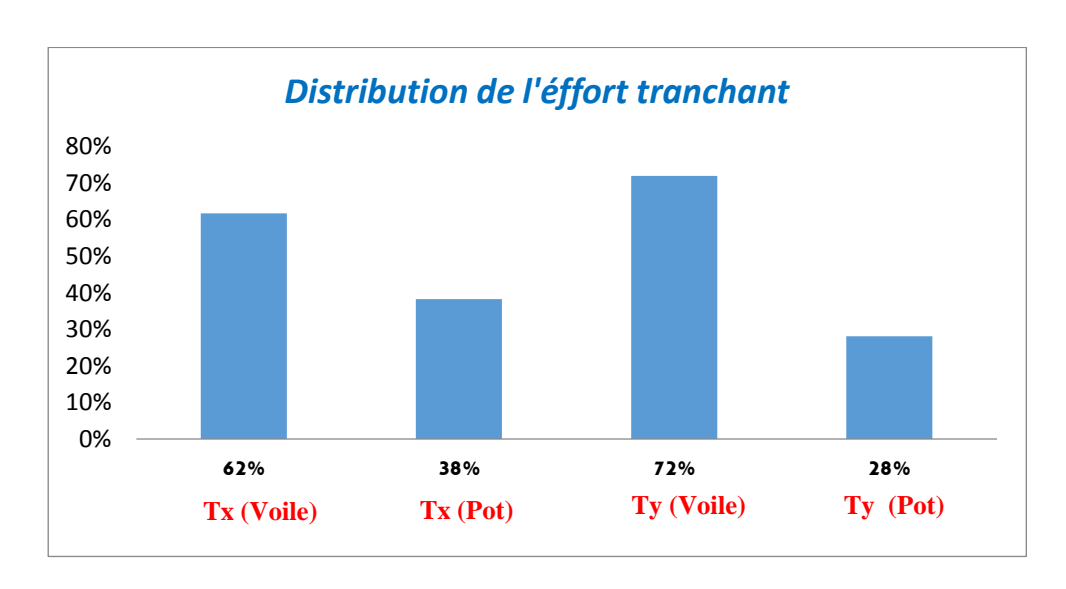


Figure IV.8 : Distribution de l'effort tranchant.

Vérification du déplacement :

Le déplacement horizontal à chaque niveau « k » de la structure est calculé comme suit: $\delta_k = R \cdot \delta_{ck}$ δ_{ck} : Déplacement dû aux forces sismique Fi.

R:coefficient de comportement =3.5

 Δ_K : le déplacement relatif au niveau « k » par rapport au niveau « k-1 » est égal à $(\Delta_K = \delta_k - \delta_{k-1})$.

Cas/Eta	ige	UX [cm]	UY [cm]	dr UX [cm]	dr UY [cm]	d UX	d UY	Max UX [cm]	Max UY [cm]	Min UX [cm]	Min UY [cm]
4/	1	0.222	-0.003	0.222	-0.003	0.001	-0.000	0.231	0.030	-0.000	-0.027
4/	2	0.661	-0.008	0.439	-0.005	0.001	-0.000	0.675	0.054	0.214	-0.078
4/	3	1.188	-0.018	0.527	-0.010	0.002	-0.000	1.216	0.099	0.640	-0.145
4/	4	1.724	-0.024	0.536	-0.006	0.002	-0.000	1.768	0.148	1.149	-0.219
4/	5	2.224	-0.029	0.500	-0.005	0.002	-0.000	2.285	0.195	1.666	-0.292
4/	6	2.676	-0.036	0.452	-0.007	0.001	-0.000	2.750	0.238	2.147	-0.359

Figure. IV.9: Résumé des résultats de ROBOT.

Tableau IV.12: Vérification des déplacements au sens x-x.

	dr UX (cm)	1/100 h (cm)	Vérification
RDC	0.222	3.1	CV
1	0.439	3.1	CV
2	0.527	3.1	CV
3	0.536	3.1	CV
4	0.500	3.1	CV
5	0.452	3.1	CV

Cas/Eta	ige	UX [cm]	UY [cm]	dr UX [cm]	dr UY [cm]	d UX	d UY	Max UX [cm]	Max UY [cm]	Min UX [cm]	Min UY [cm]
5/	1	0.008	0.258	0.008	0.258	0.000	0.001	0.025	0.284	-0.012	-0.000
5/	2	0.025	0.779	0.018	0.521	0.000	0.002	0.077	0.853	-0.028	0.231
5/	3	0.047	1.415	0.022	0.636	0.000	0.002	0.141	1.551	-0.048	0.699
5/	4	0.070	2.074	0.023	0.660	0.000	0.002	0.208	2.277	-0.069	1.270
5/	5	0.092	2.707	0.022	0.632	0.000	0.002	0.272	2.974	-0.089	1.861
5/	6	0.118	3.300	0.026	0.593	0.000	0.002	0.328	3.625	-0.107	2.429

Figure IV.10 : Résumé des résultats de ROBOT

Tableau IV.13: Vérification des déplacements au sens y-y.

	dr UY [cm]	1/100 h[cm]	Vérification
RDC	0.258	3. 1	CV
1	0.521	3.1	CV
2	0.636	3.1	CV
3	0.660	3.1	CV
4	0.632	3.1	CV
5	0.593	3.1	CV

Vérification de l'excentricité accidentelle : (RPA art 4.3.7) [1]

Dans notre analyse tridimensionnelle, les effets de la torsion accidentelle de l'axe verticale doivent être pris en compte ± 0.05 L (L étant la dimension du plancher perpendiculaire à la direction de l'action sismique), cette valeur doit être appliquée au niveau du plancher considéré suivant chaque direction.

• Sens X : $e_{accidentelle} = 0.05 \times L_{xi}$

• Sens Y: $e_{accidentelle} = 0.05 * L_{yi}$

Le calcul des centres de masse de chaque élément dans la structure permet de déterminer les coordonnées de l'excentricité massique.

Les coordonnées du centre de masse sont données par: $X_G = \frac{\sum M_i \times X_i}{\sum M_i} Y_G = \frac{\sum M_i \times Y_i}{\sum M_i}$

Avec:

Mi : La masse de l'élément « i » du niveau considéré. Xi, Yi : Coordonnées du centre de gravité de l'élément « i » par rapport au repère global.

L'analyse automatique par le logiciel **ROBOT** a donné les résultats qui sont illustrés dans le tableau suivant :

Position de centre de masse Position de centre de torsion Niveau $\mathbf{X}_{\mathbf{G}}$ $\mathbf{Y}_{\mathbf{G}}$ $\mathbf{X}_{\mathbf{R}}$ $\mathbf{Y}_{\mathbf{R}}$ **RDC** 10.70 3.66 10.70 4.15 10.70 10.70 4.14 1 3.82 2 10.70 10.70 4.14 3.82 3 10.70 3.82 10.70 4.14 4 10.70 3.82 10.70 4.14 5 10.70 3.55 10.70 3.90

Tableau IV.14: centre de masse et centre de torsion.

Calcul de l'excentricité :

L'excentricité théorique

$$e_x = |X_G - X_R|; e_v = |Y_G - Y_R|$$

L'excentricité accidentelle:

$$Sens x-xe_{acc} = 0.05L_x$$

Sens
$$y-ye_{acc} = 0.05L_v$$

L'excentricité L'excentricité observation théorique accidentelle Niveau $e_{acc x}(2)$ e_{x} $e_{acc y}(2)$ $e_{th\acute{e}orique} < e_{acc}$ e_{v} RDC 0 0.49 1,07 0.56 0 0.32 1,07 0.54 C.V C.V 0 0.32 1,07 0.54 1,07 3 0 0.32 0.54 C.V C.V 4 0 0.32 1,07 0.54 C.V5 0 0,35 1,07 0.52

Tableau IV.15 : Vérification de l'excentricité accidentelle.

Cas/Eta	ige	Nom	Masse [kg]	G (x,y,z) [m]	R (x,y,z) [m]	lx [kgm2]	ly [kgm2]	lz [kgm2]	ex0 [m]	ey0 [m]	ex1 [m]	ey1 [m]
1/	1	Etage 1	103127.692	10.70 3.66 2.17	10.70 4.15 2.17	1349054.150	5352913.433	6467212.374	0.00	0.49	1.07	0.56
1/	2	Etage 2	99759.856	10.70 3.82 5.34	10.70 4.14 5.34	1252528.314	5333213.177	6383706.040	0.00	0.32	1.07	0.54
1/	3	Etage 3	99759.856	10.70 3.82 8.44	10.70 4.14 8.44	1252507.565	5333192.427	6383706.040	0.00	0.32	1.07	0.54
1/	4	Etage 4	99759.856	0.70 3.82 11.54	0.70 4.14 11.54	1252486.815	5333171.678	6383706.040	0.00	0.32	1.07	0.54
1/	5	Etage 5	99759.856	0.70 3.82 14.64	0.70 4.14 14.64	1252526.579	5333150.704	6383766.328	0.00	0.32	1.07	0.54
1/	6	Etage 6	91231.744	0.70 3.55 17.78	0.70 3.90 17.78	1152103.256	5316716.027	6282236.304	0.00	0.35	1.07	0.52

Figure IV11: Résumé des résultats de ROBOT.

D'après le tableau ci-dessus nous constatons que les déplacements relatifs des niveaux sont inférieurs au centième de la hauteur d'étage.

➤ Vérification au renversement : (RPA99/V2003 Art.5.5.) [1]:

Le moment de renversement qui peut être causé par l'action sismique doit être calculé par rapport au niveau de contact sol-fondation. Le moment stabilisant sera calculé en prenant en compte le poids total équivalent au poids de la construction, au poids des fondations et éventuellement au poids du remblai. $M_s > M_r$.

Avec:

 M_s : moment stabilisant ; M_r : moment de renversement. Cette condition d'équilibre se réfère à la stabilité d'ensemble du bâtiment ou de l'ouvrage. Soumis à des effets de renversement et/ou de glissement.

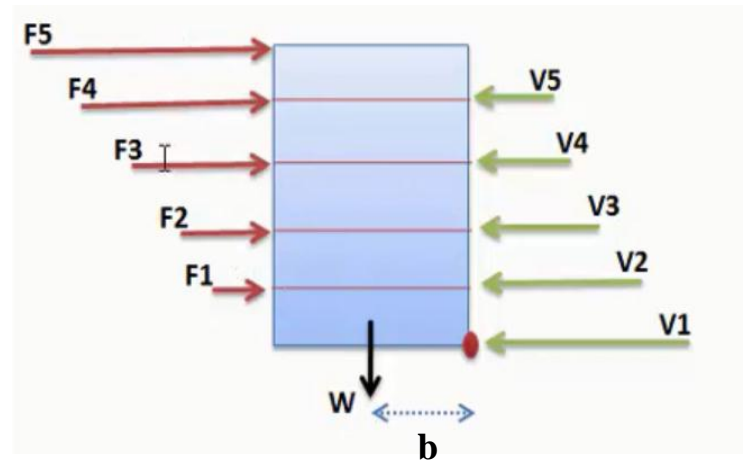


Figure IV.12:Moment stabilisant et moments de renversements.

$$\mathbf{M}_{\text{renversement}} = \sum_{n=1}^{n} F_i \times d_i$$
$$\mathbf{M}_{\text{stabilisant}} = W \times b$$

Tableau IV.16: Vérification au renversement au sens x-x

ETAGE	Vx (KN)	h (m)	W (KN)	Xg (m)	Mr (KN)	Ms (KN)	Vérification
1	1016.29	3.1		10.7	120.776		OK
2	977.33	6.2			539.462		OK
3	890.32	9.3	12194,36		1225.461	130479.65	OK
4	758.55	12.4	12194,30		2249.236		OK
5	577.16	15.5			3625.915		OK
6	343.23	18.6			6384.078		OK

Verification:

M_r=14144.928 KN

 M_s =130479.65 KN

Ms/Mr=9.22> 1.5.....CV

Tableau IV.17: Vérification au renversement au sens y-y.

ETAGE	Vy	h (m)	W (KN)	Yg (m)	Mr (KN)	Ms (KN)	Vérification
	(KN)						
1	1152.87	3.1		3.9	128.774	47558.004	OK
2	1111.33	6.2			600.408		OK
3	1014.49	9.3	12194.36		1382.445		OK
4	865.84	12.4	12194.30		2542.124		OK
5	660.83	15.5			4158.96		OK
6	392.51	18.6			7300.686		OK

Verification:

M_r=16113.397 KN

M_S=47558.004 KN

Ms/Mr = 2.95 > 1.5.....CV

> Effort normal réduits :

L'article (7-4-3-1) du RPA (version 2003) exige la vérification de l'effort normal réduit pour éviter la rupture fragile de la section de béton.

La vérification s'effectue par la formule suivante : $V = \frac{N}{B f_{c.28}} \le 0.3$

Où:

N_d: désigne l'effort normal de calcul s'exerçant sur une section de béton (obtenu par ROBOT).

B_c: est l'aire (section brute) de cette dernière. **f**_{cj}: est la résistance caractéristique du béton Pour calculer l'effort normal «N_d» selon **le CBA**, (ArticleB.8.2.2) pour un poteaux soumis aux charges dues à la pesanteur et au séisme: « Les combinaisons d'action à considérer ».

Tableau IV.18: Vérification d'effort normal réduit des poteaux.

Poteau	Section(mm)	N _d (N)	Fc28 (MPa)	V	Observation
RDC et 1-2-3-4-5	450*450	1278050	25	0.252	CV

> Justification de l'effet P-Δ : raidisseur

L'effet du second ordre (ou effet de P-Δ) peut être négligé lorsque la condition suivante est satisfaire à tous les niveaux. L'article 5.9 du RPA99/version2003-P40.

$$\theta = \frac{P_K \times \Delta_K}{V_K \times h_K} \le 0.10$$

Avec:

P_K: Poids total de la structure et des charges d'exploitation associée au-dessus de niveau k.

 V_K : Effort tranchant d'étage au niveau k.

 Δ_{K} : Déplacement relatif du niveau k par rapport au niveau k-1.

h_k: hauteur de l'étage k.

Tableau IV.19: Vérification de l'éffet P-∆ au sens x-x

Etage	P	Δ	V	h	θ	Vérification
1	-11958.59	0.222	1016.29	3.1	0.019323967	OK
2	-9812.81	0.439	977.33	3.1	0.033954961	OK
3	-7860.18	0.527	890.32	3.1	0.036288802	OK
4	-5907.54	0.536	758.55	3.1	0.035092395	OK
5	-3954.9	0.5	577.16	3.1	0.03048154	OK
6	-2007.29	0.452	343.23	3.1	0.024885004	OK

P **Etage** \mathbf{V} θ Vérification Δ h 1 -11958.59 0.258 1152.87 3.1 0.008632919 OK 2 -9812.81 0.014839743 OK 0.521 1111.33 3.1 OK 3 -7860.18 0.636 1014.49 3.1 0.015895718 OK 4 -5907.54 0.66 865.84 3.1 0.014526175 OK 5 -3954.9 0.632 660.83 3.1 0.012201161 0.009782557 OK -2007.29 0.593 392.51 3.1

Tableau IV.20: Vérification de l'éffet P- Δ au sens y-y.

VI.7 Conclusion:

Notre structure a remplie toutes les vérifications nécessaires et les justifications vis-àvis leur stabilité, déformation et leur sécurité face au séisme

Parmi les méthodes utilisées pour la modélisation, on utilise La méthode statique équivalente qui vérifier tous les critères d'utilisation.

L'exploitation des résultats donnés par le logiciel **Autodesk Robot Structural Analysis Professional 2021,** a permis de vérifier plusieurs critères à savoir :

- Déterminer les modes propres de telle sorte que la 1^{ère} et 2^{ème} translation, la 3^{ème} torsion pour avoir plus de sécurité.
- Vérification de la période fondamentale de la structure selon les exigences de l'RPA
- Vérifier l'effort tranchant à la base obtenu par l'approche statique équivalente est spécifié comme l'effort tranchant minimal à la base (=0,8.VMSE).
- Vérifier l'effet de torsion additionnelle.
- Vérifier le déplacement inter-étage qui est un indice de dommage de l'étage.
- Vérifier l'effet P-Δ pour la stabilité de structure.
- Vérification de la condition de l'effort réduit.

Chapitre V:

Ferraillages des éléments structuraux

V.1 Introduction:

Le ferraillage des éléments de contreventements se fait suivant les règles (**BAEL91**, **RPA99**, **CBA93**) [2, 1, 3]. Les éléments de contreventements qui reprennent l'action sismique sont : Poteaux, Poutres et Voiles.

- Les poutres seront ferraillées en flexion simple.
- Les poteaux, voiles seront ferraillés en flexion composée.

Nous présentons dans ce chapitre le calcul du ferraillage de ces éléments résistants, accompagné de leurs schémas de ferraillage.

V.2 Actions et sollicitations :

> Actions:

Il est rappelé que les actions sont les forces et couples dus aux charges appliquées (permanentes, climatiques, d'exploitation, etc.)

Et aux déformations imposées (variations de température, tassements d'appuis, etc.).

Pour l'application de ce qui suit, on distingue :

- Actions permanentes: notées G, dont l'intensité est constante ou très peu variable dans le temps, ou varie toujours dans le même sens en tendant vers une limite;
- ❖ Actions variables : notées Q, dont l'intensité varie fréquemment et de façon importante dans le temps ;
- \diamond Actions accidentelles : notées F_A , provenant de phénomènes rares, tels que séismes ou chocs.

> Calcul des sollicitations :

Il est rappelé que les sollicitations sont les efforts « efforts normaux 'N', efforts tranchants 'V') et les moments (moments fléchissant ' M_f ', moment de torsion ' M_t ') calculés à partir des actions par des méthodes appropriées.

> Les combinaisons d'actions :

Règlement BAEL 91 [2]:

Ce sont des combinaisons qui prennent en compte uniquement les charges permanentes Get les charges d'exploitation Q

1,35G + **1,5 Q** à l'E.L.U

G + Q à l'E.L.S

Règlement RPA 99(V2003)[1]:

Ce sont des combinaisons qui prennent en considération les charges sismiques E.

 $\mathbf{G} + \mathbf{Q} \pm \mathbf{E}(1)$

 $0.8G\pm E$ (2)

Pour le portique :

Les poteaux :

À l'ELU : 1,35G + 1,5 Q...... (BAEL 91)[2] À l'ELS : G + Q G +Q±E (RPA99 V2003)[1] 0,8 G ±E

Les poutres :

À l'ELU :1,35 G + 1,5 Q...... (BAEL 91)[2] À l'ELS :G + Q G + Q ±E.....(RPA99 v2003)[1] 0,8G±E Les voiles :

G + Q ±E.....(RPA99/2003)[1] 0.8G ±E

V.3 Ferraillage des poteaux :

Les poteaux sont des éléments structuraux assurant la transmission des efforts arrivantdespoutres vers les fondations, et sont soumis à un effort normal « N » et à un moment deflexion « M » dans les deux sens : longitudinal et transversal. Donc ils sont calculés en flexion composée, sont soumises aux efforts suivants :

- ❖ Efforts normaux 'N'.
- ❖ Moments fléchissant 'M'.
- ❖ Efforts tranchants 'V'.

En considérant les sollicitations suivantes :

- \bullet N max \rightarrow M correspondent
- \star M max \rightarrow N correspondant
- \bullet N min \rightarrow M correspondant

Avec:

- ❖ N_{max}: Effort normal maximum.
- ❖ N_{min}: Effort normal minimum.
- **❖ M**_{max}: Moment maximum.

Les armatures seront calculées à l'état limité ultime « ELU » sous l'effet des sollicitations Les plus défavorables et dans les situations suivantes :

TableauV.1: Coefficients de sécurité et contraintes caractéristiques :

	γ_b	γ_s	σ _{bc} (MPa)	f _{c28} (MPa)	σ _s (MPa)
Situation durable	1.5	1.15	14.20	25	348
Situation accidentelle	1.15	1	18.5	25	400

V.3.1 Hypothèsesdecalcul

Fissurationpeupréjudiciable.

Calculenflexion composée.

Calculsuivant BAEL91 mod.99.[2]

➤ Soitàcalculer lepoteau leplus sollicitéduRDC, avecles sollicitations suivantes :

• **ELU**:

	FX [kN]	FY [kN]	FZ [kN]	MX [kNm]	MY [kNm]	MZ [kNm]
MAX	1278,05	32,98	38,08	1,62	66,40	42,46
Barre	13	20	315	19	315	315
Noeud	25	40	123	38	145	145
Cas	6 (C)	6 (C)	6 (C)	6 (C)	6 (C)	6 (C)
MIN	74,99	-36,96	-37,97	-1,63	-66,23	-28,57
Barre	322	19	312	19	312	87
Noeud	152	37	120	37	142	10
Cas	6 (C)	6 (C)	6 (C)	6 (C)	6 (C)	6 (C)

• ELS:

	FX [kN]	FY [kN]	FZ [kN]	MX [kNm]	MY [kNm]	MZ [kNm]
MAX	928,92	23,82	27,44	1,17	47,88	29,86
Barre	13	20	315	19	315	315
Noeud	25	40	123	38	145	145
Cas	7 (C)	7 (C)	7 (C)	7 (C)	7 (C)	7 (C)
MIN	54,93	-26,90	-27,36	-1,18	-47,76	-20,40
Barre	322	19	312	19	312	20
Noeud	152	37	120	37	142	39
Cas	7 (C)	7 (C)	7 (C)	7 (C)	7 (C)	7 (C)

• **ACC**:

	FX [kN]	FY [kN]	FZ [kN]	MX [kNm]	MY [kNm]	MZ [kNm]
MAX	1275,91	69,90	57,86	2,44	100,34	86,19
Barre	13	155	315	268	315	317
Noeud	25	90	123	133	145	147
Cas	11 (C) (CQC)	11 (C) (CQC)	8 (C) (CQC)	15 (C) (CQC)	8 (C) (CQC)	14 (C) (CQC)
MIN	23,80	-88,36	-57,80	-3,01	-100,23	-98,73
Barre	98	154	312	268	312	317
Noeud	40	67	120	133	142	147
Cas	15 (C) (CQC)	10 (C) (CQC)	9 (C) (CQC)	10 (C) (CQC)	9 (C) (CQC)	11 (C) (CQC)

Tableau V.2:Sollicitations dans les poteaux.

50X50	ELU	ELS	ACC
Nmax	1278,05	928,92	1275,91
Mmax	66,40	47,88	100,34
Nmin	-37.97	-27.36	-88,36

			M ^{max}	N ^{corr}		N ^{max}	M ^{corr}		$\mathbf{N}^{ ext{min}}$	M ^{corr}
4	45×45	G+Q+Vx	100,34	111.20	ELU	1278,05	7.87	G+Q+VY	-88,36	-64.15

V.3.2 Etat limite de stabilité de forme :

Les sections soumises à un effort normal de compression doivent être justifiées vis à vis de l'état limite de stabilité de forme conformément au BAEL91 [2] en adoptant une excentricité totale de calcul : $e=e_1+e_a+e_2$

Avec:

e₁: excentricité du premier ordre.

e_a: excentricité additionnelle traduisant les imperfections géométriques initiales.

e₂: excentricité due aux efforts du second ordre

$$e_1 = \frac{M_u}{N_u}$$
; $e_a = \max\left(2cm, \frac{L}{250}\right)$; $e_2 = \frac{3l_f^2}{10000h}(2 + \alpha\phi)$

Avec:

L: longueur du poteau.

l_f: longueur de flambement du poteau.

h: hauteur totale de la section du poteau dans la direction du flambement.

α: Rapport du moment du premier ordre, dû aux charges permanentes et quasi- permanentes, au moment total du premier ordre.

$$\alpha = \frac{M_G}{M_G + M_Q}$$
 Où $\alpha = 10 \left(1 - \frac{M_u}{1,5M_{ser}} \right)$

φ: Rapport de la déformation finale due au fluage à la déformation instantanée, ce rapport est généralement pris égal à 2.

Les sollicitations de calcul deviennent ainsi : N_u inchangé , $M_u = N_u$ ($e_1 + e_2 + e_2$).

V.3.3Détermination des sections d'acier :

Exemple de calcul:

Calcul excentricité:

1^{er} cas:

$$\int N^{\text{max}} = \frac{1278.05 \text{KN}}{1278.05 \text{KN}}$$

 $\mathbf{M}^{\text{corr}} = 7.87 \text{KN.m}$

$$e_0 = \frac{Mu}{Nu} = \frac{7.87}{1278.05} = 0.0061m$$

Calcul de l'excentricité additionnelle e_a: (BAEL A.4.3.5) [2]

$$e_a = \max\left[2cm, \frac{L}{250}\right] = > e_a = \max\left[2cm; 1.24cm\right] = 2cm = 0.02m$$

$$e_1 = e_0 + e_a = 0.0261m$$

$$\frac{l_f}{h} \le \max\left(15;20\frac{e_1}{h}\right) = \frac{2.17}{0.45} \le \left(15;20 \times \frac{0.0261}{0.45}\right) = 4.82 < \max\left(15;1.16\right) \dots CV$$

Donc le calcul se faire dans la flexion composée :

Donc on calcul e₂.

Vérification de l'excentricité due aux effets du second ordre : (CBA93 A.4.3.5) [3]

$$e_2 = \frac{3 \times L_f^2}{10000 \times h} \times (2 + \alpha \phi)$$

 α : le rapport de moment de première ordre de la charge permanente au moment total de premier ordre.

$$\omega = 2$$

$$\alpha = 10 \left(1 - \frac{M_u}{1.5M_{ser}} \right) = 10 \left(1 - \frac{66.40}{1.5 (47.88)} \right) = 0.754$$

$$e_2 = \frac{3 \times (0.7 \times 3.10)^2}{10^4 \times 0.45} \times (2 + 0.754 \times 2) = 0.0110m$$

$$e_2 = 0.0110m$$

$$e = e_1 + e_2 = 0.037m$$

Il faut vérifier que :

$$M_2 = (N_u - N_0)(\frac{h}{2} - d^2) > M_u$$

$$N_0 = bhf_{bu} = 450 \times 450 \times 14.2 = 2875.5 KN$$

$$M_2 = (1278.05 - 2875.5)(\frac{0.45}{2} - 0.045) = -287.541KN....CV$$

$$M_3 = N_u (\frac{h}{2} - d^{-1}) - (0.337h - 0.81d^{-1})N_0 \le M_u$$

$$\begin{split} 1278.05(\frac{0.45}{2} - 0.045) - &(0.337 \times 0.45 - 0.81 \times 0.045) \times 2875.5 = -101.21...CNV \\ \Psi &= \frac{0.3754N_0h + N_u(\frac{h}{2} - d^3) - M_u}{(0.8571h - d)N_0} \\ \Psi &= \frac{0.3754 \times 2875.5 \times 0.45 + 1278.05(\frac{0.45}{2} - 0.045) - 4.87}{(0.8571 \times 0.45 - 0.045) \times 2875.5} = 0.725 \ \psi = 0.725 \ < 0.8095 \end{split}$$

la section est partiellement comprimée et le calcul sera fait par assimilation à laflexion simple :

$$\begin{split} M_{uA} &= N_u \times e = 1278.05 \times 0.037 = 47.28 KN.m \\ M_{uA} &= M + N_u (d - \frac{h}{2}) = 47.28 + 1278.05 (0.405 - \frac{0.45}{2}) = 277.32 KN.m \\ \mu_{bu} &= \frac{M_{uA}}{bd^2 f_{bu}} = \frac{277.32 \times 10^6}{450 \times 405^2 \times 14.2} = 0.264 \\ \varepsilon_{se} &= \frac{fe}{\gamma_s E_s} = \frac{400}{1.5(20)10^4} = 1.73\%_{00} \\ \alpha_{\lim t} &= \frac{3.5}{3.5 + 1.73} = 0.669 \\ \mu_{l_{imit}} &= 0.8\alpha_{\lim t} (1 - 0.4\alpha_{\lim t}) = 0.392 \\ \mu_{bu} &= 0.264 \prec \mu_l = 0.392......A^* = 0 \\ \alpha &= 1.25 \times (1 - \sqrt{1 - 2 \times \mu_{bu}}) = 1.25 \times (1 - \sqrt{1 - 2 \times 0.264}) = 0.39 \\ \beta &= 1 - 0.4\alpha = 1 - 0.4(0.39) = 0.84 \\ &= \frac{Mu}{4} \end{split}$$

$$A_{1} = \frac{Mu}{\beta d\sigma_{s}}$$

$$A_{1} = \frac{277.32 \times 10^{3}}{0.84 \times 0.405 \times 348} = 23.42cm^{2}$$

$$A_{\rm i} = 23.42cm^2$$

$$\begin{bmatrix}
\mathbf{N}^{\min} = -88,36KN \\
\mathbf{M}^{\mathbf{corr}} = -64.15KN.m
\end{bmatrix}$$

$$e_G = \frac{Mu}{Nu} = \frac{= -64.15}{-88.36} = 0.726m$$

$$e_G \le d - \frac{h}{2} = (40.5 - \frac{45}{2}) \Rightarrow 72.26cm \ge 18cm...CNV$$

N est un effort de traction donc la section est entièrement tendue.

$$e_{a1} = h/2$$
 - $d' + /e$ / = 0.225 - 0.045 + 0.726 = 0.906m=90.6cm

$$e_{a2} = h/2$$
 - d' - /e / = 0.225 - 0.045 - 0.726 = 0.546m = 54.6cm

$$A1 = (N * eA2)/(eA1 + eA2)\sigma s = 403.7 \text{ mm}^2 \rightarrow A1 = 4.04 \text{ cm}^2$$

$$A2 = (N * eA1)/(eA1 + eA2)\sigma s = 66.73 \text{ mm}^2 \rightarrow A2 = 0.66 \text{ cm}^2$$

$$A = A_1 + A_2 = 4.70 \text{ cm}^2$$

Calcul Amin:

$$A_{\min} = \frac{B \times f_{t28}}{f_e} = 10.63cm^2$$

$$\mathbf{M}^{\text{max}} = 100.34 \text{KN.m}$$
$$\mathbf{N}^{\text{corr}} = 111.20 \text{KN}$$

Calcul excentricité:

$$e_0 = \frac{Mu}{Nu} = \frac{100.34}{111.20} = 0.902m$$

Calcul de l'excentricité additionnelle ea: (BAEL A.4.3.5) [2]

$$e_a = \max\left[2cm, \frac{L}{250}\right] = > e_a = \max\left[2cm, 1.24cm\right] = 0.02m = 2 cm$$

$$e_1 = e_0 + e_a = 0.92m = 92.23cm$$

$$\frac{l_f}{h} \le \max\left(15;20\frac{e_1}{h}\right) = \frac{2.17}{0.45} \le \left(15;20 \times \frac{0.92}{0.45}\right) = 4.82 < \max\left(15;40.88\right) \dots CV$$

Donc le calcul se faire dans la flexion composée :

- Donc on calcul e₂

Vérification de l'excentricité due aux effets du second ordre : (CBA93 A.4.3.5) [3].

$$e_2 = \frac{3 \times L_f^2}{10000 \times h} \times (2 + \alpha \phi)$$

$$\alpha = 10 \left(1 - \frac{M_u}{1.5M_{ser}} \right) = 10 \left(1 - \frac{66.40}{1.5(47.88)} \right) = 0.754$$

$$e_2 = \frac{3 \times (0.7 \times 3.06)^2}{10^4 \times 0.45} \times (2 \times 0.774 \times 2) = 0.0110m$$

$$e_2 = 0.0110cm$$

$$e = e_1 + e_2 = 92.241cm$$

il faut vérifier que :

$$M_{2} = (N_{u} - N_{0})(\frac{h}{2} - d^{2}) > M_{u}$$

$$N_{0} = bhf_{bu} = 450 \times 450 \times 14.2 = 2875.50KN$$

$$M_{2} = (111.20 - 2875.5)(\frac{0.45}{2} - 0.45) = 621.97KN.m$$

$$M_{3} = N_{u}(\frac{h}{2} - d^{2}) - (0.337h - 0.81d^{2})N_{0} \le M_{u}$$

$$M_3 = N_u (\frac{h}{2} - d^{-1}) - (0.337h - 0.81d^{-1})N_0 \le M_u$$

$$111.20(\frac{0.45}{2} - 0.45) - (0.337 \times 0.45 - 0.81 \times 0.045) \times 2875.5 = -356.28KN.m$$

$$\Psi = \frac{0.3754N_0h + N_u(\frac{h}{2} - d^{\cdot}) - M_u}{(0.8571h - d)N_0'}$$

$$\Psi = \frac{0.3754 \times 2875.5 \times 0.45 + 111.20(\frac{0.45}{2} - 0.045) - 100.34}{(0.8571 \times 0.45 - 0.045) \times 2875.5} = 041 \ \psi = 0.41 \times 0.8095$$

La section est partiellementcomprimée et le calcul sera fait par assimilation à laflexion simple:

$$M_{uA} = N_u \times e = 111.20 \times 0.92 = 102.304 KN.m$$

$$M_{uA} = M + N_u (d - \frac{h}{2}) = 102.304 + 111.20(0.405 - \frac{0.45}{2}) = 122.32 KN.m$$

$$\mu_{bu} = \frac{M_{uA}}{bd^2 f_{bu}} = \frac{122.32 \times 10^6}{450 \times 405^2 \times 14.2} = 0.177$$

$$\varepsilon_{se} = \frac{fe}{\gamma_s E_s} = \frac{400}{1.5(20)10^4} = 1.73\%_{00}$$

$$\alpha_{\lim t} = \frac{3.5}{3.5 + 1.73} = 0.669$$

$$\mu_{l_{imit}} = 0.8\alpha_{l_{imit}}(1 - 0.4\alpha_{l_{imit}}) = 0.392$$

$$\mu_{bu} = 0.177 < \mu_l = 0.392.....A^{-1} = 0$$

$$\alpha = 1.25 \times (1 - \sqrt{1 - 2 \times \mu_{bu}}) = 1.25 \times (1 - \sqrt{1 - 2 \times 0.177}) = 0.245$$

$$\beta = 1 - 0.4\alpha = 1 - 0.4(0.245) = 0.902$$

$$A_1 = \frac{Mu}{\beta d\sigma_s}$$

$$A_1 = \frac{122.32 \times 10^3}{0.902 \times 0.405 \times 348} = 962.18 mm^2 \implies A_1 = 9.62 cm^2$$

$A_1 = 9.62cm^2$

Armatures finales:

$$Af = \max(A_{calculer}, A_{BAEL}.A_{RPA})$$

 $A_{RPA}(Min) = 0.008 \times b \times h$

Tableau V.3: Ferraillage longitudinal des poteaux.

Niveau	Sectiondu Poteau (cm)	Acalculer	Amin (cm²) (RPA)	Choix des armatures	A adpt (cm ²)
RDC+1 ^{er} jusqu'à 5 ^{em} e	45×45	23.42	16.20	5HA12+6HA20	24.50

V.4 Recommandations des règlements :

V.4.1 Armatures longitudinales:

Selon RPA version 2003 [1]:

- Les armatures longitudinales doivent être à haut adhérence, droites et sans crochets.
- Leur pourcentage est limité par :

$$0.8\% \le \frac{A}{bh} \le 4\%$$
 (Zone courante)

$$0.8\% \le \frac{A}{bh} \le 6\%$$
 (Zone de recouvrement)

- Le diamètre minium est de 12mm.
- La longueur minimal des recouvrements est de 400 en (**Zone IIA**).
- La distance maximale entre les barres verticales dans une face du poteau ne doit pas dépasser 25cm en (**Zone IIA**).

Le tableau suivant résume le ferraillage minimal et maximal des poteaux selon le RPA[1].

Tableau V.4: Armatures longitudinales minimales et maximales selon le RPA dans les poteaux.

	Section du	A _{min} (cm ²)	A _{max} (cm ²)		
Niveau	Poteau (cm ²)	(RPA99/2003) Amin=0.8%b.h	Zone courante	Zone de recouvrement	
RDC+1 ^{er} , 2 ^{eme} ,3 ^{eme} 4 ^{eme} ,5 ^{eme}	45×45	16.20	64	96	

SelonBAEL [2]:

La section d'acier minimale

Amin = max(4cm de périmètre ; 0,2%. b. h).

Condition de non fragilité:

$$A_{\min} = \frac{B \times f_{t28}}{f_{\circ}}$$

La section d'acier maximale :

$$A_{\text{max}} = 5 \% bh$$

Le tableau suivant résume le ferraillage minimal et maximal des poteaux selon le BAEL [2]:

Tableau V.5: Armatures longitudinales minimales et maximales selon **BAEL**[2]danslespoteaux.

Niveau	Section du (cm²)	Poteau	Amin (cm²) (BAEL)	A _{max} (cm ²)
RDC+1 ^{er} ,2 ^{eme} ,3 ^{eme} 4 ^{eme} ,5 ^{eme}	45×4	5	10.63	101.25

Armatures transversales :

Les armatures transversales sont calculées suivants les règlements

BAEL91 [2]et RPA99[1].

❖ Selon le BAEL91[2]

$$\phi_t \leq \min(\frac{h}{35}; \frac{b}{10}; \phi_t)$$

Selon le RPA99 (art7.4.2.2)[1]:

Les armatures transversales sont calculées à partir de la formule suivante :

$$\frac{A_t}{S_t} = \frac{\rho_a T_u}{hfe}$$

Avec:

h: hauteur de la section brute.

T_u: effort tranchant de calcul.

fe : contrainte limite élastique des armatures transversale.

 ρ_a : Coefficient correcteur qui tient compte du mode fragile de la rupture par l'effort tranchent, il est pris égal à :

$$\begin{cases} \rho_a = 2,5....si\lambda_g \ge 5 \\ \rho_a = 3,75....si\lambda_g < 5 \end{cases}$$

 $\lambda_{\scriptscriptstyle g}$ Est l'élancement géométrique du poteau :

$$\lambda_g = \frac{l_f}{a}Ou\frac{l_f}{b}$$

$$\lambda_g = \frac{l_f}{a} = \frac{2.17}{0.45} = 4.82 < 5$$

Donc:

$$\rho_a = 2.5$$

 S_t : espacement des armatures transversales dont la valeur maximale est fixée en **zone IIa** comme suit : En zone nodale : $S_t \le \min(10\phi_l;15cm)$

Dans la zone courante : $S_t \leq 15\phi_t$

En zone nodale : $S_t \leq \min(10\phi_t; 15cm)$

 $S_t \leq \min(10 \times (1.2); 15cm)$

 $S_t \leq 12mm$

 $S_t = 10mm$

Dans la zone courante : $S_t \le 15\phi_l$

 $S_t \leq 15\phi_l$

 $S_{t} \leq 15 \times (1.2)$

 $S_t \leq 18mm$

 $S_t = 15mm$

Φ1:Le diamètre minimal des armatures longitudinales des poteaux.

Tableau V.6: Choix des armatures transversales pour les poteaux

Niveaux	Sectio n (cm2)	L _f (m)	λg(%)	ρα	T _{umax} (k N)	Zo ne	S _t (cm	A _{calt} (cm ²)	Choix	At (cm ²)
RDC+1 ^{er} ,2 ^{eme} ,3 ^{eme} ,4 ^{eme} ,5 ^{eme}	45×45	2.17	4.82	2.5	38.08	N C	10	0.77 1.15	6T8	3.02

Conformément aux règles du RPA 99/03[1] et au BAEL 91[2], le diamètre des armatures transversales doit être supérieur au tiers du maximum des diamètres des armatures longitudinales.

$$\phi t \ge \frac{1}{3} \phi_t^{\text{max}} \Rightarrow 8 > \frac{20}{3} = 6.66....CV$$

V.4.2 Vérifications :

a) Justification de la contrainte de cisaillement :

Le calcul de la contrainte de cisaillement se fait au niveau de l'axe neutre de la section il est en fonction de ses dimensions ainsi que l'effort tranchant à l'état limite ultime, elle est donnée par :

$$\tau_u = \frac{T_{\text{max}}}{b \cdot d}$$

T_u: L'effort tranchant pour l'état limite ultime.

b: Largeur de la section du poteau.

d: Hauteur utile de la section du poteau.

 $\tau_{\rm u}$: Contrainte de cisaillement.

 $\overline{\tau_u}$: Contrainte limite de cisaillement du béton.La valeur de la contrainte $\overline{\tau_u}$ doit être limitée aux valeurs suivantes :

❖Selon BAEL99[2]

$$\overline{\tau_{ad}} = \min(0.15 f_{c28}, 4 MPa) = 2.5 MPa$$

♦Selon RPA99 v 2003[1]

$$\bar{\tau} = \rho_b \cdot f_{c28}$$

$$\int \rho_b = 0.075 \quad \text{si } \lambda_g > 5$$

$$\rho_b = 0.04 \quad \text{si } \lambda_g \le 5$$

Avec:

λ: L'élancement du poteau.

- i : Rayon de giration.
- I : Moment d'inertie de la section du poteau dans la direction considérée.
- B: Section du poteau.

L_f: Longueur de flambement.

Les résultats sont regroupés dans le tableau suivant :

Tableau V.7: Justification de la contrainte de cisaillement

Niveaux	Section (cm ²)	L _f (m	λg(%)	ρα	T _{umax} (kN)	Zone	S _t (cm)	A _{calt} (cm ²)	Choi x	At (cm ²)
1 ^{er} ,2 ^{eme} , 3 ^{eme} 4 ^{eme} ,5 ^{eme}	45×45	2.17	4.82	2.5	38.08	N	10	0.77	6T8	3.02
et 6 ^{eme}						С	15	1.15	010	

Longueur de recouvrement :

La longueur minimale de recouvrement est de L_r=40Ølen (zone IIa).

Pour ·

 $T_{20}....L_r\!\!=\!\!80cm.$

 T_{12}L_r= 48cm.

b) Vérification à l'état limite ultime de stabilité de forme :

Les éléments soumis à la flexion composée, doivent être justifiés vis-à-vis du flambement, effort normal ultime est définit comme étant l'effort axial maximal que peutsupporter un poteau sans subir des instabilités par flambement.Le poteau le plus élancé dans ce projet se situe au niveau duR.D.C,

avec une longueur $\text{del}_0 = 3.10 \text{m}$ et un effort normal égal $1505.33 \text{ KN}. N_u \leq \overline{N} = \alpha \left[\frac{B_r \times f_{c28}}{0.9 \gamma_b} + A \frac{f_e}{\gamma_s} \right]$

CBA 93(Article B.8.4.1)[3]

 α : est un coefficient fonction de l'élancement mécanique λ .

$$\lambda = \max(\lambda x; \lambda y)$$

$$l_f = 0.7 \times l_0 = 2.17m$$

$$\lambda = \sqrt{12} \times \frac{l_f}{b} = 16.70 < 50$$

$$\alpha = \frac{0.85}{1 + 0.2 \left(\frac{\lambda}{35}\right)^2} = 0.81$$

B_r: est la section réduite du poteau obtenue en déduisant de sa section réelle 1 cm d'épaisseur sur tout son périphérique.

$$B_r = (h-2) (b-2) = 0.1849$$

$A = 24.50 \text{ cm}^2$

$$\overline{N} = 0.85 \left[\frac{0.1849 \times 10^6 \times 25}{0.9 \times 1.5} + 2450 \frac{400}{1.15} \right] = 3634.81 KN$$

1278.05 < 3634.81*KN*

c) Vérification vis-à-vis de l'E.L. S:

Les contraintes sont calculées à l'état limite de service sous (Mser,Nser) puis elles sont comparées aux contraintes admissible données par

$$\sigma_{bc} \leq \overline{\sigma}_{bc}$$

$$\sigma_{b} = \frac{M_{ser}}{I} y \leq \overline{\sigma}_{bc}$$

$$\overline{\sigma}_{bc} = 0.6 \times f_{c28} = 0.6 \times 25 = 15Mpa$$

$$Ms = 47.88KN.m$$

Position de l'axe neutre :

$$\frac{b}{2} \times y^2 + \eta \times A'_s(y - c') - n \times A_s(d - y) = 0$$

$$Avec \to n = 15$$

$$h \times A'_s(y - c') = 0$$

$$\frac{45}{2}y^2 - 15 \times 24.5(40.5 - y) = 0$$

$$22.5y^2 + 367.5y - 14883.75$$

$$\Delta = b^2 - 4ac = 1214.33$$

$$y = \frac{1112.2 - 379.5}{2 \times 20} = 18.82cm$$

Moment d'inertie :

$$I = \frac{b \times y^3}{3} + n \times A_s (d - y)^2$$

$$I_t = \frac{45 \times 18.82^3}{3} + 15 \times 24.5(40.5 - 18.82)^2 = 272696.43cm^4$$

$$\sigma_b = \frac{47.88 \times 10^6 \times 18.82}{272696.43 \times 10^4} . = 3.30 \le \overline{\sigma}_{bc} = 15 \to cv$$

$$\overline{\delta_{bc}} \le 0.6 f_{c28}$$

Les cadres doivent être formés par un crochet de 135° et une longueur de $10\phi_t$.

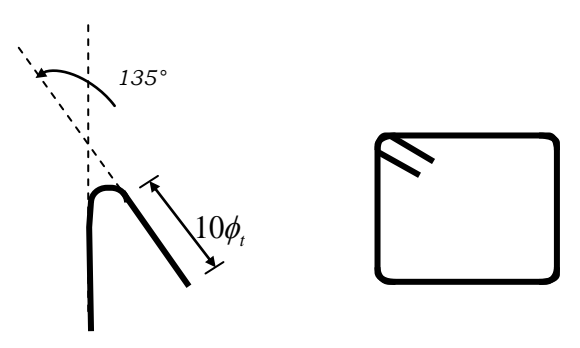


Figure V.1: Schéma de cadres.

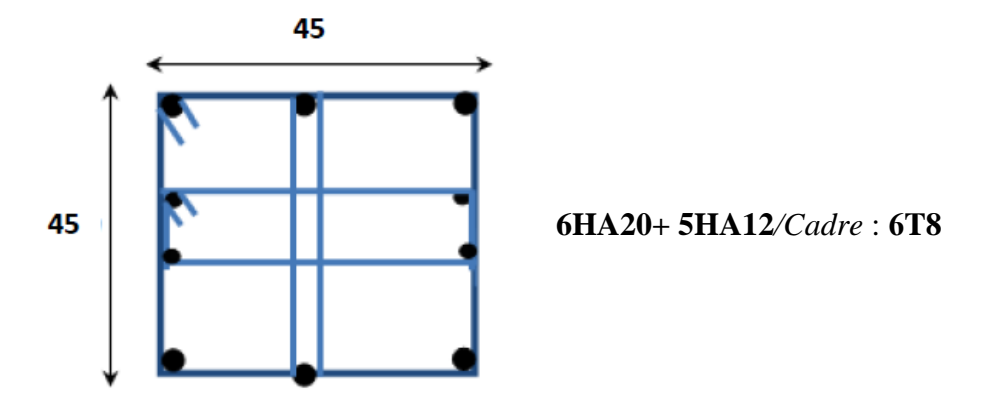


Figure V.2 : Schéma de ferraillage des poteaux (45x45).

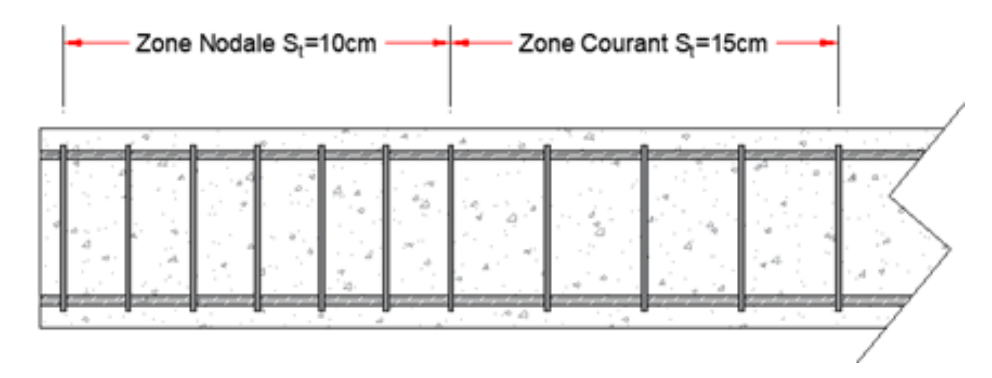


Figure V.3: Schéma de l'espacement zone courante et zone nodale.

V.5 Ferraillage des poutres :

Les poutres sont les éléments horizontaux qui ont le rôle de transmettre les charges apportées par les dalles aux poteaux.

Les poutres seront calculées en flexion simple d'après les règlements du BAEL 91[2], on se rapportera aussi au RPA 99/version 2003[1] pour la vérification.

- Les combinaisons d'action sont les suivantes :
- La combinaison fondamentale BAEL 91[2]:

ELU

$$G+Q$$

ELS

➤ Combinaisons accidentelles RPA 99V2003 [1]:

$$G+Q+-E$$

0.8G + -E

✓ Dans notre projet on a deux poutres à étudier :

Poutres principales (30*40)

Poutres secondaires (25*35)

V.5.1 Recommandations du RPA99/2003 [1]:

Les armatures longitudinales : RPA 99/2003 (Article 7.5.2.1) [1]

Le pourcentage total minimum des aciers longitudinaux sur toute la longueur de la poutre est de 0.5% de la section du béton en toute section :

Le pourcentage total maximum des aciers longitudinaux est de :

- ✓ La section du béton en zone courante.
- ✓ La section du béton en zone de recouvrement.
- \checkmark La longueur minimale des recouvrements est de 40Φ en zone.

Les poutres supportent de faibles charges verticales et sollicitées principalement par les forces latérales sismiques doivent avoir des armatures symétriques avec une section en travée au moins égale à la moitié de la section sur appui.

• Les armatures transversales : RPA 99/2003 (article 7.5.2.2) [1]

La quantité d'armatures transversales minimales est donnée par :

Avec espacement maximum entre les armatures transversales est déterminé comme suit : En zon nodale.

$$S_t \leq \min(\frac{h}{4};12\phi)$$

En zon courante

$$S_t \leq \frac{h}{2}$$

La valeur du diamètre des armatures longitudinales à prendre est le plus petit diamètre utilisé. Dans le cas d'une section en travée avec armatures comprimées, c'est le diamètre le plus petit des aciers comprimés.

Les premières armatures transversales doivent être disposées à 5cm au plus du nu d'appui ou de l'encastrement.

V.5.2 Ferraillage des poutres

V.5.2.1 Poutre principale

a) Les armatures transversales :

Pour le calcul on va prendre les moments maximums (en travée et sur appui). D'après les résultats du logiciel **ROBOT 2014.**

Tableau V.8 : Sollicitations de la poutre principale.

		En Appuis		En Travée			
Section	M _{ELU}	M_{ELS}	M_{ACC}	$M_{ m ELU}$	M_{ELS}	M_{ACC}	
30*40	-86,02	-62.90	-83.67	47.70	34.88	66.15	

• Ferraillage sous la combinaison (0.8G + Vy):

Ferraillage en travée :

$$M_{t \max} = 66.15 \text{KN.m}$$

$$h = 40 \text{cm} ; b = 30 \text{ cm} ; \mathbf{d} = \mathbf{0.9} \times \mathbf{h} = \mathbf{36 \text{cm}}$$

$$\mu = \frac{M_U}{b d^2 f_{bu}}$$

$$f_{bu} = \frac{0.85 \times f_{c28}}{\theta \times \gamma_b} = \frac{0.85 \times 25}{1 \times 1.5} = 14.20 MPa$$

$$\mu = \frac{M_U}{b d^2 f_{bu}} = \frac{66.15 \times 10^6}{300 \times 360^2 \times 14.20} = 0.12$$

 μ < 0.186 \Rightarrow donc il n'est pas nécessaire de mettre des armatures comprimées On se trouve dans le domaine 1,

$$\begin{split} \mu_{bu} &= 0.12 \leq \mu_{ab} = 0.186 \rightarrow Pivot...A \\ \mu_{bu} &= 0.12 \leq \mu_{l} = 0.392 \rightarrow A' = 0 \\ \alpha &= 1.25(1 - \sqrt{1 - 2\mu}) = 0.160 \ Z = d(1 - 0.4\alpha) = 360(1 - 0.4 \times 0.16) = 336.92mm \end{split}$$

• Section des armatures :

$$A_s = \frac{M_u}{Z \times \frac{f_e}{\gamma_s}} = \frac{66.15 \times 10^6}{336.92 \frac{400}{1.15}} = 5.64 cm^2$$

On prend: 4HA14=6.16cm²

• Vérification de la condition de non fragilité :

$$A_{MIN} = 0.23 \times b \times d \times \frac{f_{t28}}{f_e} = 0.23 \times 300 \times 360 \times \frac{2.1}{400} \Rightarrow A_{\min} = 130.41 mm^2 = 1.3 cm^2$$

$$f_{t28} = 0.6 + 0.06 \times f_{t28} = 2.1 MPa$$

 $A_S = max(A_{MIN}, A_{CAL}) = max(1.3; 5.64) \rightarrow A_S = 5.64 \text{ cm}^2$

Ferraillage en appui (G + Q - Vy):

$$M_{t \text{ max}} = -86.02 \text{KN.m}$$

$$h = 40 \text{ cm}$$
; $b = 30 \text{ cm}$; $d = 0.9 \times h = 36 \text{ cm}$

$$\mu = \frac{M_U}{bd^2 f_{bu}}$$

$$f_{bu} = \frac{0.85 \times f_{c28}}{\theta \times \gamma_b} = \frac{0.85 \times 25}{1 \times 1.5} = 14.20 MPa$$

$$\mu = \frac{M_u}{bd^2 f_{bu}} = \frac{86.02 \times 10^6}{300 \times 360^2 \times 14.20} = 0.155$$

µ<0.186 ⇒donc il n'est pas nécessaire de mettre des armatures comprimées :

On se trouve dans le domaine 1,

$$\mu_{bu} = 0.155 \le \mu_{ab} = 0.186 \rightarrow pivot...A$$

$$\mu_{bu} = 0.155 \le \mu_{l} = 0.392 \rightarrow A' = 0$$

$$\alpha = 1.25(1 - \sqrt{1 - 2\mu}) = 0.211$$

$$Z = d(1 - 0.4\alpha) = 360(1 - 0.4 \times 0.229) = 329.616mm$$

• Section des armatures :

$$A_s = \frac{M_u}{Z \times \frac{f_e}{\gamma_s}} = \frac{86.02 \times 10^6}{329.616 \frac{400}{1.15}} = 7.50 cm^2$$

On prend : 6HA14= 9.23 cm²

• Vérification de la condition de non fragilité :

$$A_{MIN} = 0.23 \times b \times d \times \frac{f_{t28}}{f_e} = 0.23 \times 300 \times 360 \times \frac{2.1}{400} \Rightarrow A_{min} = 130.41 mm^2 = 1.3 cm^2$$

$$f_{t28} = 0.6 + 0.06 \times f_{c28} = 2.1MPa$$

 $A_S = max(A_{MIN}, A_{CAL}) = max(1.46; 7.50) \rightarrow A_S = 7.50 \text{ cm}^2$

Tableau V.9 : Ferraillage des poutres principales.

Position	$M_{\rm u}$	В	h	d	$\mathbf{U}_{\mathbf{bu}}$	α	Z	As	A _{min}	A
Travée	66.15	30	40	36	0.12	0.160	336.9	5.64	1.30	4HA14=6.16
Appuis	- 86.02	30	40	36	0.186	0.211	329.6	7.50	1.30	6HA14=9.23

• Vérification du ferraillage des poutres principales :

Section minimale: RPA 99 (article 7.5.2.1)[1].

Amin =
$$0.5\%$$
 (b x h) = 0.005 (30*40) = 6 cm².

Section maximale: RPA 99 (article 7.5.2.1) [1]

4% b*d : En zone courante (A_{min}=0.04*30*36=43.2cm²).

6% b*d: En zone de recouvrement ($A_{min}=0.06*30*36=64.8cm^2$).

➤ Vérification à L'ELU :

Vérification de la contrainte de cisaillement :

$$\tau_u \leq \overline{\tau}_u$$

Fissuration peu préjudiciable :

$$\overline{\tau_{u}} = \min \left\{ 0.2 \times \frac{f_{c28}}{\gamma_{b}}; 5MPa \right\} = \min \left\{ 3.33MPa; 5MPa \right\} = 3.33MPa$$

$$\overline{\tau_{u}} = 3.33MPa$$

$$\tau_{u} = \frac{v}{b \times d} = \frac{110790}{300 \times 360} = 1.02MPa$$

$$v = 110.79 KN.m$$

$$\tau_u = 1.02MPa \le 3.33MPa \Longrightarrow CV$$

Calcul du ferraillage transversal:

Avec: b = 30cm; d = 40 cm

> Calcul de la section des armatures transversales :

Choix du diamètre :

On a:
$$: \phi_t \le \min(\frac{h}{35}; \frac{b}{10}; \phi \min) = \min(11.42; 30; 1.4)$$

Soit:
$$\phi_t \leq 1.4cm$$

On prend:
$$\phi_t = 8mm \Rightarrow A_t = 4HA8 = 2.01cm^2$$
 (1cadre + 1 étrier)

Espacement des barres : Selon BAEL91[2]

$$S_t \le \min(0.9d; 40cm) \Rightarrow S_t = \min(0.9*36cm)$$
$$St_1 = 32.40cm$$

$$S_t \le \frac{At \times fe}{0.4 \times b} \Longrightarrow S_t = \frac{2.01 \times 400}{0.4 \times 30}$$

$$St_2 = 67cm$$

$$S_{t} \leq \frac{0.9 \times At \times fe}{\gamma s \times b \times (\pi u - 0.3 ft 28)} \Rightarrow S_{t} = \frac{0.9 \times 400 \times 2.01}{30 \times 1.15 \times (1.02 - 0.3 \times 2.1)}$$

$$St_3 = 53.78cm$$

$$S_t = \min(st1; st2; st3)) \Rightarrow S_t = \min(32.40;67;53.78)$$

$$St = 32.40cm$$

Selon RPA99[1]:

En zone nodale:

$$S_t \le \min(\frac{h}{4};12\phi) \Rightarrow S_t = \min(\frac{40}{4};12 \times 1.4)$$

 $St \le 10cm$

En zone courante:

$$S_t \le \frac{h}{2} = \frac{40}{2}$$

$$St \le 20cm$$

Donc on adopte:

St=10cm; En zone nodale

St=15cm; En zone courante.

> Vérification de la section minimale des armatures transversales selon le RPA 99 [1]:

$$At_{\min} \leq At$$

$$At_{\min} = 0.003 \times St \times b = 0.003 \times 15 \times 30 = 1.35 cm^2$$

$$At_{\min} = 1.35 \le At \rightarrow cv$$

➤ La longueur minimale des recouvrements des armatures longitudinales :

D'après le RPA99 /2003[1] la longueur minimale de recouvrement dans la zone **Ha**est de 40ϕ

$$Lr = 40 \times dl = 40 \times 1.4 = 56cm$$

On adopte: 60ϕ

$$Lr = 60 \times dl = 60 \times 1.4 = 84cm$$

On adopte : $L_r = 84$ cm

• Vérification à L'ELS :

Vérification de l'état limite de compression du béton :

$$\sigma_{bc} \leq \overline{\sigma}_{bc}$$

$$\sigma_b = \frac{M_{ser}}{I} \, y \le \overline{\sigma}_{bc}$$

$$\overline{\sigma}_{bc} = 0.6 \times f_{c28} = 0.6 \times 25 = 15MPa$$

En travée:

Mt=34.88KN.m

Position de l'axe neutre :

$$\frac{b}{2} \times y^{2} + \eta \times A'_{s}(y - c') - n \times A_{s}(d - y) = 0$$

$$Avec \to n = 15$$

$$h \times A'_{s}(y - c') = 0$$

$$\frac{30}{2}y^{2} - 15 \times 6.16x(36 - y) = 0$$

$$y^{2} + 6.16y - 221.76 = 0$$

$$\Delta = 30.41$$

$$y = 12.11cm$$

Moment d'inertie :

$$I = \frac{b \times y^{3}}{3} + n \times A_{s}(d - y)^{2}$$

$$I_{t} = \frac{30 \times 12.11^{3}}{3} + 15 \times 6.16x(36 - 12.11)^{2} = 70495.21cm^{4}$$

$$\sigma = \frac{34.88 \times 10^{6} \times 121.1}{70495.21 \times 10^{4}} = 5.99 \le \overline{\sigma}_{bc} = 15 \to CV$$

> En appuis :

Position de l'axe neutre :

$$\frac{b}{2} \times y^2 + \eta \times A'_s(y - c') - n \times A_s(d - y) = 0$$

$$Avec \to n = 15$$

$$h \times A'_s(y - c') = 0$$

$$\frac{30}{2}y^2 - 15 \times 9.23(36 - y) = 0$$

$$y^2 + 9.23y - 332.28$$

$$\Delta = b^2 - 4ac = 37.60$$

$$y = \frac{-9.23 + 37.60}{2} = 14.18cm$$

Moment d'inertie :

$$I = \frac{b \times y^3}{3} + n \times A_s (d - y)^2$$

$$I_t = \frac{30 \times 14.18^3}{3} + 15 \times 9.23x(36 - 12.11)^2 = 30481.09cm^4$$

$$\sigma = \frac{62.90 \times 10^6 \times 14.80}{30481.02 \times 10^4} = 3.05 \le \overline{\sigma}_{bc} = 15 \to CV$$

Tableau V.10 : Vérification a l'ELS de la poutre principale

	M (KN.m)	Y(cm)	I (cm ⁴)	σ_{bC} (MPa)	$\overline{\sigma}_{bc}$ (MPa)	
Travée	66. 15	12.11	70495.21	5.99	15	CV
Appuis	-8602	14.18	30481.09	3.05	15	CV

➤ Vérification de la flèche : BAEL 91(article B.6.5.1) [2]

Si les trois conditions suivantes de la flèche sont vérifiées, le calcul de la flèche ne s'imposera pas : h=40cm; L=4.40m; b=30cm; As=6.16cm²;

$$\frac{h}{l} \ge \frac{1}{16} \dots \Rightarrow \frac{40}{440} = 0.09 \ge 0.0625 \dots CV$$

$$\frac{h}{l} \ge \frac{Mt}{10M_0} = \frac{0.85M_0}{10M_0} \dots \Rightarrow 0.09 \ge 0.085 \dots CV$$

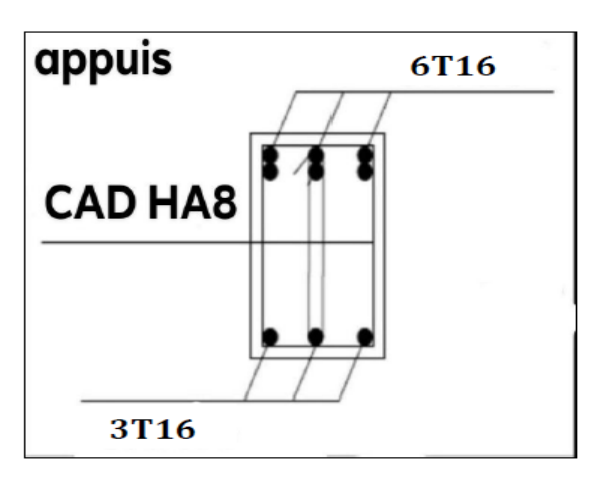
$$\frac{As}{bd} \le \frac{4.2}{fe} \dots \Rightarrow 5.70 \times 10^{-3} \le 0.0105 \dots CV$$

Calcul de la flèche par la méthode d'inertie fissurée :

Il faut que:

$$\begin{split} f &= \frac{Mt}{10 \times Ei \times I_{fi}} = \frac{66.15}{10 \times 32164.2 \times 172736.93} = 1.19 \times 10^{-9} \le f = 0.05 \frac{L}{1000} = 0.022cm \\ I_{fi} &= \frac{1.1 \times I_0}{1 \times \lambda i \times u} = \frac{1.1 \times 188027.05}{1.1934} = 172736.93cm^4 \\ I_0 &= 188027.05cm^4 \\ \rho &= \frac{A_s}{b \times d} = \frac{6.16}{30 \times 36} = 0.0057 \\ u &= 1 - \frac{1.75 \times ft28}{4 \times \rho \times \sigma s \times ft28} = 0.78 \\ \lambda i &= \frac{0.05 ft28}{\rho(2 + 3\frac{b0}{b})} = 1.53 \end{split}$$

$$f=1.19\times 10^{-9} \leq \bar{f}=0.022cm$$
...... Donc la flèche est Vérifiée.



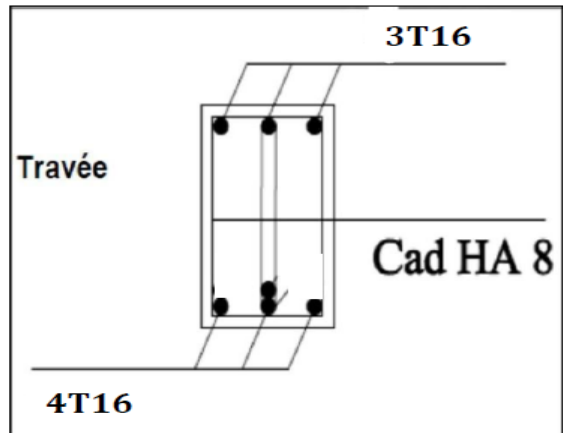


Figure V.4: Schéma de ferraillage des poutres principales.

V.5.2.2 Poutre secondaires:

Tableau V.11: Sollicitations de la poutre secondaires.

		En Appuis		En Travée			
Section	M _{ELU}	M_{ELS}	M_{ACC}	M_{ELU}	M_{ELS}	M_{ACC}	
25*35	-31.96	-22.78	-81.59	22.98	16.60	82.94	

Tableau V.12: Ferraillage des poutres secondaires.

Position	M_{u}	В	h	d	u _{bu}	α	Z	As	A _{min}	A
Travée	82.94	25	35	31.5	0.235	0.339	272.28	8.75	0.95	6HA16=12.06
Appuis	-81.59	25	35	31.5	0.231	0.333	273.4	8.58	0.95	6HA14=9.24

Vérification du ferraillage des poutres secondaires :

Section minimale: RPA 99 (article 7.5.2.1) [1]

Amin = 0.5% (b x h) = 0.005 (25*35) = 4.37cm².

Section maximale: RPA 99 (article 7.5.2.1) [1]

4% b*d; En zone courante (A_{min}=0.04*25*31.5=31.5cm²)

6% b*d; En zone de recouvrement ($A_{min}=0.06*25*31.5=47.25cm^2$)

> Vérification à L'ELU:

> Vérification de la contrainte de cisaillement :

$$\tau_u \leq \overline{\tau}_u$$

Fissuration peu préjudiciable :

$$\overline{\tau_u} = \min\left\{0.2 \times \frac{f_{c28}}{\gamma_b}; 5MPa\right\} = \min\left\{3.33MPa; 5MPa\right\} = 3.33MPa$$

$$\overline{\tau_u} = 3.33MPa$$

$$\tau_u = \frac{v_u}{b \times d} = \frac{47.61 \times 10^3}{250 \times 315} = 0.60 Mpa$$

$$v = 47.61KN.m$$

$$\tau_u = 0.60MPa \le 3.33MPa \Longrightarrow CV$$

Calcul du ferraillage longitudinal:

Avec:
$$b = 25cm$$
; $d = 31.5cm$

> Calcul de la section des armatures transversales :

Choix du diamètre:

On a:
$$: \phi_t \le \min(\frac{h}{35}; \frac{b}{10}; \phi \min) = \min(1; 2.5; 1.4)$$

Soit:
$$\phi_t = 1cm$$

On prend:
$$\phi_t = 8mm \Rightarrow A_t = 4HA8 = 2.01cm^2$$
 (1cadre + 1 étrier)

Espacement des barres : Selon BAEL91 [2]

$$S_t \le \min(0.9d; 40cm) \Rightarrow S_t = \min(0.9*31.5, 40cm)$$

$$St_1 = 28.35cm$$

$$S_t \le \frac{At \times fe}{0.4 \times b} \Rightarrow S_t = \frac{2.01 \times 400}{0.4 \times 25}$$

$$St_2 = 80.4cm$$

$$S_{t} \leq \frac{0.9 \times At \times fe}{\gamma s \times b \times (\pi u - 0.3 ft 28)} \Rightarrow S_{t} = \frac{0.9 \times 400 \times 2.01}{25 \times 1.15 \times (0.60 - 0.3 \times 2.1)}$$

$$St_3 = cm$$

$$S_t = \min(st1; st2; st3)) \Rightarrow$$

$$St = 28.35cm$$

Selon RPA99[1]:

En zone nodale:

$$S_t \le \min(\frac{h}{4};12\phi) \Rightarrow S_t = \min(\frac{35}{4};12 \times 1.4)$$

$$St \leq 8.75cm$$

En zone courante:

$$S_t \leq \frac{35}{2}$$

$$St \le 17.5cm$$

Donc on adopte:

St=10cm En zone nodale

St=15cm En zone courante.

➤ Vérification de la section minimale des armatures transversales selon le RPA 99 [1]:

$$\begin{aligned} At_{\min} &\leq At \\ At_{\min} &= 0.003 \times St \times b = 0.003 \times 15 \times 25 = 1.12 cm^2 \\ At_{\min} &= 1.12 \leq At = 2.01 \rightarrow cv \end{aligned}$$

> La longueur minimale des recouvrements des armatures longitudinales :

D'après le RPA99V 2003[1] la longueur minimale de recouvrement dans la zone **IIa** est de 40ϕ

$$L_r = 40 \times \phi l = 40 \times 1 = 40cm$$

On adopte : 60ϕ $Lr = 60 \times \phi l = 60 \times 1 = 60cm$

On adopte: L_r=70cm

➤ Vérification à L'ELS :

Vérification de l'état limite de compression du béton :

$$\begin{split} & \sigma_{bc} \leq \overline{\sigma}_{bc} \\ & \sigma_{b} = \frac{M_{ser}}{I} \ y \leq \overline{\sigma}_{bc} \\ & \overline{\sigma}_{bc} = 0.6 \times f_{c28} = 0.6 \times 25 = 15 MPa \end{split}$$

> En travée :

$$M_t = 16.60 \text{KN.m}$$

Position de l'axe neutre :

$$\frac{b}{2} \times y^{2} + \eta \times A'_{s}(y - c') - n \times A_{s}(d - y) = 0$$

$$Avec \to n = 15$$

$$h \times A'_{s}(y - c') = 0$$

$$\frac{25}{2}y^{2} - 15 \times 12.06(31.5 - y) = 0$$

$$12.5y^{2} + 180.9y - 5698.35$$

$$\Delta = b^{2} - 4ac = 563.59$$

$$y = 22.04cm$$

Moment d'inertie :

$$I = \frac{b \times y^3}{3} + n \times A_s (d - y)^2$$

$$I_t = \frac{25 \times 22.04^3}{3} + 15 \times 12.06(31.5 - 22.04)^2 = 105407.24cm^4$$

$$\sigma_b = \frac{16.60 \times 10^6 \times 220.4}{105407.24 \times 10^4} = 3.47 \le \overline{\sigma}_{bc} = 15 \to cv$$

> En appuis :

$$M = -22.78 KN.m$$

Position de l'axe neutre :

$$\frac{b}{2} \times y^{2} + \eta \times A'_{s}(y - c') - n \times A_{s}(d - y) = 0$$

$$Avec \to n = 15$$

$$h \times A'_{s}(y - c') = 0$$

$$\frac{25}{2}y^{2} - 15 \times 9.24(31.5 - y) = 0$$

$$15y^{2} + 138.6y - 4365.9$$

$$\Delta = b^{2} - 4ac = 487.34$$

$$y = 13.95cm$$

Moment d'inertie :

$$\frac{b}{2} \times y^2 + \eta \times A'_s(y - c') - n \times A_s(d - y) = 0$$

$$Avec \rightarrow n = 15$$

$$h \times A'_s(y - c') = 0$$

$$I = \frac{b \times y^3}{3} + n \times A_s (d - y)^2$$

$$I_t = \frac{25 \times 13.95^3}{3} + 15 \times 9.24(31.5 - 13.95)^2 = 65311.68cm^4$$

$$\sigma_b = \frac{22.78 \times 10^6 \times 139.5}{65311.68 \times 10^4} = 4.86 \le \overline{\sigma}_{bc} = 15 \to cv$$

Tableau V.13: Vérification a l'ELS de la poutre secondaire

	M (KN.m)	Y (cm)	I(cm ⁴)	σ_{bC} (MPa)	$\overline{\sigma}_{bc}$ (MPa)	
Travée	16.66	22.04	105407.24	3.47	15	CV
Appuis	-22.78	13.95	65311.68	4.86	15	CV

➤ Vérification de la flèche : BAEL 91(article B.6.5.1)[2]

Si les trois conditions suivantes de la flèche sont vérifiées, le calcul de la flèche ne s'imposera pas :

L=3.7m; h=35cm; As=4.02cm²; b=
$$\frac{h}{l} \ge \frac{1}{16} \dots \longrightarrow \frac{0.35}{3.7} = 0.094 \ge 0.062 \dots CV$$

$$\frac{h}{l} \ge \frac{Mt}{10M_0} = \frac{0.85M_0}{10M_0} \dots \longrightarrow 0.094 \ge 0.085 \dots CV$$

$$\frac{As}{bd} \le \frac{4.2}{fe} \dots \longrightarrow \frac{9.24}{25*31.5} = 0.01 \le 0.010 \dots CV$$

Les trois conditions sont vérifiées, donc la vérification de la flèche n'est pas nécessaire.

Vérification de la compression du béton :

Les résultats sont regroupés dans les tableaux suivants :

$$T \max < 0.4 \times b \times a \times \frac{fc28}{\gamma b}$$

 $a = \min(a'; 0.9 \times d)$
 $a' = 35 - c - 2 = 35 - 3 - 2 = 30cm$

Tableau V.14: Vérification de la compression du béton

Section	T _{max} (KN)	$0.4 \times b \times a \times \frac{fc28}{\gamma b}$	Vérification
Pp(30*40)	110.79	600	Oui
Ps(25*35)	47.61	500	Oui

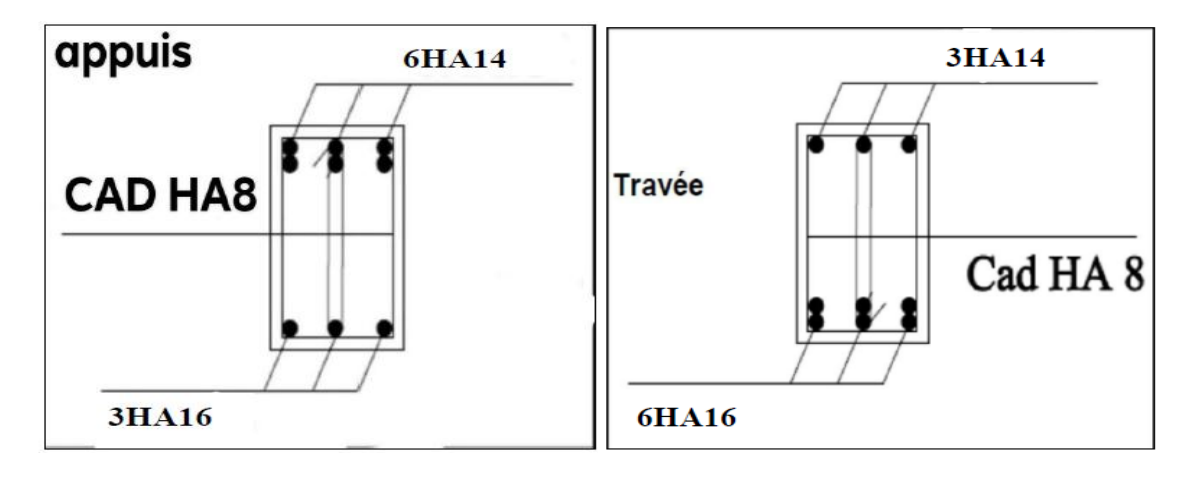


Figure V.5: Schéma de ferraillage des poutres secondaire.

V.6 Étude des voiles :

V.6.1 Introduction:

Le modèle le plus simple d'un voile est celui d'une console parfaitement encastrée à sa base soumise à une charge verticale due à la combinaison des charges permanentes, d'exploitation, et une charge horizontale due à l'action du vent, ou d'un séisme. Donc, le voile est sollicité par un effort normal N, un effort tranchant V, et un moment fléchissant qui est maximum dans la section d'encastrement. Ce qui implique que les voiles seront calculés en flexion composée et au cisaillement, leur ferraillage est composé d'armatures verticales et d'armatures horizontales.

V.6.2 Stabilité des constructions vis-à-vis des charges latérales :

Du point de vue de la stabilité sous charges horizontales (vent, séisme), on distingue différents types des structures en béton armé :

- Structures auto-stables.
- Structures contreventées par des voiles.

Dans notre projet, la structure est contreventée par les voiles dont le but est assurer la stabilité (et la rigidité) de l'ouvrage vis-à-vis des charges horizontales.

V.6.3 Rôle de contreventement :

Le contreventement a principalement pour objet :

- Assure la stabilité des constructions non auto-stables vis-à-vis des charges horizontales et de transmettre jusqu'au sol.
- Raidir les constructions, car les déformations excessives sont sources des dommages aux éléments non structuraux et à l'équipement.

V.6.4 Avantages des voiles :

- Leur présence limite les déformations latérales.
- Leur rigidité permet de protéger les éléments non structuraux et quelques poteaux existant.
 Leur présence permet de s'affranchir du difficile problème posé par la réalisation du ferraillage des nœuds des portiques.
- Elle permettre de ne pas être pénalisées dans le choix du coefficient de comportement en cas du panneau de remplissage.

V.6.5 Combinaisons des actions :

Selon le règlement parasismique algérien (RPA99/V2003)[1] et le BAEL 99[2], les combinaisons des actions ont considéré pour la détermination des sollicitations et des déformations sont :

```
○ Selon le RPA [1]: G + Q \pm E

0.8G \pm E

○ Selon le BAEL91/99 [2]:1.35G + 1.5Q

G + Q
```

V.6.6 Recommandations du RPA99[1]:

V.6.6.1Aciers verticaux:

La disposition du ferraillage vertical se fera de telle qu'il reprendra les contraintes de la flexion composée en tenant compte des prescriptions imposées par le RPA99/V2003[1].

- L'effort de traction engendré dans une partie du voile doit être repris en totalité par les armatures dont le pourcentage minimal est de 0.2% de la section horizontale du béton tendu. Les barres verticales des zones extrêmes devraient être ligaturées avec des cadres horizontaux dont l'espacement ne doit pas être supérieur à l'épaisseur des voiles.
- Si des efforts importants des compressions agissent sur l'extrémité, les barres verticales doivent respecter les conditions imposées aux poteaux. Les barres verticales du dernier niveau doivent être munies de crochets à partie supérieure. Toutes les autres barres n'ont pas de crochets (jonction par recouvrement).

• À chaque extrémité du voile l'espacement des barres doit être réduit de moitié sur (1/10) de la largeur du voile, cet espacement doit être au plus égal à 15 cm.

V.6.6.2 Aciers horizontaux :

- Les aciers horizontaux seront disposés perpendiculairement aux faces des voiles
- Elles doivent être munies de crochets à 90° ayant une longueur de 10Φ .
- Dans le cas où il existe des talons de rigidité, les barres horizontales devront être ancrées sans crochets si les dimensions des talons permettent la réalisation d'un ancrage droit.

V.6.7 Règles communes :

- Le pourcentage minimal des armatures verticales et horizontales est : Amin = 0.15 % section globale du voile. Amin = 0.1 % zone courante.
- L'espacement des barres (horizontales et verticales) $St \le min (1.5e;30cm)$.
- Diamètre des barres (horizontales et verticales) ne devrait pas dépasser 1/10 de l'épaisseur du voile. Le calcul se fera pour des bandes verticales dont la largeur d est déterminée à partir de :

 $d \le \min$ (he, 2L/3)

L' : est la longueur de la zone comprimée.

• Longueur de recouvrement :

Lr = 40: En zone qui peut être tendue.

Lr = 20: En zone comprimée sous toutes les combinaisons.

V.6.8 Disposition des voiles :

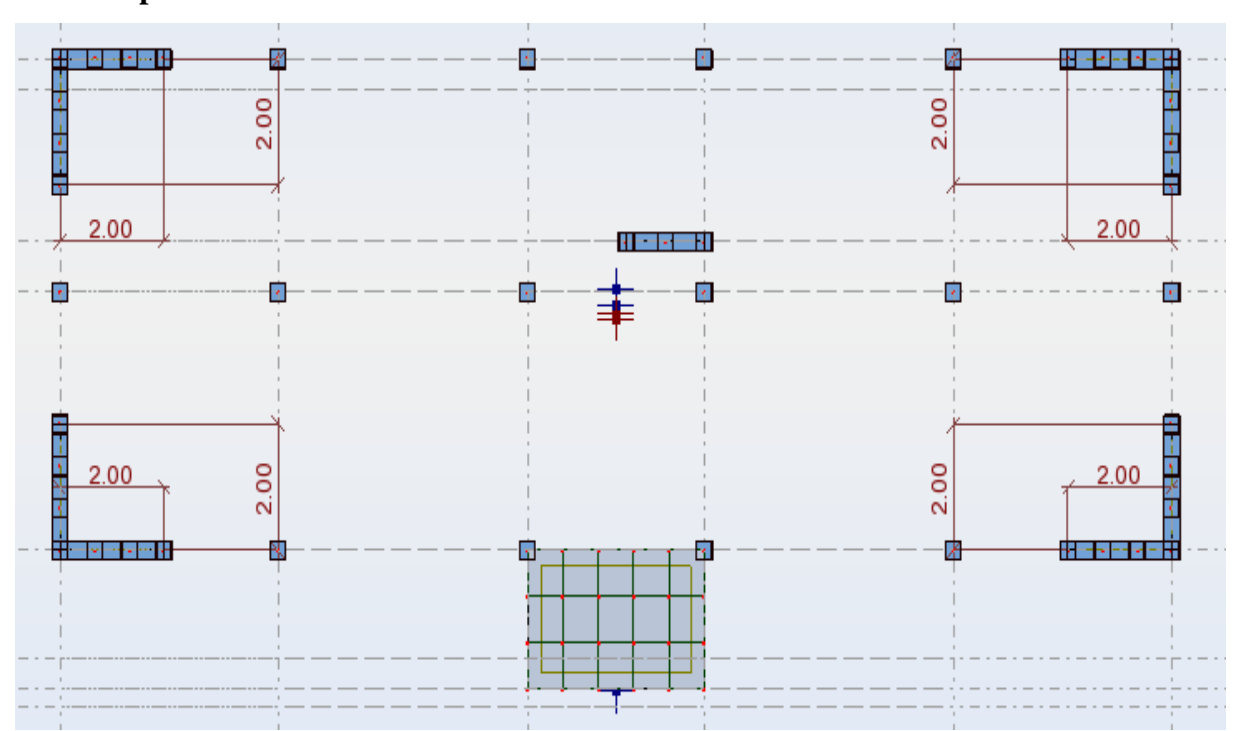


Figure V.6: Disposition des voiles

V.6.9 Ferraillage des voiles :

Pour déterminer les armatures verticales, on utilisera la méthode des contraintes. Cette méthode consiste à déterminer le diagramme des contraintes à partir des sollicitations les plus défavorables (N, M) et Pour connaître la nature de la section on utilise la méthode de la RDM dite « **formule de Navier Bernoulli**»:

Avec:

$$\sigma_a = \frac{N}{A} + \frac{M \times Y}{I}$$
 $\sigma_b = \frac{N}{A} - \frac{M \times Y}{I}$

N : effort normal agissant sur le voile considéré.

M : moment de flexion agissant sur le voile considéré.

I : moment d'inertie du voile considéré.

Y : centre de gravité de la section du voile dans les sens du plan moyen.

> Détermination des sollicitations sous les combinaisons :

Nous exposerons un exemple de calcul pour les voiles du niveau RDC (Groupe 1), et le reste des résultats des autres niveaux seront donnés dans un tableau récapitulatif.

$$I = \frac{e \times l^3}{12}$$
$$B = e \times l$$
$$V = \frac{h}{2}$$

V.6.9.1 Armatures verticales:

Nous allons déterminer les contraintes sollicitant le voile selon la formule suivante :

$$\sigma_a = \frac{N}{A} + \frac{M \times Y}{I}$$

$$\sigma_b = \frac{N}{A} - \frac{M \times Y}{I}$$

On Remarque qu'on a juste les contraintes de compression alors notre section est entièrement comprimée. Le calcul se fera pour des bandes verticales dont la largeur d est déterminée à partir de : (RPA Article 7.7.4) [1]

- Les résultats de calcules des armatures longitudinales sont affichée dans les tableaux cidessous:
- On a trois types de voile leurs Caractéristiques géométriques sont afficheé dans letableau suivant

$$\sigma_{1} = \frac{N}{S} + \frac{M \times v}{I}$$
 $\sigma_{2} = \frac{N}{S} - \frac{M \times v}{I}$
 $avec$
 $S = e \times l$
 $v = \frac{l}{2}$
 $I = \frac{e \times l^{3}}{12}$

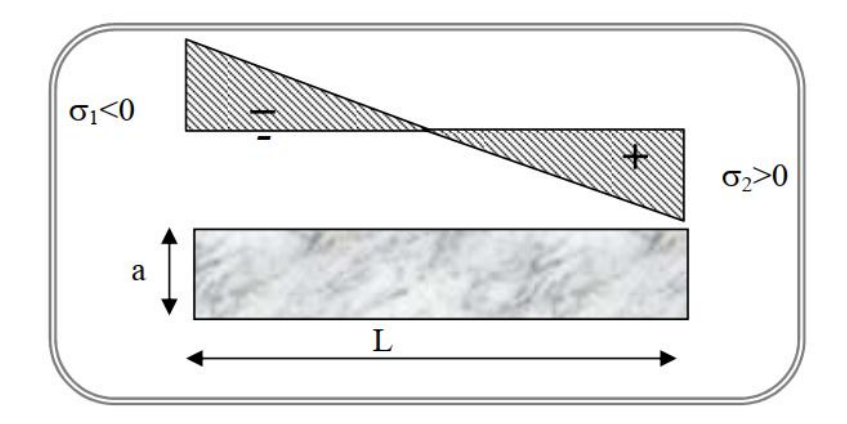


Tableau V.15: Caractéristique géométrique des voiles.

	L(m)	e(m)	V(m) = l/2	$\mathbf{B}(\mathbf{m}^2) = \mathbf{L}^*\mathbf{e}$	$I(m^4) = e(L^3/12)$
Voile1: (L=2m)	2	0,16	1	0.32	0.106

• La quantité d'armature verticale nécessaire pour RDC, étage 1, étage 2 est résumé dans le tableau suivant :

Tableau V.16: Calcule des sections d'armature verticale pour RDC, étage 1, étage 2.

		COMB	N(KN)	M (KN.m)	V _{max} (KN)	$\sigma_a K N/m^2$	$\sigma_b \text{ KN/m}^2$	Nature	LT(m)	F(KN)	AS(cm ²)
	Voile1	G+Q-VY	1051.36	13.21	61.78	3410.12	3160.87	E.C	2	//	6.4
		G+Q-VX	767.58	439.28	-129.59	6542.83	-1745.46	P.C	0.42	1326.1 2	3.31
		0.8G+VY	-372.59	16.01	69.02	-1013.30	-1315.38	E.C	2	//	6.4

On prend le max $\,$ entre (As, A_{RPA} , A_{BAEL}) pour le choix de la quantité nécessaire des armatures verticales :

BAEL

$$P.C \to A \min \ge \left(0.23B \times \frac{ft28}{fe}; 0.05 \times B\right)$$

 $E.C \to A \min \ge \left(4 \times p; \frac{0.2 \times B}{100}\right)$

 $P = e \times l$

RPA

 $P.C \rightarrow As \min = 0.2\% \times lt \times e$

 $E.C \rightarrow As \min = 0.2\% \times lc \times e$

Tableau V.17: Choix des armatures verticales pour les voiles pour RDC, étage 1, étage 2.

VOILE 01	L (m)	L _T (m)	A _{RPA} , (cm ²)	A _{BAEL} (cm ²)	As (calcule) (cm ²)	A adopté (cm²)	Choixdes barres	Espacement (cm)
Cas 01	2	2	6.4	3.86	2.62	10.17	9HA12	25
Cac 02	2	0.42	1.34	0.81	3.31	10.17	9HA12	25
Cas 03	2	2	6.4	3.86	0.93	10.17	9HA12	25

• Les résultat de calcules des armatures horizontles sont affichée dans les tableau ci-dessous:

$$Ah = \frac{\pi u \times e \times st}{0.8 \times fe} \rightarrow \pi u = \frac{1.4 \times V_{\text{max}}}{e \times d}$$
$$d = 0.9L$$
$$A = 0.15\% \times e \times l$$

$$St = \min(1.5 \times e; 30cm)$$

Tableau V.18: Choix des armatures horizontalespour RDC, étage 1, étage 2.

Voile 1 (L=2.0m), (e=0 ,16m)	A _{BAEL} (cm ²)	A _H (cm ²)	Choix des barres	A _{adp} (cm ²)	Espacement(cm)
cas 1	3.86	0.37	4HA12	4.52	30
cas 2	0.81	0.78	4HA12	4.52	30
cas 3	3.86	0.41	4HA12	4.52	30

- Vérification a l'état limite ultime (ELU) :
- Vérification des contraintes de cisaillement :

Selon le RPA99 (art 7.7.2) [1] à :

$$\tau_b \le \overline{\tau_b}$$

$$\tau_b = \frac{\overline{V}}{b_0 \times d} \to \overline{V} = 1.4 \times V$$

$$\overline{\tau} = 0.2 \times fc = 5MPa$$

Ou:

b: Epaisseur de voile.

d: hauteur utile d=0.9L.

V_u: L'effort tranchant. Selon BAEL[2].

$$\tau_b \le \overline{\tau_b}$$

$$\tau = \frac{V_u}{b0 \times d}$$

$$\overline{\tau} = \min(0.15 \frac{fc28}{\gamma b}; 4MPa) = 2.5MPa$$

Tableau V.19 : Calcule et Vérification la contrainte de cisaillement (Zone 1 : pour RDC, étage 1, étage 2)

Zone	Voile L (m)	V(KN)	\overline{V}	b	d	$ au_{ m bael}$	$ au_{ m rpa}$	$ar{ au}_{ ext{bael}}$	$ar{ au}_{ m rpa}$	observations
	L=2	61.78	86.49	0,16	1.8	2.14	3	2,5	5	Vérifier
Zone	L=2	-129.59	181.42	0,16	1.8	0.44	0.62	2,5	5	Vérifier
1	L=2	69.02	96.63	0,16	1.8	2.39	3.35	2,5	5	Vérifier

Schéma du ferraillage:

Comme un exemple de schéma du ferraillage, on a choisi le voile 1 (2.00m) :

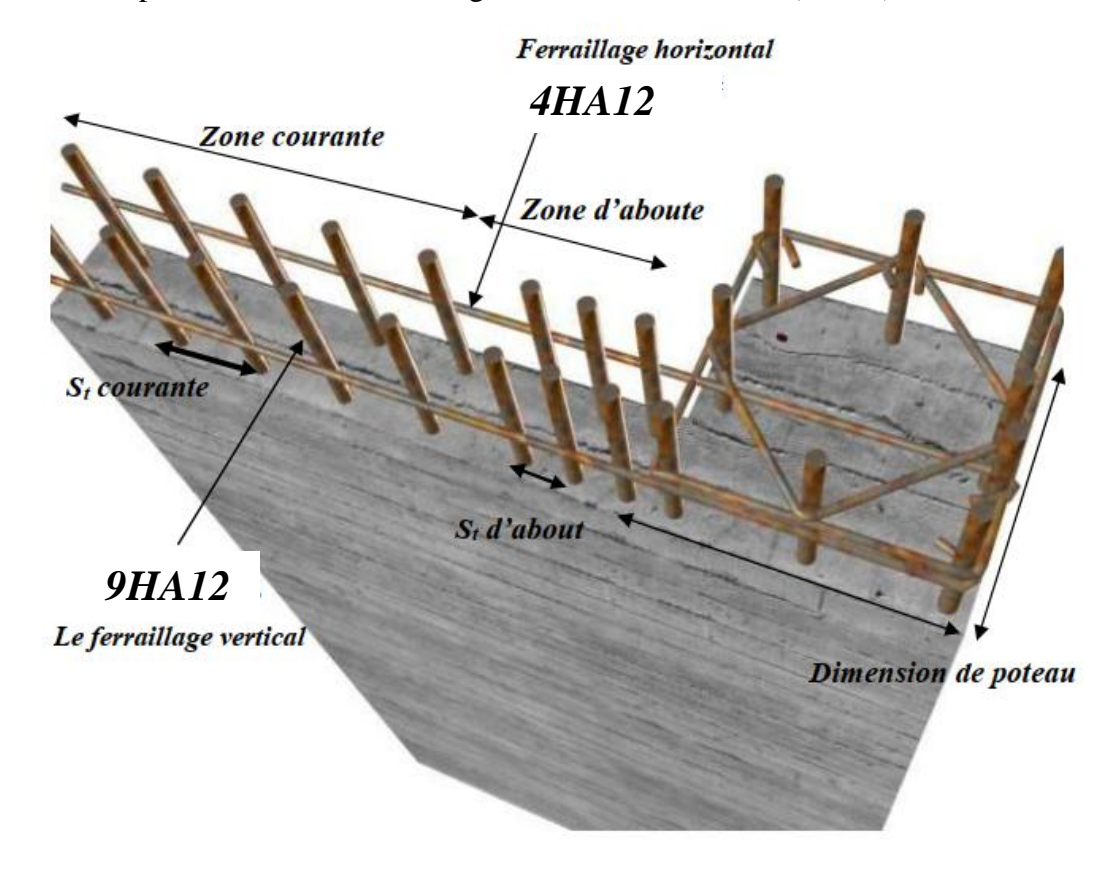


Figure V.7: Schéma de ferraillage du voile.

V.7 Conclusion

Les éléments principaux (poutres, poteaux et voiles) jouent un rôle prépondérant dans larésistance et la transmission des sollicitations. Ils doivent donc être correctement dimensionnés et bien armés.

Dans la détermination des ferraillages des différents éléments Principaux ; il a été tenu compte des ferraillages obtenus par logiciels de calcul (ROBOT) ainsi que le ferraillage minimum édicté par les règles parasismiques Algériennes.

VI.1 Introduction

L'infrastructure est la partie au-dessous du niveau 0.00 ont pour objet de transmettre au sol les efforts apportés par leséléments de la structure (poteaux, murs, voiles...). Cette transmission peut être directe (casdes semelles reposant sur le sol ou cas des radiers) ou être assuré par l'intermédiaired'autreséléments (par exemple, cas des semelles surpieux).

La détermination des ouvrages de fondation se fait en fonction des conditions de résistanceetdetassement liéesaux caractères physiques ou mécaniques dessols.

Les questions abordées dans ce chapitre concernent la détermination des dimensions et leferraillagedesélémentsdefondations en tantqu'éléments en bétonarmé.

Dans le cas le plus général, un élément de la structure peut transmettre à sa fondation (supposée horizontale):

- Uneffortnormal.
- Uneforcehorizontale, résultante par exemple de l'action d'un séisme.
- Uncouplequipeutêtredegrandeur variableets'exercedansdesplansdifférents.

VI.2 Facteur de choix du type de fondation

Le choix du type des fondations dépend essentiellement des facteurs suivants :

- La capacité portante du sol.
- Les Charges transmises au sol.
- La distance entre axes des poteaux.
- La nature du sol.
- La profondeur du sol résistant.

VI.3 Choix de type de fondation

D'après les caractéristiques du sol (une contrainte moyenne admissible =1.5bars), sur lequelest implanté notre ouvrage et la proximité du bon sol par rapport à la surface, nous conduitdans un premier temps à considérer les semelles isolées comme solution primaire. D'après RPA 2003 (A.10.1.4.1)[1], les fondations sont dimensionnées par les combinaisons d'actions suivantes :

$$-G+Q+E$$

$$-0.8 G + E$$

❖ Calcul de la contraint

$$\sigma_{adm}(ELU) = \frac{q_u^{reel}}{\gamma_q}$$

$$\sigma_{adm}(ELS) = \frac{q_u^{reel}}{\gamma_q}$$

$$\sigma_{adm}(ELS) = \frac{q_u^{reel}}{\gamma_a}$$

 γ_a : Coefficient de sécurité sous les différents états limites.

$$\gamma_q = 2....(ELU)$$

$$\gamma_q = 3 \dots (ELS)$$

Donc:

$$\sigma_{ELS} = \frac{q_u^{reel}}{3} \Rightarrow q_u^{reel} = 3 \times \sigma_{ELS}$$
 $\sigma_{ELU} = \frac{q_u^{reel}}{2} \Rightarrow q_u^{reel} = 2 \times \sigma_{ELU}$
 $\sigma_{ELU} = \frac{3}{2} \sigma_{ELS}$
 $\sigma_{ELU} = \frac{3}{2} \times 1.5 = 2.25 bar$

VI.3.1 Vérification de la semelle isolée

Nous proposons en premier lieu des semelles isolées, pour cela, nous allons procéder à une première vérification telle que :

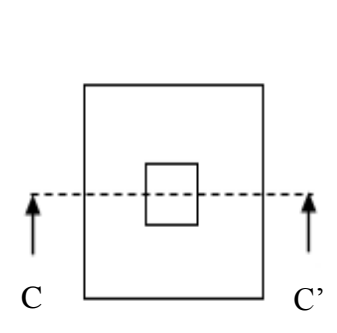
$$\frac{N_S}{S} \leq \sigma_{sol}$$

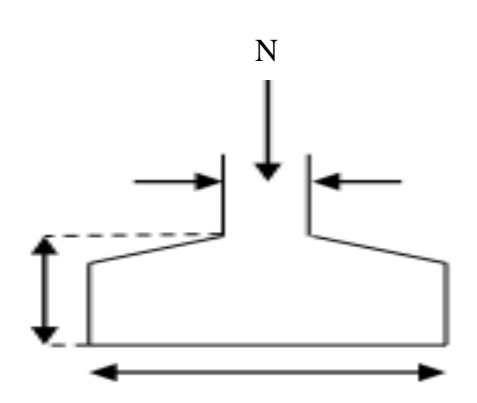
 σ_{sol} : Contrainte admissible du sol. ($\sigma_s = 1.5$ bar)

Les poteaux de notre structure sont carrés à la base de section (A*B) d'où les semelles sont carrées (A*B) Soit

 N_S : Effort normal de poteau le plus sollicité transmis à la base obtenue par le logiciel S: Surface de la fondation (A×B)

On adoptera une semelle homothétique, c'est à dire on prend le rapport A et B dans le mêmerapport que a et b:





Vue en planCoupe cc'

Figure VI.1 : Schéma de la semelle isolée

$$\frac{N_s}{A \times B} \le \sigma_{sol} \implies A \times B \ge \frac{N_s}{\sigma_{sol}} \dots 1$$

$$\frac{A}{a} = \frac{B}{b} \implies A = \frac{a}{b} \times B \dots 2$$

aet b : dimensions de poteau à la base.

On remplace 2 dans 1;

$$\frac{a}{b} \times B^2 \ge \frac{N_s}{\sigma_{sol}} \Longrightarrow B \ge \sqrt{\frac{N_s \times b}{\sigma_{sol} \times a}}$$

$$ELU: B \ge \sqrt{\frac{1278.05 \times 0.45}{225 \times 0.45}} = 2.38m$$

$$ELA: B \ge \sqrt{\frac{1275.91 \times 0.45}{225 \times 0.45}} = 2.38m$$

$$ELS: B \ge \sqrt{\frac{928.92 \times 0.45}{150 \times 0.45}} = 2.48m$$

D'après le résultat :

Le cas le plus défavorable est à l'ELS. Nous remarquons que pour une largeur de la semelle **B=2.48 m** la semelle isolée ne passe pas parce que nous avons utilisé des voiles de contreventement qui nécessitent des semelles filantes.

D'après les résultats, On remarque qu'il y pas de chevauchement des semelles, mais les voiles de contreventement nécessitent des semelles filantes.

Donc on passe alors à l'étude des semelles filantes.

VI.3.2 Vérification de la semelle sous poteaux

Nous proposons en premier lieu de vérifier la condition suivante qui nous permet de choisir soit un radier général soit des semelles filantes.

La surface des semelles doit être inférieure à 50% de la surface totale du bâtiment :

$$S_s / S_b < 50\%$$

La surface de la semelle est donnée par :

$$S_{semelle} \ge \frac{N_t}{\sigma_{sol}}$$

Avec:

 $N_{ser} = 10097.48KN.$

$$S_{semelle} \ge \frac{10097.48}{150} = 67.31m^2$$

Surface totale du bâtiment :

S bâtiment = $166.92 m^2$

 $S_s/S_b < 50\%$

$$\frac{S_{semelle}}{S_{bosinose}} = 40.32\% \le 50\%$$

Alors on déduit que le radier général n'est pas nécessaire dans notre cas, car la surface totale des semelles ne dépasse pas 50 % de la surface d'emprise du bâtiment. Ceci nous amène à envisager deux types de semelles :

- Semelles filantes sous voile.
- -Semelles filantes sous poteaux.

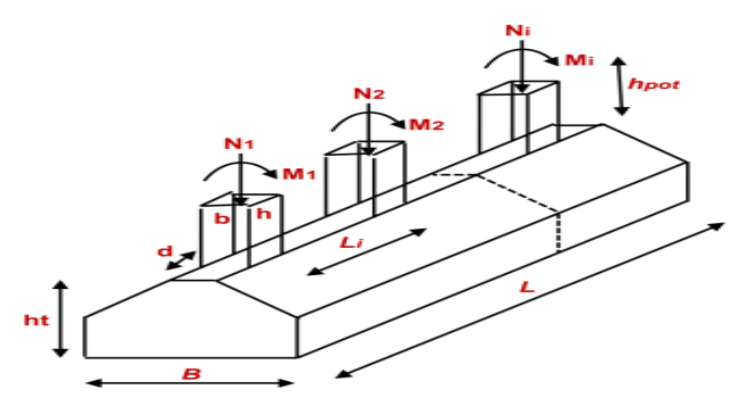


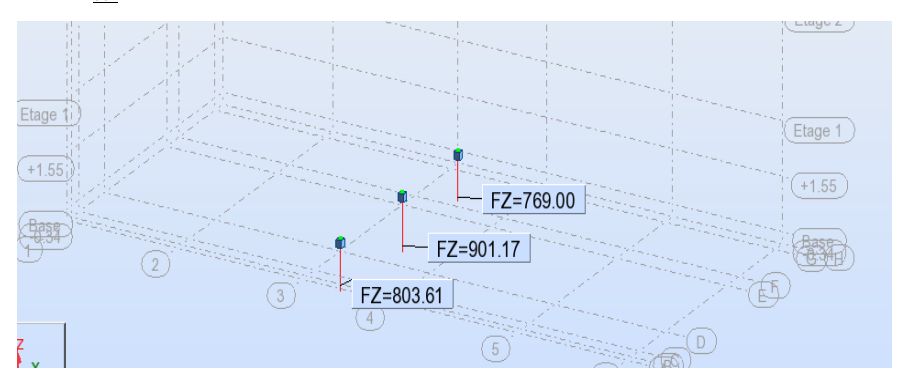
Figure VI.2 : Schéma de la semellefilante sous poteaux.

a/ Dimensionnement de la semellefilante sous poteaux

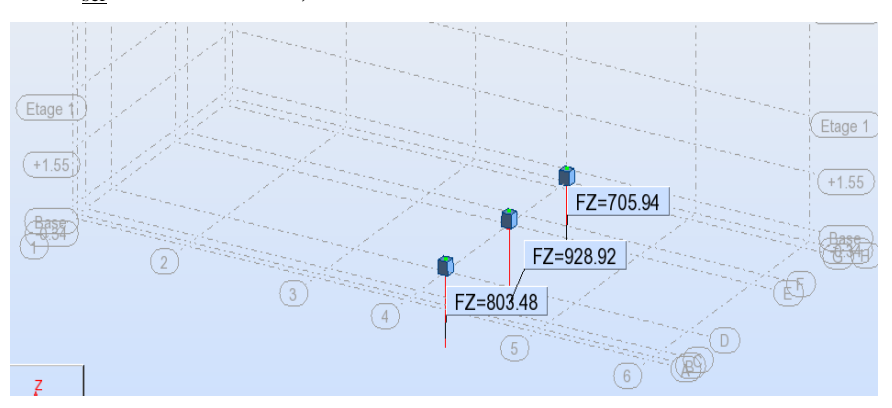
File des poteaux $N^{\circ}01:N_{ser}=2183.87KN$; A=7.80~m



File des poteaux N°02:N $_{\underline{ser}}$ = 2473.78KN ; A = 7.80 m



File des poteaux N°03:N $_{\underline{ser}}$ = 2438.34KN ; A = 7.80 m



File des poteaux N°04:N $_{\underline{ser}} = 2183.06 \ KN$; $\ A = 7.80 \ m$



On a choisir le cas plus défavorable : $N_{\underline{ser}} = 2473.78 \text{ KN}$; A = 7.80 m

$$B \ge \frac{N_{ser}}{A \times \sigma_s} = 2.11m$$

 $B \ge 2.11m(1 \text{ bar} = 100 \text{ KN/m}^2)$

On prend:B = 2.25 m

$$d \ge \frac{(B-b)}{4}$$

d = 45cm

 $h=d{+}5$

h = 45 + 5 = 50 cm.

b/-Ferraillage principale:

Nu=3408.54 KN

$$A_s = \frac{N(B-b)}{8h\sigma_s} = \frac{3408.54 \times 10^3 \times (2250 - 450)}{8 \times 500 \times 348} = 44.07 \text{cm}^2$$

$$\frac{A_s}{L} = \frac{44.07}{7.80} = 5.65 cm^2$$

On adopte : 5HA12 A=5.65cm²

c/-Calcul de l'espacement

 $S_t \le S_{tmax} = min (0.9d; 40cm) = min (40.5; 40cm) = 40 cm.$

On prend: $S_t = 25 \text{ cm}$

d/-Ferraillage de répartition :

$$Ar = \frac{As}{4} = \frac{5.65}{4} = \frac{1.41cm^2}{4}$$
 Soit (Ar=5.50 7HA10).

On prend: $S_t = 37.5$ cm

Vérification de contrainte :

 $\sigma < \sigma_{so}$

$$\sigma = \frac{Nu}{A*B} = \frac{3670.9}{23.4} = 169.69 \text{ KN/m}^2$$

$$\sigma = 169.69 KN/m^2 < \sigma_{sol} = 225.00 \ KN/m^2 \qquad \qquad V\'{e}rifie$$

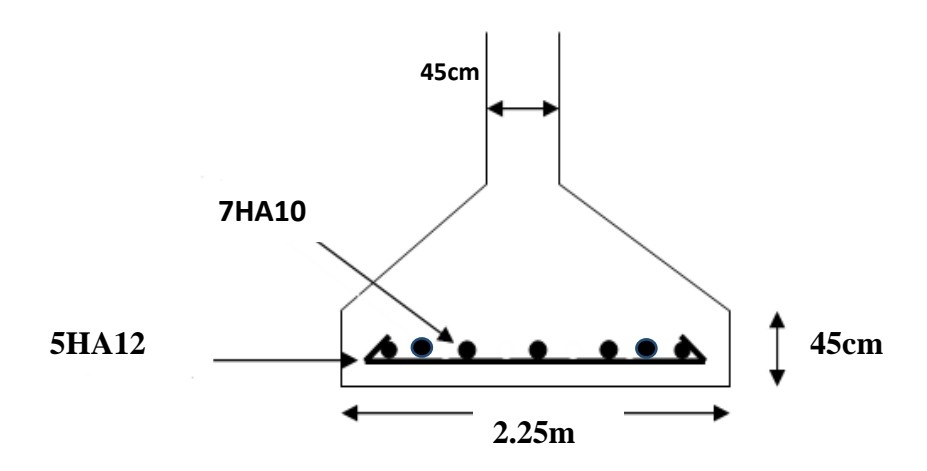


Figure VI.3 : Schéma de ferraillage Semelle filantes sous poteau.

VI.3.3 Semelle filantes croisée :

Tableau VI.1: Les sollicitations.

Les poteaux et les voile	EL	S	ELU			
	Effort normal(KN)	Moment (KN.m)	Effort normal(KN)	Moment (KN.m)		
P1	519.02	-1.43	713.9	-2.04		
P2	769	19.42	1058.85	26.67		
P3	705.94	20.40	972	28.07		
P4	518.38	-1.29	713.01	-1.85		
V1x	498.77	-2.50	677.37	-3.45		
V2x	502.75	-2.40	682.83	-3.29		
La somme	3513.86	32.21	4817.95	44.10		

a/-Pré-dimensionnement :

On va prendre comme exemple de calcul une semelle filante centrale :

Pour assurer la validité de la semelle filante on choisit la file des poteaux les plus sollicités.

Les efforts normaux et les moments de la superstructure sont appliqués au niveau du centre de gravité de la semelle filante.

Calcul de la largeur de la semelle :

$$N_s = \sum N_i = 3513.86$$
KN

$$M_s = \sum N_i \times e_i + \sum M_i$$

$$\sum N_i \times e = ((519.02 \times 6.5) + (769 \times 1.7) + (705.94 \times -1.7) + (518.38 \times -6.5) + (498.77 \times -9.7) + (502.75 \times 9.7)) = -72.756$$

$$\sum N_i \times e = -72.756 \text{ KN.m}$$

$$\sum M_i = 32.21 \text{KN.m}$$

$$M_s = -72.756 + 32.21 = -40.546$$
KN.m

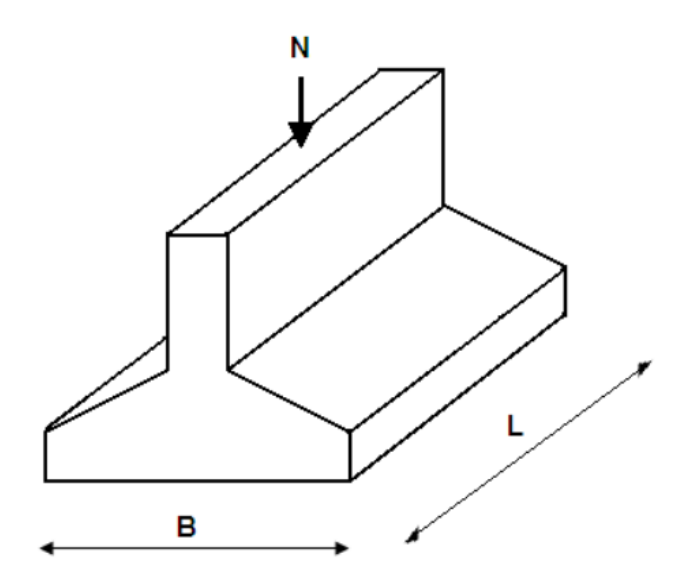


Figure VI.4: Dimension de la semelle filante sous voile.

b/- Dimensionnement :

$$e_0 = \frac{M_{ser}}{N_{ser}} = \frac{-40.54}{3513.86} = -0.011m$$

$$\sigma = \frac{N_\text{S}}{L \times B} (1 + \frac{3 \times e_\text{O}}{L \times \overline{\sigma}_\text{SOl}}) \Longrightarrow B > \frac{N_\text{S}}{L \times \overline{\sigma}_\text{SOl}} (1 + \frac{3 \times e_\text{O}}{L})$$

$$B > \frac{3513.86}{21.4 \times 150} \times \left(1 - \frac{3 \times 0.011}{21.4}\right)$$

B > 1.09m

On choisit: B = 1.20 m

Condition minimale:

Une semelle est dite continue si sa largeur très petite devant sa longueur, elle doit vérifier la condition

suivante :
$$\frac{L}{B} > 5 \Rightarrow \frac{21.4}{1.20} = 17.83 > 5....CV$$

Calcul la hauteur h :

Semelle rigide : $(\frac{B-b}{4}) \le d \le (B-b)$

$$(\frac{120-45}{4}) \le d \le (120-45)$$

d = 35 cm

 $h = d + c = 35 + 5 \implies h = 40 \text{ cm}, \quad h \ge L/6 \implies \text{Condition V\'{e}rifie}$

c/- Ferraillage principale:

Le ferraillage se calcul par la méthode des bielles à l'ELU

$$A_{s//B} = \frac{N_u(B-b)}{8d\sigma_{st}}$$

 $N_u = N_{1+} P$

 $N_1 = \sum N_i/L$

L : longueur totale de la semelle

 $N_1 = 33.45 KN/ml$

P = Poids des terres + Poids des semelles

$$N_u = N_1 + P$$

$$N_1 = \sum N_i / L$$

L : longueur totale de la semelle.

 $N_1 = 164.20 \text{ KN}$

P = Poids des terres + Poids des semelles

Poids propre de la semelle:

 $P_p = 1.2 \times 0.4 \times 21.40 \times 25 = 256.8 \text{ KN}$

Poids des terres : $(0.4 \times 0.75 \times 21.40 \times 22) \times 2 = 282.48 \text{ KN}$

Donc: Ptotal=539.28 KN

 $N_u = 164.20 + 539.28 = 703.48 \text{ KN}$

$$A_{s//B} = \frac{N_u(B-b)}{8d\sigma_{st}} = \frac{703.48 \times 10^3 \times (1200 - 450)}{8 \times 350 \times 348} = 5.41 \,\text{cm}^2$$

On adopte : $6T12 = 6.79 \text{ cm}^2$

d/- Armatures de répartition :

$$A_{r\perp B} = \frac{A_{s//B}}{4} = \frac{6.79}{4} = 1.69 \text{cm}^2$$

D'après le BAEL91 pour feE400 : $A_{smin} = 2 \text{ cm}^2$

On adopte : $7T10 = 5.50 \text{ cm}^2$

Avec : un espacement St = 20cm

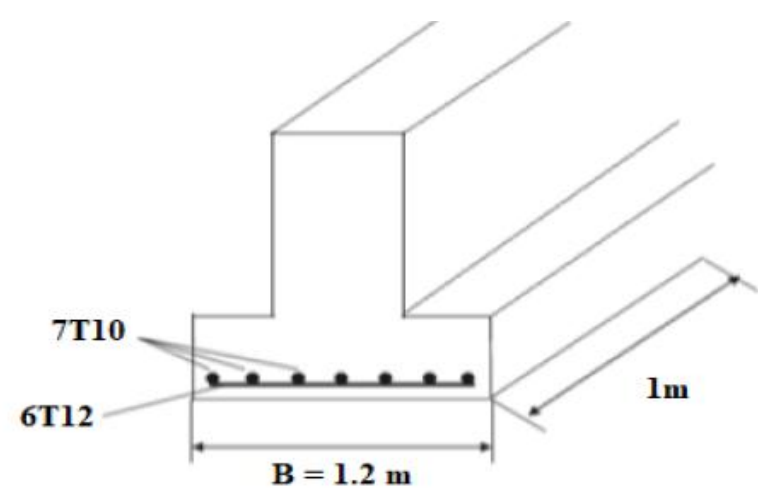


Figure VI.5: Schéma de ferraillage de semelle filante.

VI.4 Longrine

Les longrines sont des poutres relient les poteaux au niveau de l'infrastructure, leurs calcules se fait comme étant une pièce soumise à un moment provenant de la base du poteau et un effort de traction <F>.

VI.4.1 Dimensionnement de la longrine

Selon [RPA 99] (art.10-1-1) [1], les dimensions minimales de la section transversale des origines sont :

Pour notre cas (site ferme S3) on prend une section de (25x30) cm²

VI.4.2Calcule de ferraillage de la longrine

> Armature longitudinale

Les longrines doivent calculées pour résister à la traction sous l'action d'une forces est égale à $F=\frac{N_{u(max)}}{\alpha}>20KN$

α : Coefficient fonction de la zone sismique et de la catégorie de site considérée.

D'après [RPA99/2003] [1]:

 $\alpha = 12$ (site **S3**, zone **IIa**).

N_{u(max)}: L'effort normal ultime du poteau le plus sollicité.

$$N_{u(max)} = 1278.05$$
KN

$$F = \frac{1278.05}{12} = 106.50 \text{ KN} > 20 \text{KN}.$$
 Vérifiée

$$A_s = \frac{F}{\sigma_s} = \frac{106.50 \times 10^3}{348} = 3.06 \text{ cm}^2$$

> Etat limite service

Si la fissuration est considérée comme préjudiciable :

Fissuration préjudiciable: $\sigma_{st} \le \overline{\sigma_{st}} = \min(\frac{2}{3}f_e, 110.\sqrt{\eta.f_{tj}}).$

$$\overline{\sigma_{st}} = 201.63 \text{ MPa}$$

$$N_{ser} = 928.92KN$$

$$\sigma_{\rm st} = \frac{\left(\frac{N_{\rm ser}}{\alpha}\right)}{A_{\rm S}} \le \overline{\sigma_{st}}$$

$$A_s \ge \frac{\left(\frac{N_{ser}}{\alpha}\right)}{\overline{\sigma_{st}}} = (928.92 \times 10^3 / 12) / 201.63 = 3.84 \text{ m}^2$$

> Vérification de la condition de non fragilité

$$A_{smin} \ge \frac{0.23 \times b \times d \times f_{t28}}{f_e} = \frac{0.23 \times 25 \times 27 \times 2.1}{400}$$

 $A_{smin} = 0.815 cm^2$

> Recommandation de RPA 99 v2003, [1]:

Le ferraillage minimum doit être de 0,6 ½ de la section de béton y compris les armatures longitudinales et les armatures transversales, tel que l'espacement des cadres ne doit pas dépasser le minimum de :

La section d'armature est donnée par les armatures minimales :

 $A=0.6\%\times b\times h$

 $A_s = 0.006 \times 25 \times 30 = 4.5 \text{ cm}^2$

On adopter: **6HA12= 6.79cm**²

> Armatures transversales :

On prend : $4\phi6 (A_s = 1.13 \text{ cm}^2)$

Avec espacement de :

Espacement : $S_t \le min (20 \text{ cm}; 15 \Phi_{l\text{-min}}).$

 $S_t = 15 \text{ cm}$

Schéma de ferraillage de longrine :

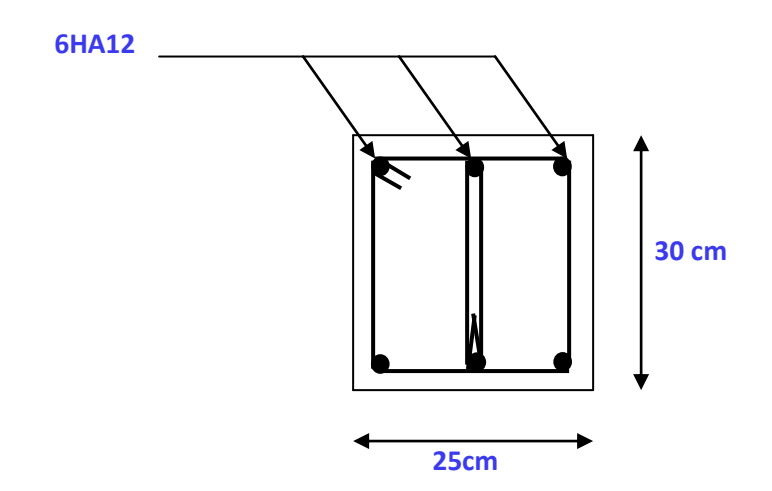


Figure VI.6: Schéma de ferraillage de longrine.

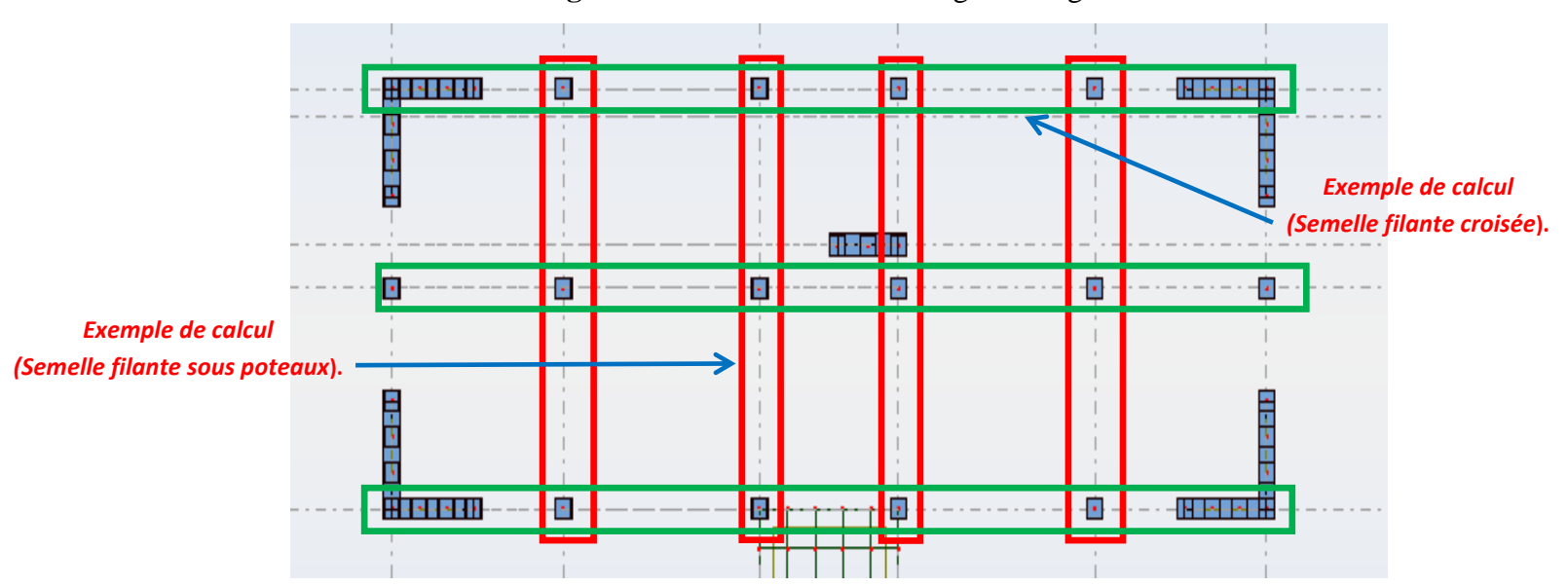


Figure VI.7: Vue en 2D de la semelle filante.

VI.5 Conclusion

L'étude de l'infrastructure constitue une étape très importante dans le calcul d'ouvrage. Lechoix de la fondation dépend de plusieurs paramètres liés aux caractéristiques du sol, ainsiquelescaractéristiques géométriques dela structure. Pour notre structure le type de fondation choisie est les semelles filantes.

Conclusion générale

Conclusion générale

Ce projet de fin d'études nous a permis de mettre en exergue les connaissances théoriques acquises pendant la durée des études pour analyser et étudier un projet de bâtiment réel. Nous avons compris combien qu'il est important de bien analyser une structure avant le calcul. L'analyse de la structure d'un ouvrage est une étape très importante qui permettre de faire une bonne conception parasismique au moindrecoût.

L'objectif primordial étant bien sûr, la protection des vies humaines lors d'un séisme majeur.

La surabondance des voiles dans une structure ne veut pas dire automatiquement, une bonne résistance, vis-à-vis des séismes, mais peut nuire à la stabilité de la structure, lorsque ces dernières sont mal placées.

Finalement cette étude, nous a permis de concrétiser l'apprentissage théorique du cycle de formation de l'ingénieur et surtout d'apprendre les différentes techniques decalcul, les concepts et les règlements régissant le domaine étudié.

Notons qu'enfin ce projet qui constitue pour nous une première expérience et nous a était très bénéfique puisque l'utilisation de l'outil informatique nous a permis d'économiser beaucoup de temps, mais la maîtrise du logiciel reste une étape très importante qui demande les connaissances de certaines notions de base des sciences de l'ingénieur.



LES REFERENCES

- [1] Règle parasismique Algérienne RPA99 version, 2003.
- [2] Règles de calcul de Béton Armé aux Etats Limite. BAEL 91 modifié 99.
- [3] Règles de conception et de calcul des structures en béton armé C.B.A 93.
- [4] Document technique règlementaire (DTR B. C.2.2).
- [5] Lechebeb M .2019. Cours 3emeannée génie civil. Résistance des Matériaux. Centre universitaire Abdelhafid Boussouf, Mila.
- [6] Abdiche Romanisas et Leguene Hadjer "Etude d'un bâtiment (R+6) à usage d'habitation avec contreventement mixte" Université Abdelhafid Boussouf, Mila 2020.
- [7] Soufan Abdelkrim Et Laib Rahma "Etude d'un bâtiment en béton armé (R+7) à usage d'habitation contreventé par un système mixte (voiles-portiques)", Université Abdelhafid Boussouf, Mila 2021. Encadreur : Dr. Abdelkader BRAHIMI.
- [8] Dr. Abdelkader BRAHIMI .2021 Cours Master Génie Civil Structure: Projet structures en béton armé.

LOGICIELS UTILISES

Robot 2014.

Autocad 2016.

Application de Calcul Excel (Flexion simple, Flexion composé, Flèche...)

Annexes

Annexe 1 : Sections en (cm2) de N armatures de diamètre ϕ en (mm)

φ:	5	6	8	10	12	14	16	20	25	32	40
1	0.20	0.28	0.50	0.79	1.13	154	2.01	3.14	4.91	8.04	12.57
2	0.39	0.57	1.01	1.57	2.26	3.08	4.02	6.28	9.82	16.08	25.13
3	0.59	0.85	1.51	2.36	3.39	4.62	6.03	9.42	14.73	24.13	37.70
4	0.79	1.13	2.01	3.14	4.52	6.16	8.04	12.57	19.64	32.17	50.27
5	0.98	1.41	2.51	3.93	5.65	7.70	10.05	15.71	24.54	40.21	62.83
6	1.18	1.70	3.02	4.71	6.79	9.24	12.06	18.85	29.45	48.25	75.40
7	1.37	1.98	3.52	5.50	7.92	10.78	14.07	21.99	34.36	56.30	87.96
8	1.57	2.26	4.02	6.28	9.05	12.32	16.08	25.13	39.27	64.34	100.53
9	1.77	2.54	4.52	7.07	10.18	13.85	18.10	28.27	44.18	72.38	113.10
10	1.96	2.83	5.03	7.85	11.31	15.39	20.11	31.42	49.09	80.42	125.66
11	2.16	3.11	5.53	8.64	12.44	16.93	22.12	34.56	54.00	88.47	138.23
12	2.36	3.39	6.03	9.42	13.57	18.47	24.13	37.70	58.91	96.51	150.8
13	2.55	3.68	6.53	10.21	14.70	20.01	26.14	40.84	63.81	104.55	163.36
14	2.75	3.96	7.04	11.00	15.83	21.55	28.15	43.98	68.72	112.59	175.93
15	2.95	4.24	7.54	11.78	16.96	23.09	30.16	47.12	73.63	120.64	188.5
16	3.14	4.52	8.04	12.57	18.10	24.63	32.17	50.27	78.54	128.68	201.06
17	3.34	4.81	8.55	13.35	19.23	26.17	34.18	53.41	83.45	136.72	213.63
18	3.53	5.09	9.05	14.14	2036	27.71	36.19	56.55	88.36	144.76	226.2
19	3.73	5.37	9.55	14.92	21.49	29.25	38.20	59.69	93.27	152.81	238.76
20	3.93	5.65	10.05	15.71	22.62	30.79	40.21	62.83	98.17	160.85	251.33

Annexe 2: Dalles rectangulaires uniformément chargées articulées sur leur contour.

$\alpha = Lx / Ly$	ELU	v = 0	ELS $v = 0.2$		
•	μx	μу	μx	μy	
0.40	0.1101	0.2500	0.0121	0.2854	
0.41	0.1088	0.2500	0.1110	0.2924	
0.42	0.1075	0.2500	0.1098	0.3000	
0.43	0.1062	0.2500	0.1087	0.3077	
0.44	0.1049	0.2500	0.1075	0.3155	
0.45	0.1036	0.2500	0.1063	0.3234	
0.46	0.1022	0.2500	0.1051	0.3319	
0.47	0.1022	0.2500	0.1031	0.3402	
0.48	0.0994	0.2500	0.1026	0.3491	
0.49	0.0980	0.2500	0.1013	0.3580	
0.50	0.0966	0.2500	0.1000	0.3671	
0.51	0.0951	0.2500	0.0987	0.3758	
0.52	0.0937	0.2500	0.0974	0.3853	
0.53	0.0922	0.2500	0.0961	0.3949	
0.54	0.0922	0.2500	0.0948	0.4050	
0.55	0.0894	0.2500	0.0936	0.4150	
0.56	0.0894		0.0930		
0.56	0.0865	0.2500 0.2582	0.0923	0.4254 0.4357	
0.58	0.0851	0.2703	0.0897	0.4456	
0.59	0.0836	0.2822	0.0884	0.4565	
0.60	0.0822	0.2948	0.0870	0.4672	
0.61	0.0808	0.3075	0.0857	0.4781	
0.62	0.0794	0.3205	0.0844	0.4892	
0.63	0.0779	0.3338	0.0831	0.5004	
0.64	0.0765	0.3472	0.0819	0.5117	
0.65	0.0751	0.3613	0.0805	0.5235	
0.66	0.0737	0.3753	0.0792	0.5351	
0.67	0.0723	0.3895	0.0780	0.5469	
0.68	0.0710	0.4034	0.0767	0.5584	
0.69	0.0697	0.4181	0.0755	0.5704	
0.70	0.0684	0.4320	0.0743	0.5817	
0.71	0.0671	0.4471	0.0731	0.5940	
0.72	0.0658	0.4624	0.0719	0.6063	
0.73	0.0646	0.4780	0.0708	0.6188	
0.74	0.0633	0.4938	0.0696	0.6315	
0.75	0.0621	0.5105	0.0684	0.6447	
0.76	0.0608	0.5274	0.0672	0.6580	
0.77	0.0596	0.5440	0.0661	0.6710	
0.78	0.0584	0.5608	0.0650	0.6841	
0.79	0.0573	0.5786	0.0639	0.6978	
0.80	0.0561	0.5959	0.0628	0.7111	
0.81	0.0550	0.6135	0.0617	0.7246	
0.82	0.0539	0.6313	0.0607	0.7381	
0.83	0.0528	0.6494	0.0956	0.7518	
0.84	0.0517	0.6678	0.0586	0.7655	
0.85	0.0506	0.6864	0.0576	0.7794	
0.86	0.0496	0.7052	0.0566	0.7932	
0.87	0.0486	0.7244	0.0556	0.8074	
0.88	0.0476	0.7438	0.0546	0.8216	
0.89	0.0466	0.7635	0.0537	0.8358	
0.90	0.0456	0.7834	0.0528	0.8502	
0.91	0.0447	0.8036	0.0518	0.8646	
0.92	0.0437	0.8251	0.0509	0.8799	
0.93	0.0428	0.8450	0.0500	0.8939	
0.94	0.0419	0.8661	0.0491	0.9087	
0.95	0.0410	0.8875	0.0483	0.9236	
0.96	0.0401	0.9092	0.0474	0.9385	
0.97	0.0392	0.9322	0.4065	0.9543	
0.98	0.0384	0.9545	0.0457	0.9694	
0.99	0.0376	0.9771	0.0449	0.9847	
1.00	0.0368	1.0000	0.0441	0.1000	

